

# 光學之研究

A. A. MICHELSON 著

國立中央大學教授

張 錦 哲

國立編譯館編譯

呂 大 元

合 譯

立編譯館

中華民國二十三年一月初版

(二〇八一六)

\*六六二四

光學之研究一冊

Studies in Optics

每冊定價大洋壹元肆角  
外埠酌加運費匯費

原著者

A. A. MICHELSON

譯述者

張鈺哲

校閱者

中央大學教授  
國立編譯館譯員  
呂大仁

出版者

國立中央大學教授  
王雲五編譯館

發行人

上海河南南路五銳哲

印刷所

上海河南南路五銳哲

發行所

上海及各埠  
商務印書館

(本書校對者楊靜盦)



## 序

予擬於是書中，將個人所作之研究，錄舉其綱要。本書體例，大致與『光波及其用途』(Light Waves and Their Uses)一書同，諸多圖畫，仍係採自前書，惟於理論方面，特加注意；間有數篇，其研究之進行，則在於前書出版之後。本書內容，數理頗夥，讀者須嫻熟微積之術，始克了解，然數學之準備不充，而對此問題，趣味濃厚者，研讀一過，得於實驗方法與結果，有所參悟，則作者之渴望也。

問題之討論，欲求一貫，標準光學論著中，常見之材料，似有重行引說之必要。依予個人觀點，作此類研究之陳述，或不致味等嚼蠟，彼科學創造者之大意微言，感余最深者，輒鄭重闡明，用達余之印象。

『繞射』章之材料，多有採自銳聰爵士(Lord Rayleigh)科學論文集者。

蓋耳(H. G. Gale)博士及克茹(Henry Crew)博士均曾助予校對。

孟開(G. S. Monk)博士旣任勘誤之勞，復多圖表之賜，至深銘感，特誌謝忱！

邁克爾遜(A. A. Michelson)

## 目 錄

第一 章	光波干涉之理論與應用 .....	1
第二 章	光波之干涉 .....	9
第三 章	干涉儀 .....	19
第四 章	光波分析 .....	32
第五 章	標準柵之光波量度 .....	44
第六 章	繞射 .....	51
第七 章	光學面之考核 .....	70
第八 章	繞射光柵 .....	82
第九 章	繞射柵之刻線 .....	95
第十 章	階形柵 .....	99
第十一 章	干涉現象在天文學上之應用 .....	107
第十二 章	光之速度 .....	115
第十三 章	媒質運動對於光行速度之影響 .....	130
第十四 章	相對論 .....	145
第十五 章	蟲鳥之金屬色彩 .....	154

# 光 學 之 研 究

## 第 一 章

### 光波干涉之理論與應用

解釋光之現象，粵有兩說，早經創議。一曰微粒說，一曰波動說。前說之假設，謂光成於微粒陣，微粒陣產自光源；粒之運行，速度均一，為量極大；直接入目，或經反射，再進眼簾，一觸網膜，遂生視覺。波動之說，主張懸殊，其說謂宇宙之間，充滿媒質，號曰以太(ether)，媒質之波，鼓盪播進，斯成光焉。波行速度既大，又恆相等，所以然者，媒質之特性也。據此兩說，光之普通現象如進行，反射，折射等，俱可獲圓滿之解答；惟涉及其他現象，波動說仍可單獨解決，毋待其他假說之輔翼，而微粒說則不能獨任斯艱。

波動之說，雖屬假設，第以習見波動之跡象，與之類比，將立覺斯說之優越。茲先就水波言之：靜塘一方，投以小石，圓波四揚，從茲波形，波源之種種情況，不難考得。例如自波面上任何二點，繪二

法線，則法線之交點，即波源之所在，波源之方向與距離，得由是而決；苟此擾動，具有周期，則周期之特性，必呈於波動之中，由此又可推知波源之頻率及其他性質。乃至波源處擾動之強弱，亦可從波身之高度，得其端倪。

空氣中之音波，所傳遞至於吾人耳鼓中者，即關於波源之週期強弱等消息也。波之貫穿地殼起因於地震者，仍復如是，吾人視官所可接收而輒能領悟者，亦無非波源之方向距離強度性質等消息而已，是以他項證明，縱付缺如，即從類似現象之研究，亦將以波動說為歸。但有一點，波動說與微粒說之推論，竟完全相反。此點為何？蓋光速是。根據前說，光波在水之行動，較在空氣為緩，根據後說，則光粒穿水之速度實較在空中為快，二者之結論何來？詳述於次：

按照微粒說，光粒行向，如圖 1 箭端所示。當與水面  $S-S$  相遇時，受水粒之吸引，直向速度  $Sa$ ，將有變更，橫向者( $oS$ )因對稱故，絕無損益。於是光粒途徑，定不循原向  $oa$  進行，而必以  $ob$  為歸。如圖上線段之長短，確與速度成比例，則由圖可知

$$\frac{\sin i}{\sin r} = \frac{os}{oa} : \frac{ob}{oa} = \frac{ob}{oa} = \frac{V_2}{V_1} = n,$$

$n$  係折射指數。因  $n$  大於一，故  $V_2$  大於  $V_1$ ，即在第二媒質內光行之

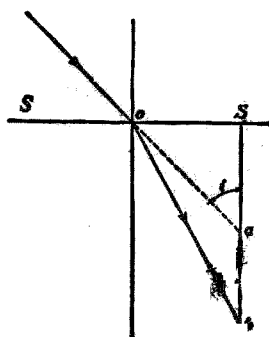


圖 1.

速度，應較在第一媒質內者為大。

利用波動說，探此問題之究竟，非可率爾而得，海芹斯（Huyghens）之重要假設，理應先行了解。海氏之言曰：設於某一定時，有波面興焉，波面各點，可視為後此擾動之源。以各點為心，以所歷時間內光波應行之距離為半徑，作小球體，則諸小球體之包面，即所歷時間後之新波面。譬有平面之波  $ab$ （圖 2），循箭向進行，遇水面於  $ac$ 。 $b$  處之光，以  $V_1$  之速度，行於空際， $a$  處之光，以  $V_2$  之速度行諸水中； $b$  行至  $c$ ，則  $a$  行至  $d$ ；依海氏之說， $d$  處波面，當係以  $a$  為心， $ad$  為半徑之球面。過

$c$  點，作此球之切面，即得  $ab$  入水後之新波面，自  $a$  點作  $d$  處之法線，即得其行動之新方向。令  $i$  為入射角， $r$  為折射角，則

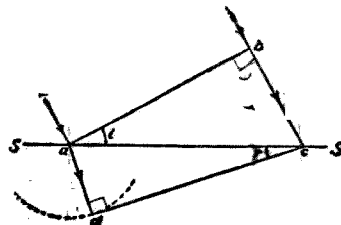


圖 2.

$$\frac{\sin i}{\sin r} = \frac{bc}{ac} \div \frac{ad}{ac} = \frac{bc}{ad} = \frac{V_1}{V_2} = n.$$

$n$  與前之命意同，因其大於一，故  $V_1$  大於  $V_2$ ，於是在第一媒質內光行之速，應較在第二媒質內者為大矣。

理論之是非，恆藉實驗以明；費佐（Fizeau）與富柯（Foucoul）之著名實驗，見諸後章者，兩說之命運系之；結果，波動說竟歌凱旋，微粒說慘遭敗北。微粒說受此致命之傷，毋須其他指責，已無立足之望，苟非近代物理學家，將其改頭換面，踵事增華，使漸有死灰

復燃之勢者，誰願多費唇舌，舊話重提哉。

溯自相對論出，一理想之困難，乃加諸光學，而紛擾觀念之捲土重來，亦坐因於是。蓋倡相對論者，不獨信媒質之存在，事非必須；且信與其基本假設，時多鑿枘。雖然，此種困難，縱可接收，而推翻有光榮結果之波動說，是否即能據此以爲牢不可破之理由，頗屬疑問。因相對論引起之困難，非屬一種事實，而係事實之推論與解釋，則困難云者，終將變爲顯著矛盾現象之如何解說耳。

光波行動，作何特狀？是與吾人所欲解釋之干涉現象，無關緊要，卽光波振動方向，亦不值重視。惟研究烏蟲羽甲金屬光澤之成因時，對於振動方向，不能不加過問，而光之電磁說之結論，信光爲橫波振動，因有極化現象者，勢必採納。利用電磁說，解釋光現象，法固至善，惟就化生奇之現象爲平凡之事實方面論之，電磁學說，誠未盡解釋之能事；若依此點而言，彈性固體說，殊屬優越。因電磁擾動，必藉一種媒質以傳播，而媒質之特性，舍用力學的觀念，爲之譬說，別無他策。

用此媒質模型，解說媒質特性，猶未獲完全成功，然常人對此，較諸徒恃空言，了無寄託者，已覺易於接收矣。模型之不易創製，非足爲怪，因苟一思及此媒質之特性如行星在軌道上之奔馳，不爲之阻；每秒行十八萬六千哩之橫振動，往來無礙，則知其構造之奇，必非吾人通常觀念中所可思議。上述之力學的比擬，雖屬粗簡，然頗近實，故人恆樂道之。相對理論，曾向媒質，興師責難，提出種種困難；今後創議之媒質，其特性與構造，當以能削此類困難爲前提，然

則相對論已爲吾人闢一尋思之徑矣，其果有如是之望乎？

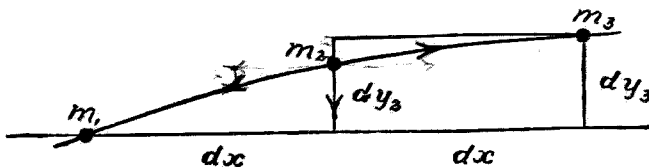


圖 3.

傳播速度與媒質特性，相依爲命；爲說明兩者關連分析式之推繹法，試就一伸展之線條着想之。設此線之質量，集中於  $m_1, m_2, m_3 \dots$  等點（圖 3），任兩點之距爲  $ds$ 。 $m_2$  所受之力❶，必係張力  $T_1$  在  $y$  向之分力，其值如下：

$$f = T_1 \frac{dy_2}{dx} - T_1 \frac{dy_3}{dx} \quad \text{或} \quad m \frac{d^2y}{dt^2} = T_1 \frac{d^2y}{dx^2} dx,$$

因  $m = \rho_1 dx$  ( $\rho_1$  = 直線的密度) 故  $\frac{d^2y}{dt^2} = \frac{T_1}{\rho_1} \frac{d^2y}{dx^2}$ 。

廣義言之，常數  $\frac{T_1}{\rho_1}$  可視爲復原力與媒質慣性之比，茲以  $a^2$  代之。將上述結果，推演於三度空間；設  $s$  相當於位變之向量，並令媒質在各方向之特性，均屬一致，則波動傳播之最普遍公式，爲狀如下：

$$\frac{d^2s}{dt^2} = a^2 \left( \frac{d^2s}{dx^2} + \frac{d^2s}{dy^2} + \frac{d^2s}{dz^2} \right).$$

式中  $s$  表位變量， $t$  表瞬間， $(x, y, z)$  示媒質間任一點之坐標；惟

❶ 所有移動，爲量極小，其平方均可棄而不計。

此媒質須具有均勻 (homogeneous) 性及無向 (isotropic) 性兩特點，而在媒質間，除彈性力作用外，應無其他擾動。具有同一振動位相之各點，所成之軌跡，專名波面 (wave front)。如該面係一垂直  $z$  軸之平面，則上式又可簡爲下形：

$$\frac{d^2s}{dt^2} = a^2 \frac{d^2s}{dz^2} \circ$$

此微分方程式之解，應爲  $s = f_1(z - at) + f_2(z + at)$ 。是乃顯而易見者，蓋將此值代入原方程式，適能吻合無間也。 $f_1$  與  $f_2$  係任意兩函數而孕有物理上存在之意義者。

於  $f_1$  中，與  $t$  以增量  $dt$ ， $z$  以增量  $dz$ ，

$$s_1 = f_1[(z + dz) - a(t + dt)] \circ$$

如兩增量成一定比如

$$\frac{dz}{dt} = a, \text{ 則 } s_1 = s \circ$$

是即謂  $f_1$  所代表之波形以恆速  $a$  沿  $z$  軸推進。同法，可以考知  $f_2$  以同速循反對方面推進。

命函數  $f$  取簡單周期式

$$s = A \sin m(z - at) \circ$$

或

$$s = A \sin(nt - mz) \circ$$

或

$$s = A \sin 2\pi \left( \frac{t}{T} - \frac{z}{\lambda} + \psi \right) \circ$$

其中  $S$  表位變量， $A$  表振幅， $T$  表周期， $\lambda$  為波長， $\psi$  為位相當數。

式所代表者，係一均勻簡諧波陣 (homogeneous simple harmonic wave-train)。

從  $dz=adt$  之條件，並因  $T$  時間內波陣所行之距離為  $\lambda$ ，故得  $\lambda=aT$ 。

如數個波陣，同時經過媒質，則結果之行動，應為諸分動之向量之和。令  $s$  表某一分動在一特向之移變， $S$  示在該方向行動之總和，於是

$$S = \sum s = \sum a \sin(nt - mx + \psi) .$$

按諸普通情狀，結果之運動，未必仍具周期性。但如各波陣不同之點，僅在振幅與位相，此時可命  $nt - mx = \theta$ ， $\theta$  在各波陣中，值量不變。

$$\left. \begin{aligned} S &= \sum a \sin(\theta + \psi) \\ \text{或 } S &= \sin \theta \sum a \cos \psi + \cos \theta \sum a \sin \psi \end{aligned} \right\} \quad (1)$$

惟因各分動之周期相等，故結果之周期，亦當與分動者相同；如令  $A$  為終結之振幅， $a$  為終結之位相常數，則

$$S = A \sin(\theta + a) \quad (2)$$

而

$$A^2 = \sum a^2 \cos^2 \psi + \sum a^2 \sin^2 \psi ,$$

$$\tan a = \frac{\sum a \sin \psi}{\sum a \cos \psi} .$$

如波陣之數為二，

$$A^2 = a_1^2 + a_2^2 + 2a_1 a_2 \cos(\psi_1 - \psi_2) ,$$

$$\tan a = \frac{a_1 \sin \psi_1 + a_2 \sin \psi_2}{a_1 \cos \psi_1 + a_2 \cos \psi_2}.$$

如  $\psi_1 - \psi_2 = 0$ ,  $A_0 = a_1 + a_2$ ;

如  $\psi_1 - \psi_2 = \pi$ ,  $A_\pi = a_1 - a_2$ ;

並如  $a_1 = a_2$ ,

則  $A_0 = 2a$ ,

$A_\pi = 0$ .

## 第二章

### 光波之干涉

當類似兩波陣，進向幾同，而互相疊合時，結果之運動，與任一原波陣相比，將依兩波相之差，而有較大或較小之別。如兩波陣，係相等之簡諧運動，並以同相相值，則結果之振幅，當倍於原波陣，強度且四倍焉。若遇時位相適反，結果之振幅或強度，勢必爲零。此種情狀下之兩波陣，名曰互相干涉 (interfere)，所生之現象，名曰干涉現象 (interference)。此字殊不當，因任一波陣，仍係獨自爲政，與他波無關，何得有相干相涉之稱，惟沿用已久，真義所在，吾人已能默悟，毋須自作聰明，易以他字，而徒滋紛擾也。干涉之佳例固夥，下者尤稱滿意。

將兩完全相同之音叉，置於共鳴器上，使之同時發音，結果之音，與鳴一叉，無多參差，所異者，強度而已。如兩叉之一，稍塗以蠟，減其振率，則兩叉不復同調；設叉鳴之始，兩者同相，音之強度必大。須臾相差漸增，音強漸微，迨夫反相，乃有一瞬息之停息。是以相差之影響，將使共成之音，發生有規律之盛滅相間之現象，通常稱之爲『拍』 (beats)。斯時音之強度，恰爲時間之周期函數。

如兩叉無毫髮差，用電連法，使其振相，始終如一。 $P$ 點(圖 4)與  $F_1$ 及  $F_2$  等距，該處之音，強度最大。 $Q$ 距  $F_2$ 較距  $F_1$ 近半波長，此

點適爲反相之處，當不聞音。 $R$  點之程差，恰爲一波長，兩波至此，復又同相，最強之音，重聞是地。由此可見沿任何線之與  $F_1$   $F_2$  平行者，音之強度，恆爲距離之周期函數。

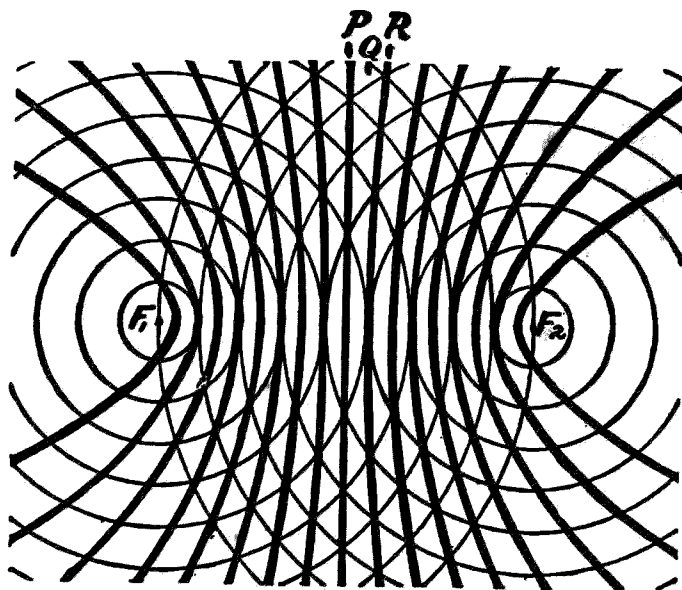


圖 4.

如光亦係波動，其強度應與振幅之平方成比例，則在適當情況下，兩光相加，得生黑暗。牛頓 (Newton) 係第一人研究此種現象者，馳名已久之「牛頓環」實驗，即其研究時所用之方法。胰皂之泡，面陳美色，產生之因，與牛頓環，同出一軌。惟此現象，入人眼簾，雖歷年所，而窮詰原由，頗乏其人，必待牛頓之智慧，始得破是堅謎，而與此現象以正確量度之方式也。

牛氏解釋「薄膜色彩」之學說，誠不復爲人所接受（牛氏堅持微

粒說，反對波動說，但依前說，釋此現象，必求援他種假設，始克奏效），然今人所謂之波長，牛頓早經測定，而光譜各色之特性，唯在波長，亦係牛氏首先指出，先哲之卓識宏猷，殊足景仰！

茲將詳述『薄膜色彩』之學說。兩光束之疊合，薄膜色彩所自生焉。光之一束，係來自薄膜（在皂泡，係水；在牛頓環實驗中，係兩玻璃面間之空氣）之第一面，他束則產自第二面。如用純粹單色光，此兩光束之干涉，即生明暗相間之光帶(band)。牛頓實驗內，光源如係紅色，將見環帶之徑，較用藍光為大，倘用白色（牛頓曾謂白光包含光譜上所有之色），則結果成一美豔之色系。現象之顯著，有如是者。

解釋此種現象，有一顯著之困難，頗堪注意；按光波說，兩面接觸之處，程差係零，光之強度應為最大；然考諸實驗，結論殊異，接觸處之光強，反為最弱。矛盾若是，果何故歟？庸詎知發生干涉之兩個光束，非直接來自光源，要皆經過反射，始入吾人眼簾；而兩者反射之情形，絕不相類，一在稀薄媒質之空氣中舉行，一則產生於玻璃之表面，經玻璃面反射之光束，位相有變，而變易之值，適為波長之半。故於量得之程差外，尚須加入此值，則所謂矛盾現象無可解說者，當然冰釋無疑矣。

干涉之現象，波動學說，似能與以完滿之解答，但決疑之考驗，仍屬無從着手，因所謂互相干涉之兩光線束，實無分離之可能。然自楊氏(Thomas Young)之實驗，宣告成功，上述困難，頓形消失。實驗之裝置，略如圖 6。S 係一小孔，透鏡聚會之日光，由孔射入，

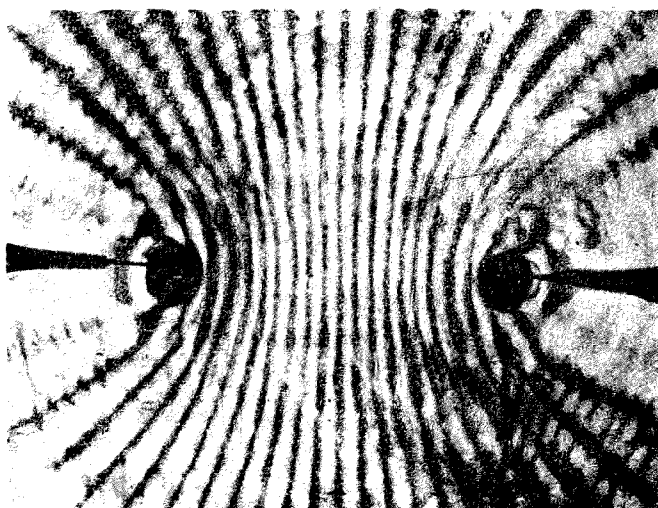


圖 5.——照像所示，爲小水波干涉之現象。水波之生，係以兩針接觸水面，而於針之上端，通以交變電流。

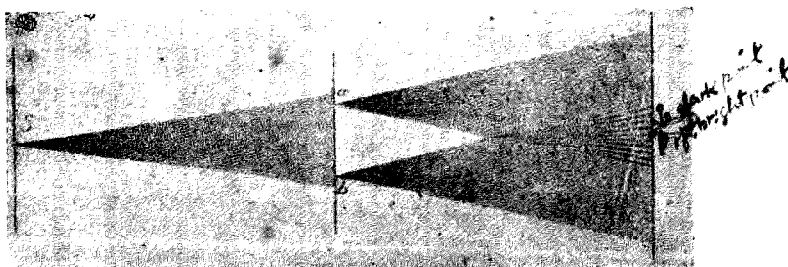


圖 6.——第二屏之左面，表明兩光波在空間之干涉。  
惟此蔭影，僅係一種圖示，並非事實上之照像。

用爲光源；光源之前，置一屏蔽，屏上穿兩小孔  $a, b$ ，距約一耗。光過小孔，射於他屏，該屏又距前屏約一耗。 $ap$  與  $bp$  光程相等， $p$  點之亮度遂爲最大； $q$  點之程差( $aq - bq$ )爲波長之半，位相適反，兩光線

束，互相抵消，光乃極黯；距  $p$  點倍於  $pq$  者，位相又同，第二次最大亮度，立即產生。如是明暗相間，斯成干涉之象。前述音波之干涉，與此酷相類似，事極顯明，而同一解釋，兩種情況，皆能適用，亦屬事實。

音光主要之差別，即在波長；波長不等，發生干涉之兩波源之距離，亦當有異。如令  $b$  為干涉帶 (interference bands) 之闊 (即兩最強光帶間之距離)， $D$  為兩屏間  $bp$  之距， $d$  為兩小孔之距， $\lambda$  為所用光之波長，則

$$b = \frac{D}{d} \lambda。$$

如用白光，干涉帶即麗以彩色，色之順序，與牛頓環，大體相似。

楊氏所得各色之波長，與牛頓所計者，完全相同。楊氏實驗中，兩干涉光線束，判而不混，故將任一光束，加以變易，其他一束，不受影響。又若任一光束，擯而不用，則干涉現象，立時泯滅。且從暗帶 (dark band) 言之，已證兩光疊合，可生黑暗，是更與波動說符合不悖，而為其他任何學說費解之點。

雖然，此兩束光線，曾經小孔，難保不生曲折或繞射，焉知所謂干涉現象者，非因光經小孔，受屏帷緣邊之影響，有以致之耶？欲混斯議，佛銳列 (Fresnel) 曾將楊氏實驗加以改造，茲為說明如下：

### 佛銳列之鏡

表示干涉現象之實驗，佛氏方法，並非上乘，自近代精美之實驗

產生後，彼已早受淘汰，惟從歷史與教育兩觀點論之，此一實驗，仍具興趣，頗值一談。

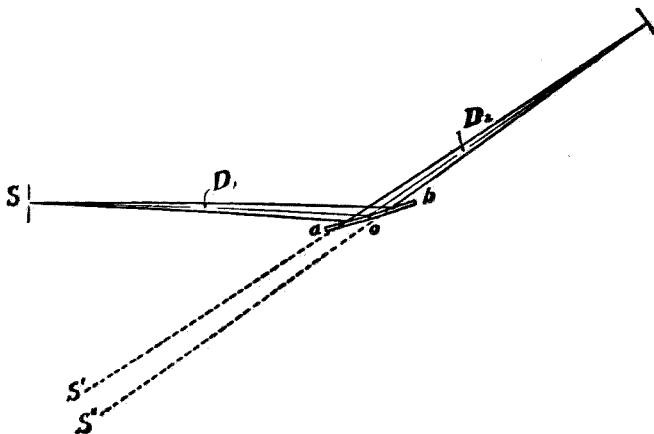


圖 7.

$oa$  與  $ob$  兩玻璃片(圖7)，互相傾斜，成角極微(僅有幾分弧度)； $S$  係一光源，既亮且狹，光經兩鏡之反射，會於一屏，干涉帶得於屏處直接窺見，或以目鏡觀之，亦無不可(在此情狀下，屏帷並非必須)。結果之現象，直與除去原有之光源與兩鏡，而代以光源之兩虛像  $S_1$  及  $S_2$ 者，完全相同。

命  $\alpha_1$  為兩鏡所成之角， $D_1$ 為兩鏡交線與光源之距離， $D_2$ 為交線與屏之距，並設  $b$  為波長  $\lambda$  之光所成干涉帶之闊，則有

$$b = \lambda \frac{D_1 + D_2}{2D_1 \alpha_1}.$$

如兩距離  $D_1$ ,  $D_2$ 相等，

$$b = \frac{\lambda}{a_1} \circ$$

此處所應注意者，兩鏡之交線，須與隣邊極近，否則，光程之差，將增以  $\frac{2h\sin\theta}{\lambda}$  之值， $h$  為兩鏡交連處之『支距』(offset)， $\theta$  為擦過角(grazing angle，極小入射角之專名)。此一數量，關係至偉，調置儀器時，僅須發生 0.1 精之誤誤，結果將有四十個光波之差。欲杜斯弊，非  $\theta$  之值甚微不為功，故作此實驗之必要條件，即擦過角務宜至小。

如光源係一狹縫(狹縫所生之亮度，恆較圓孔為強)，則兩鏡之交線，與此狹縫，應居同一平面，此點亦極重要，勿得忽視。雖然，佛氏鏡所生之反射光，因有傾斜❶，局部之光，難免繞射，楊氏實驗中，聚証之點，仍未獨除，誠屬憾事。

佛氏實驗之另一方式，係將兩面平鏡，易以雙底稜鏡(bi-prism)，其角❷稍小於  $180^\circ$ 。此稜鏡在屏上所生之現象，亦彷彿本無光源  $S$ ，而僅有兩虛像  $S_1$  及  $S_2$  者然，是以兩干涉帶間之距離，顯為

$$b = \frac{\lambda}{2(\mu-1)a_1} \cdot \frac{D_1+D_2}{D_1} ,$$

式中  $a_1$  為稜鏡之銳角， $\mu$  為折射指數。但  $\mu$  隨  $\lambda$  以變，故所得干涉現象，將因色散而趨繁複。

❶ 用高度放大，將兩鏡之交線，加以注意之調置，使反射線之斜度，可小至吾人所欲，則縱有局部繞射之光，亦無傷大體。

❷ 此角係指圖



他種干涉儀器，未行討論之前，各器共守之原則，頗值討探。

(1) 第一最要之條件，即兩干涉之光線束，應有一不變之位相關係（至少此位相關係之變遷，亦須遲緩而連續）。欲實現光之振動，與此條件，符合不悖，則兩光線束，非同出一源不可。高燒兩燭，絕無干涉現象之可觀，是因兩燭之電子振動，各皆任意，所生之光波，位相振幅與排列之方向，每秒鐘內，不知有幾千萬次之變遷，亮度之成於此種光波者，求兩者之間，有一相當之關係，勢不可能，干涉現象之不克有成，理所應然。兩光同源，為產生干涉現象之必備條件，下述者不過就觀察方面之便利着想，不可與此條同日而語。

(2) 光源如非均勻，換言之，即光源成於雜色（例如白光），內含各種不同之波長，則結果之干涉帶，將因不同之波長，具有不同之闊度與位置，非當兩干涉光束歷程相等，則永無密合之望，惟程差在一耗之千分之一左右時，雖不密合，亦近之矣。是以吾人應盡力之所及，謀此兩光束之行程，趨於等值①，苟不然者，非以分光鏡窺察之，不能得其究竟。利用分光鏡，干涉現象，旋得證實，蓋光譜『溝化』(channeling)，是其明證；『溝化』云者，光譜上顯有黑暗條帶之謂也。暗帶數目，隨程差之消長而有增減。

(3) 兩光線束進行之方向，應約相同，此為第三條件。倘有差異，干涉條紋，必細至不可分辨。因如令  $\alpha$  為兩光線束間所成之角（即兩波面間之角）， $\lambda$  為波長（指兩同相連續波面間之距離）， $b$

---

① 惟佛氏鏡之支距，如在一耗之百分一之上時，此種條件，即難作到。

爲兩干涉帶之距離，乃有

$$b = \frac{\lambda}{a} o$$

(在任何情狀下，上式俱能適用，茲以陳例證明之。如在佛氏鏡—實驗中，

$$b = \frac{D_1 + D_2}{2D_1 a_1} \lambda$$

$a_1$  為兩鏡所成之角，但

$$2a_1 = \frac{D_1 + D_2}{D_1} a$$

$$\therefore b = \frac{\lambda}{a}$$

仍得前式。)

如方向之差，爲十分弧度，茲按上式，干涉條紋之間，僅有 340 個波長，其量尚不及一耗之十分之二。

類於楊氏佛氏兩實驗內所用之儀器，尚有一條件，必須加入，即光源務宜極小（如針眼或狹縫方可）。不然，各系條紋，不復會聚一處，而干涉現象之明證，爲之蒙蔽矣。但此條件，在另種儀器內，實非必須，如雅敏(Jamin)之干涉折光儀(interferential refractometer)，是其一例。此儀之主要部分，係兩平行平面之玻璃片，兩片之厚度應無毫釐之差，而相對位置，亦須平行。*S* (圖 8) 光源射出之光，經第一片之反射與折射，成兩條光線束，一循 *oabcd* 前進，一循 *oefed* 前

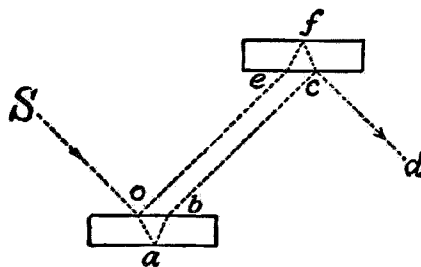


圖 8.

進。兩途程大約相等，此兩束光乃以最小角度沿  $cd$  之方向，而相會遇，用肉眼或用遠鏡，干涉條紋，均可一覽無餘。

## 第三章

### 干涉儀

前述產生干涉現象之各法，向未使干涉光束，有較寬之分離，並於巨大之程差遷變，亦未計及。抑知探討溫度壓力電場磁場及媒質自身運動等，與光之進行，有若何影響時，巨大之程差變遷，實係重要之條件。

爲謀前述末項問題❶之解決，爰有下述佈置之籌劃。光源  $S$  (圖 9)，可以廣闊之發光面爲之（蠟燭，電燈，或焦點處置有弧光燈之透鏡均可用）。 $a$  係一平行平面之玻璃片，光射於  $a$  面❷，分成兩相關之光束❸ (Coherent pencils)，一係透過  $a$ ，直射至  $c$ ，經反射，回至  $a$  點，再循  $ae$  以行者；一係在  $a$  面反射，至  $b$ ，又反射，回至  $a$ ，終沿  $ae$  以進者；故在  $ae$  方向，置一屏，干涉條紋遂顯，舍屏而以肉眼或觀測遠鏡視之，亦無不可。

干涉儀之名，初卽用以號稱此

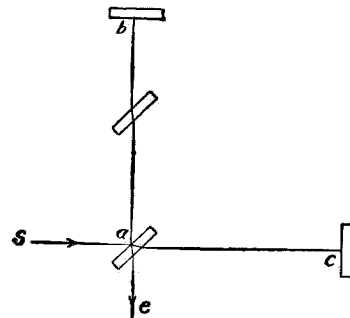


圖 9.

- ❶ 按指媒質自身運動與光行之影響。
- ❷ 此面塗以銀或銻，厚度以能使反射與透過之光強度相等爲宜。
- ❸ 所謂相關之光束者，卽兩束光之位相必完全相等，或有一固定之差。

種簡單裝置者，1880年予作實驗時，即用此儀之略加修改者，後與莫列（Morley）教授合作實驗，復沿用之，詳細情形，俟論媒質運動與光速之影響時，再加敘述。茲僅論本儀器之數種改造，曾為各項研究之實驗上所利用者；並將本儀器與其他光學儀器類似之點，予以說明。

光學上量度之儀器，通常所用者，不外透鏡（或鏡面）與稜鏡（或光柵）兩種；干涉儀時亦加入工作，而以第三種工具目之。但因任何光現象，咸以干涉之廣義的概念為依據，故干涉儀與前二者並無重大區分，茲將其類似之點表明於圖 10。試觀圖 10 A，光源之像（光源係一狹縫  $a$ ，或為一細線，用鑽石在平滑玻璃或金屬面上，刻畫而成），成於  $d$  處（此為射在透鏡  $bc$  上所有光線會合之結果），利用

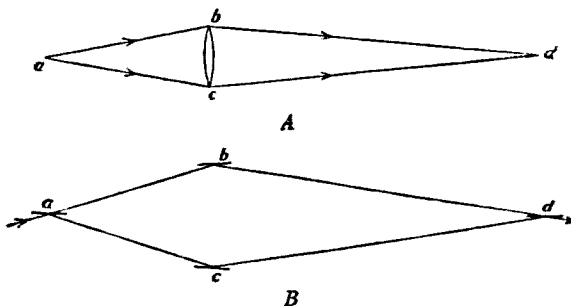


圖 10.

望遠鏡或顯微鏡上之目鏡，可窺得之。圖 10 B 中，光源處代以  $a$  面；透過與反射之兩光線束在  $b$  及  $c$  處，受稜鏡（或鏡面）之曲折，共會於  $d$  面，復行前進，即入眼簾或觀測之遠鏡。圖 11 表示類似之

意義，與前圖相同，惟將透鏡易以鏡面耳。

是以透鏡（或鏡面）與干涉儀重要之區分，即前者將光源射來所有之光線，聚合造像，映諸焦平面上，而後者僅具兩束互相干涉之光線而已。至在應用，此種區分，亦不重要。並知欲作精確之量度，干涉儀實具顯著之功效。上舉之說明圖中，顯微鏡，望遠鏡，及干涉儀之類似形，俱可特為量距與測角之用。

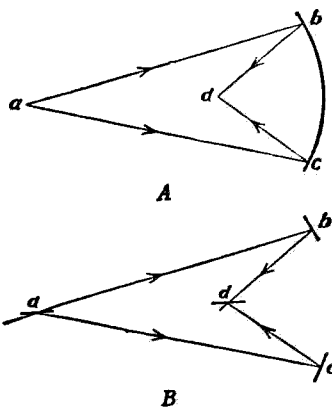


圖 11.

棱鏡及光柵，驟視之，為用之目的，與包含之原理，與干涉儀，似有不同；混然一光，析為若干成分，乃前兩者之職責，但細加考察，類似情形，仍然存在，茲以圖 12A 與 12B 表明之。圖 12A 中， $a$  表狹縫之光源， $bc$  表光柵，光線經柵，受其繞射，復返至  $a$ （平行平面之  $p$  片，將一部分之光，拋射一邊，以便觀測或攝形），是與圖 12B 及 12C 所示之干涉儀，顯具同樣光程，唯僅指干涉儀之

兩條有限制之光線束而言耳。

在此種裝置中，如有一鏡（如  $C$ ），可以活動；射入之光，又係單色，波長為  $\lambda$ ；而光度最大（或最小）之條紋數相當於程差  $d$  者，值為  $n$ ，則波長  $\lambda = d/n$ 。後章將說明利用此法量得之值，較用稜鏡或光柵，更為正確。

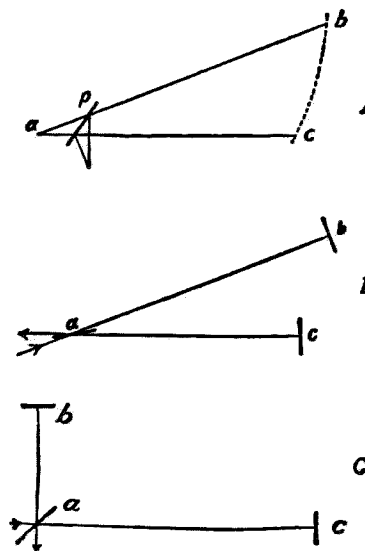


圖 12.

12C, 13C, 14B, 15C 與 16B 諸圖，為干涉儀之各種主要式樣。在特種用途中，各式之類似圖形，亦均附入。

干涉儀之形式認為最通用者，當推圖 13C, 17, 18 兩圖示其詳情，圖 19 則為該儀之照相。平行平面之  $A$  片（圖 17），面塗薄銀，光源射出之光，行經  $A$  後，分道揚鑣，一部反射至塗銀之平面鏡  $C$ ，

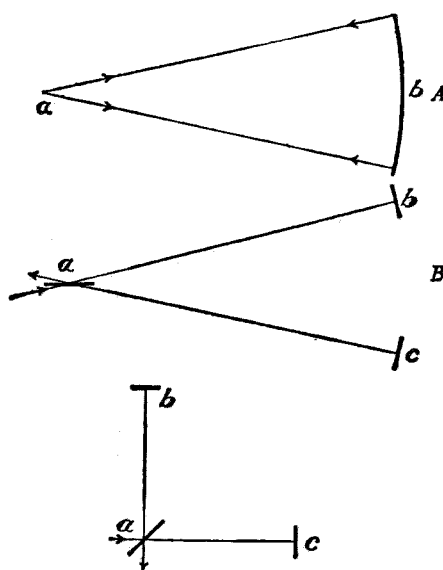


圖 13.

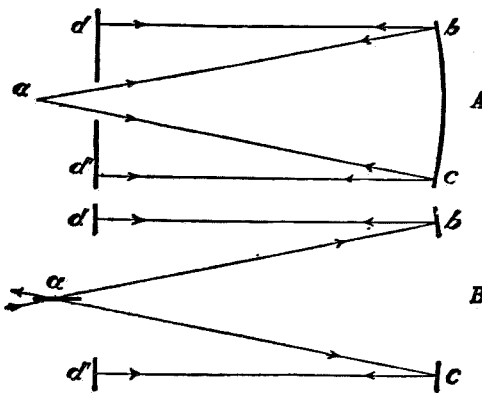


圖 14.

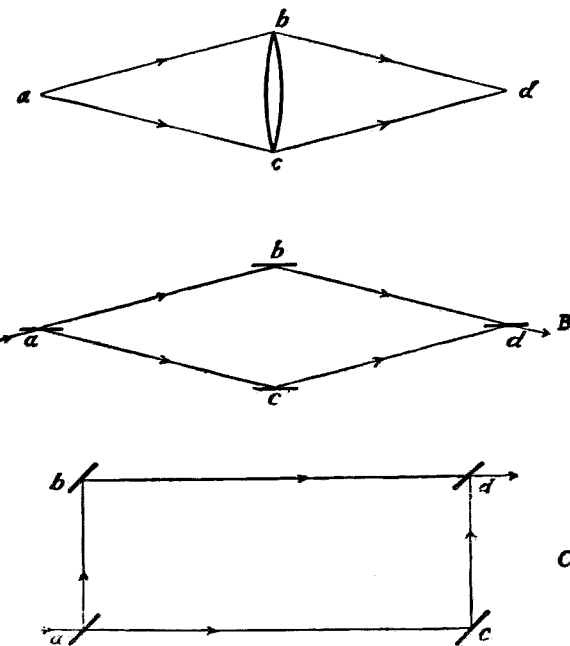


圖 15。

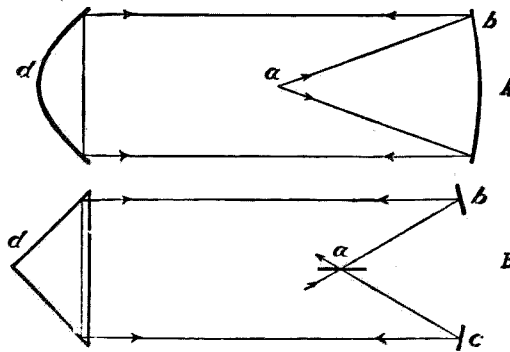


圖 16。

經  $C$  反射，回馳至  $A$ ，穿之而入觀測遠鏡；他部透  $A$  至  $D$  鏡，回射至  $A$ ，復經反射，亦入觀測遠鏡，鏡中兩光相遇，遂生干涉之象。如用白光，光程之差，務須極小，干涉之帶，始獲現示。但有一束光，已經

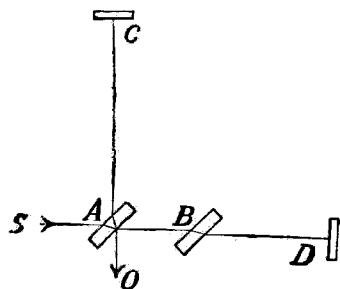


圖 17.

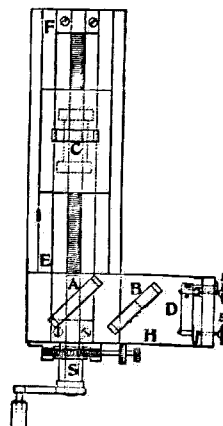


圖 18.

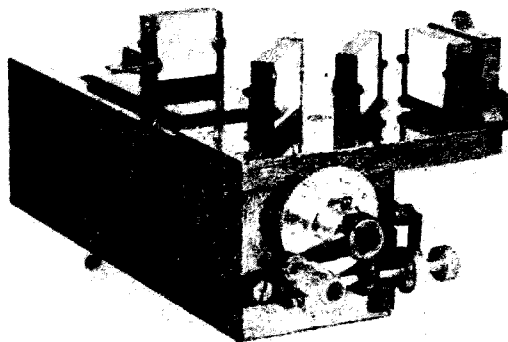


圖 19.

*A* 片兩次，故於他一束光之進程中，應置一 *B* 片，以補救之。*B* 之厚度，恰與 *A* 同，安放之角度，亦須與 *A* 無別。

各光學器械，均以重座承之。運轉動鏡 (*C*) 之機，行動必須穩確。此種行動，係由螺旋傳達，螺旋設有齒輪，附有刻度圓盤，故行動之徐疾，可以精確量得。定鏡 *D* 亦附有螺旋，鏡繞縱橫兩軸之動作，賴以調節。補償片 *B*，下有鋼質直桿荷之，桿之扭轉，得令光程發生任何小量之變遷。所有光學平面，務宜坦平，其差度不得超過光波長度二十分之一。

干涉儀調置之方法，與應行注意之點如下：*C, D* 兩鏡與半塗銀之 *A* 片之距離，須近相等（縱有差誤，亦須在一耗之內）；*A* 片前面所用之光，應屬均勻（鈉燭或古伯黑味蒂 Cooper-Hewitt 之汞光弧）。調變 *D* 鏡之螺旋，使一針尖之兩像，可合為一，則干涉條紋，即能產生①。所得條紋，常甚狹曲，而不清楚，緩緩調變 *D* 鏡，條紋闊度，可趨一適當之值，且轉動螺旋 *S*，以減程差，條紋亦可較為明顯。當程差近零時，眼之位置縱變，條紋之傾斜度，絕不因之改易，此點作到時，白光內應有之條紋（有色），當然現出，如仍不現，稍轉螺旋齒輪，使螺旋 *S* 有相當之行動，條紋自必產生。

### 干涉儀之理論

圖 20 之裝置，係干涉儀最簡形之略圖。對 *E* 處觀察者言，諸鏡面連合所生之現象，一若僅有 *A, B'* 兩平面之存在，而其他各件均無

① 觀測時眼之前方應置一極小徑口，則條紋之清明度可以驟增。

與焉。所謂  $B'$  者，即  $B$  在  $M$  鏡面內所生之像。令圖 21  $M_1M_2$  兩平面作此干涉儀之代表，試思光自  $S'$  來後，經反射至  $P$  之影響。命  $t$  為入射點處兩鏡面距離， $\omega$  為入射角，對於兩鏡，角值可謂相等；假設兩鏡間之角  $\phi$ ，值量極微（僅約一秒弧度之譜），於是兩干涉光線束之程差，應為

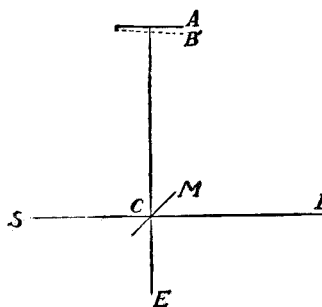


圖 20。

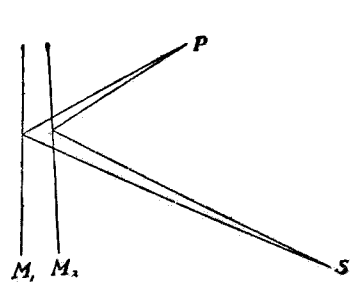


圖 21。

$$\Delta = 2t \cos \omega^\circ$$

如兩鏡之交線係直立，命入射線之水平投影與法線之交角為  $i$ ，入射線在含法線之縱面上投影與法線之交角為  $\theta$ ，並設  $P$  為觀測干涉條紋處與鏡面之距離， $t_0$  為兩鏡在垂線脚處之距離，則

$$t = t_0 + P \tan i \tan \phi^\circ$$

因  $\phi$  與  $\omega$  值量均小，故

$$\Delta = 2(t_0 + Pi\phi) \cos \omega^\circ$$

如觀測處之徑口，廣漠無限，則相當位相差  $2\pi \frac{\Delta}{\lambda}$  之數值，界域必大，致令干涉現象，消失無存。反之，光線之錐，倘有限制（如為眼之瞳孔或觀測鏡前之光闌所限），則界內含數甚渺，干涉現象，遂

得顯著。

茲將求  $P$  為何值時，該處之條紋，最為清朗。當  $\omega$  有一定量變易時， $\Delta$  之改動，值量最小，則清朗之條紋，必可產生。

使  $\frac{d\Delta}{d\omega} = 0$ ，並因  $\omega, i, \phi$  等值均微，

$$P = \frac{it_0}{\phi}.$$

是以當光束不加限制時，干涉像型 (interference pattern) 之各部，不克同時在焦點；除非屬下兩情狀：(1)  $t_0 = 0$  當  $P = 0$  (條紋即在  $M_1 M_2$  鏡面之上)；或(2)  $\phi = 0$  當  $P = \infty$  (條紋在無窮遠)。

若令  $\omega = 0$  時位相之差為  $\Delta_0$ ，並設  $\Delta_0 - \Delta = n\lambda$ ，則

$$2t_0(1 - \cos \omega) - 2Pi\phi \cos \omega = n\lambda.$$

如  $\omega$  甚小，

$$t_0 \omega^2 - 2Pi\phi = n\lambda,$$

命  $\rho^2 = \frac{n\lambda}{t_0}$ ，並命  $h = \frac{P\phi}{t_0}$ ，

$$i^2 + \theta^2 = \rho^2 + 2hi. \quad (1)$$

此式表示一圓，其角度半徑為

$$\sqrt{\frac{n\lambda}{t_0} + \frac{P^2\phi^2}{t_0^2}}$$

而其中心應有角度  $h \left( = \frac{P\phi}{t_0} \right)$  之移轉。

如  $t_0$  甚小，(1)式簡為

$$n\lambda = -2\phi P i = 2\phi X$$

不計符號，則

$$X = \frac{n\lambda}{2\phi}.$$

此種直形條紋，皆與兩鏡之交線平行。兩條紋間之距離，顯為

$$b = \frac{\lambda}{2\phi}.$$

### 條紋之明顯度

明顯度之定義設為

$$V = \frac{I_1 - I_2}{I_1 + I_2},$$

式中  $I_1$  與  $I_2$  分表強度之最大與最小值。

$$I = \int_{i_1}^{i_2} \cos^2 \frac{1}{2} k \Delta di. \quad (k = 2\pi/\lambda)$$

[因  $\theta$  產生之位相差，係第二級(second order)，值小可以不計]。

$\omega$  值恆微小，則  $\cos \omega \approx 1$ ，故  $\Delta \approx 2(t_0 + Pi\phi)$ ，而

$$I = \frac{1}{2} (i_2 - i_1) + \frac{1}{2} \int_{i_1}^{i_2} \cos 2k(t_0 + Pi\phi) di$$

$$I = \frac{1}{2} (i_2 - i_1) + \frac{\sin k P \phi (i_2 - i_1) \cos k \Delta}{2 k P \phi}$$

$$I_1 = \frac{1}{2} (i_2 - i_1) + \frac{\sin k P \phi (i_2 - i_1)}{2 k P \phi}$$

$$I_2 = \frac{1}{2} (i_2 - i_1) - \frac{\sin k P \phi (i_2 - i_1)}{2 k P \phi}$$

$$I_1 - I_2 = \frac{\sin k P \phi (i_2 - i_1)}{k P \phi}, \quad I_1 + I_2 = i_2 - i_1$$

$$\therefore V = \frac{I_1 - I_2}{I_1 + I_2} = \frac{\sin k P \phi (i_2 - i_1)}{k P \phi (i_2 - i_1)} \quad (k = 2\pi/\lambda),$$

由此式可知在  $t_0 = 0$  時（則  $P = 0$ ）， $V = 1$ ，是即表明如徑口確有節制，則明顯度並不與徑口之大小結有關聯。如  $\phi = 0$ ，情形亦同。角徑口之可能的數值，得由下之粗淺考索，獲其梗概。

如中央光線與邊緣光線之位相差為  $\lambda$ ，則情形之不一致，深值考慮。若  $t$  量甚小， $\beta$  為物鏡之角徑口，則

$$\Delta = 2t(1 - \cos \beta/2) = \lambda,$$

而

$$\beta^2 = \frac{\lambda}{t},$$

當  $t = 25\lambda$  時， $\beta = 1/5$ ，是知透鏡之角徑口必須小於  $1/5$ 。

又如  $\phi$  值甚小， $A$  為物鏡之直徑，則因  $\lambda = 2\phi A$ ，故  $A$  必須小於  $\lambda/2\phi$ 。

### 矩形干涉儀之干涉條紋

此儀係由兩平行平面片與兩平面鏡所構成。四物分置矩形之四角，互相平行，並皆與矩形光程之邊成  $45^\circ$  之角，實驗所用之光源，應甚廣闊，且須單色（用古伯黑味蒂燈），所成條紋，可以遠鏡窺之。此種裝置，與一空氣片相當，片之厚度為  $t$ ，片上有光射入，其入

●  $P=0, V=\frac{0}{0}$ ，但  $\lim_{P \rightarrow 0} V=1$

射角爲  $45^\circ$ 。

令  $\phi$  為空氣片表面之傾斜度； $\psi$  為表面交線與水平線間之角度；當  $i=0, \theta=0$  空氣片之厚度爲  $t$ ； $(45+i)$  與  $\theta$  分表入射角之橫縱投影； $P$  係當  $t=0$  該表面與條紋發現地之距離； $(x_1y_1)$  係焦平面上之座標（與該表面平行者）。於是，如令  $p=\sqrt{2}P\phi \sin \psi - t$ ； $q=P\phi \cos \psi$ ； $r=x_1 \sin \psi + y_1 \cos \psi$ ； $\Delta$ =程差；則干涉條紋之位置，可以以下式表之：

$$pi + q\theta = \sqrt{2}\Delta - r。 \quad (\text{第二級之微量已刪})$$

等色線均爲直線，並皆有  $(\tan^{-1} p/q)$  度之傾斜。如命射入遠鏡光錐之橫的角徑口爲  $\alpha$ ，直者爲  $\beta$ ，則條紋明顯度可表以下式：

$$V = \frac{\sin \omega}{\omega} \cdot \frac{\sin \chi}{\chi} ; \quad \omega = \frac{2\pi}{\lambda} pa, \quad \chi = \frac{2\pi}{\lambda} q\beta.$$

僅當  $pa$  與  $q\beta$  兩值均小，明顯度始臻佳境。欲該兩值甚微，在徑口不變時，非

$$P\phi \cos \psi = 0, \text{ 與 } \sqrt{2}P\phi \sin \psi = t$$

不可。故  $\psi=90^\circ$  與  $P=\frac{t}{\sqrt{2}\phi}$  為條紋清明之唯一條件。如  $\psi$  不爲  $90^\circ$ ，

只須徑口甚狹，條紋仍屬可睹。斯時傾斜度亦與前同，即  $\tan r=p/q$ ，而闊度  $\beta$  可自下式得之，

$$4\frac{\lambda^2}{\beta^2} = (\sqrt{2}P\phi \sin \psi - t)^2 + (P\phi \cos \psi)^2.$$

## 第四章

### 光波分析

前論各式干涉儀，可就其用途加以分類。如圖13之C，兩光束歷程，約略相等，其中一鏡，僅須有十萬分之一吋之行動，條紋即受其影響，而有一條之遷移。故此裝置，可代替顯微鏡，作微動之量度。同理，狀如圖14B之干涉儀，亦可充望遠鏡之用，而量微角。在論「光學量度之準確」一章中，將說明干涉儀量度之精確，遠出望遠鏡與顯微鏡之上者，約有二十倍至五十倍之巨。

就分光方面而言，類似情形，雖不顯著，但類似程度，未嘗稍遜。所用光源，設屬均勻，令干涉儀之一鏡，移經一相當距離，當鏡行動時，計數條紋遷移之數目，鏡所移過距離之兩倍，除以條紋遷移之數目，乃得波長。嗣後余將說明，利用此法，求得之波長，較用分光法所獲之結果，尤為精確。

如光源非屬均勻者，則條紋之清明度或明顯度，必因兩干涉光束程差之增加，漸次低減，其嬗變情形，恆隨光源之性質，而有差異。例如：光源來自鈉汽，條紋之清明，初因程差增加，漸漸消失，俟程差積有 $\lambda_1$ 之n個波長與 $\lambda_2$ 之 $(n + \frac{1}{2})$ 個波長後，亮度漸行恢復，迨程差增至兩倍前長時，亮度最大，與程差為零時，約略相等。明顯度消長情況，示如圖22①，圖名明顯度之曲線。

---

① 圖22與自圖24至圖29中，虛曲線為理論公式之圖形，實者為觀測之結果。

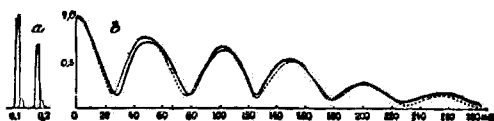


圖 22.

反之，若觀測所得之明顯度曲線，狀與上同，則可斷定光源必係偶性 (doublet)。光源上光能之分配，為波長之函數者，與其相當之明顯度曲線，關係密切；此中勾結，可以一分析式代表之，分析式求得之方法如下：

同波長  $\lambda$  之兩干涉光束合產之強度，應為

$$i = a_1^2 + a_2^2 + 2a_1 a_2 \cos 2\pi \frac{D}{\lambda} ,$$

式中  $a_1$  與  $a_2$  表兩波陣之振幅， $D$  為程差。如兩振幅相等，

$$i = 2a^2 \left( 1 + \cos 2\pi \frac{D}{\lambda} \right) .$$

如光非單色，全強度將為

$$I = \int i d\lambda$$

或使  $1/\lambda = n + x$  ①，

$$\text{則 } I = \int \phi(x) [1 + \cos 2\pi D(n+x)] dx .$$

命

$$\theta = 2\pi Dn$$

① 通常所用之光，幾近單色，故  $x$  之值極小。

$$P = \int \phi(x) dx$$

$$C = \int \phi(x) \cos 2\pi Dx dx$$

$$S = \int \phi(x) \sin 2\pi Dx dx$$

$$\therefore I = P + C \cos \theta - S \sin \theta$$

為謀干涉像型之明顯度  $V$ , 與光源強度 (為頻率之函數)  $\phi(x)$  之間, 具有數量之關連, 表  $V$  之式, 應付以定形, 茲令①

$$V = \frac{I_1 - I_2}{I_1 + I_2} ,$$

式中  $I_1$  指亮紋中部之強度,  $I_2$  指隣近暗紋中部之強度。欲求  $I_1$  與  $I_2$ , 先令  $\frac{dI}{d\theta} = 0$ , 乃得  $\tan \theta = -S/C$  ②, 代入  $I$  式, 即有

$$I = P \pm \sqrt{S^2 + C^2} ,$$

而

$$V^2 = \frac{C^2 + S^2}{P^2} .$$

與  $\phi(x)$  以數種特值, 試分求其相當之明顯度曲線。

**第一種**—— $x$  自  $-\frac{1}{2} a$  變至  $\frac{1}{2} a$ ,  $\phi(x)$  = 常數。此係一種偶對稱

函數, 積分  $S$  當然為零, 故

① 如令  $V = \frac{dI/d\theta}{I_1 + I_2}$ ,  $dI/d\theta$  係指強度曲線中最險峻部分而言, 則可得同一結果。

② 因  $x$  值恆為極小, 故  $S$  與  $C$  可視為常數。

$$V = \frac{C}{P} = \frac{\sin \pi Da}{\pi Da}$$

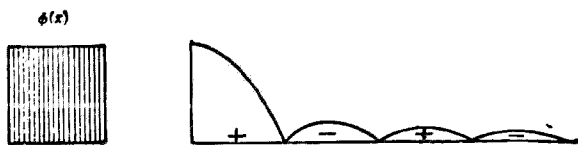
 $V$ 

圖 23.

$V$  之圖形見圖 23，在等距離  $D_0 = 1/a, 2/a, \dots$  各處，均無條紋存在，式內  $a$  值，由下式決定，

$$a = \partial x = \frac{\partial \lambda}{\lambda^2} \circ$$

$V$  在相連之兩迴線中，記號不同，是即表明兩者明暗條紋之次第，適互相反。

第二種—— $\phi(x) = e^{\frac{-x^2}{a^2}}$ 。此時  $S$  仍為零。

$$V = \frac{\int_{-\infty}^{+\infty} e^{-x^2/a^2} \cos 2\pi Dx dx}{\int_{-\infty}^{+\infty} e^{-x^2/a^2} dx}$$

於是

$$V = e^{-(\pi Da)^2}$$

形如圖 24，圖 24 之  $b$  與  $\phi(x)$  同狀，惟其闊度，適與  $\phi(x)$  者，成反

比例❶。

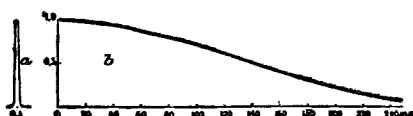


圖 24.

**第三種 複光源——如光譜內含有多個同形對稱之線組，強度與  $P_n$  成正比，明顯度曲線為  $V$ ，則明顯度  $\bar{V}$ ，可從下式得之。**

$$(\Sigma P)^2 \bar{V}^2 = V^2 (\Sigma^2 P_n \cos kx_n + \Sigma^2 P_n \sin kx_n)$$

$$(k = 2\pi D)$$

若係偶源：

$$(\Sigma P)^2 \bar{V}^2 = V^2 (P_1^2 + P_2^2 + 2P_1 P_2 \cos 2\pi Da) \circ$$

$$\text{令 } \frac{P_1}{P_2} = r \text{ 及 } L = \frac{1}{a} \circ$$

$$\bar{V}^2 = V^2 \frac{P_1^2 + P_2^2 + 2P_1 P_2 \cos 2\pi Da}{P_1^2 + P_2^2 + 2P_1 P_2} = V^2 \frac{1+r^2+2r \cos 2\pi D/L}{1+r^2+2r}$$

$$\left[ L(\text{周期}) = \frac{1}{x_1 - x_2} = \frac{\lambda^2}{\partial \lambda} \right]$$

---

❶ 為便利起見，『半闊度』之定義作下解：凡自變數之值，代入函數後，函數值減毛原有值之半時，該自變數之值，名曰『半闊度』。令  $x_{\frac{1}{2}}$  為光譜線之『半闊度』，則距離  $D_{\frac{1}{2}}$

將為  $\frac{\log 2}{\pi x_{\frac{1}{2}}}$  或即  $D_{\frac{1}{2}} = \frac{0.22}{x_{\frac{1}{2}}}$  。

圖22代表此種明顯度曲線之形狀，其光源係含有兩種不同波長之  
鈉。

### 逆問題

光譜上光強分佈之推繹，殊非易事，譜線如不對稱，尤感棘手。  
如其分佈為  $I = \phi(x)$ ，依符恢(Fourier)定理

$$\begin{aligned}\phi(x) &= \frac{1}{\pi} \int_0^{\infty} \cos kx dk \int_{-\infty}^{\infty} \phi(u) \cos ku du \\ &\quad + \frac{1}{\pi} \int_0^{\infty} \sin kx dk \int_{-\infty}^{\infty} \phi(u) \sin ku du,\end{aligned}$$

或

$$\phi(x) = \int [C \cos kx dk + S \sin kx dk],$$

因  $C = PV \cos \theta$  又  $S = PV \sin \theta$

$$\therefore \phi(x) = \int V \cos(kx + \theta) dk. \quad (k = 2\pi D)$$

$$V = f_1(k)$$

$$\theta = f_2(k)$$

如  $\phi$  為對稱，則  $\theta = 0$ ， $\phi(x) = \int V \cos kx dk$ 。在此種情況下，如  $V$  得以  $k$  之分析函數表之，用積分法①，可求  $\phi(x)$  之值。

若非對稱，明顯度曲線  $V$  與  $\theta$  均須知悉，始可得  $\phi(x)$ ； $\theta$  可稱為『位相曲線』，如與一波長幾等而性質近於均勻對稱之光源，互相

① 此種積分通常可用調和解析器求之(參閱原著者之 *Light Waves and Their Uses* 一書之68頁)。

比較， $\theta$  之值或不難求得。

茲以下兩情形說明之。

$$\left. \begin{array}{l} \phi(x) = 1 \text{ 當 } x=0 \\ \phi(x) = r \text{ 當 } x=a \end{array} \right\} \quad P_1 V_1 = \sqrt{1 + 2r \cos ka + r^2} \quad (1)$$

$$\left. \begin{array}{l} \phi(x) = 1 \text{ 當 } x=0 \\ \phi(x) = r/2 \text{ 當 } x=\pm a \end{array} \right\} \quad PV = 1 + r \cos ka \quad (2)$$

當  $r = -4$  時  $P_1 V_1$  與  $PV$  幾不可辨。但在第一種情形

$$\tan \theta = \frac{r \sin ka}{1 + r \cos ka} ,$$

而在第二，

$$\tan \theta = 0 ,$$

最大差分，約有  $0.12\pi$ 。此則相當於條紋位置，生一移變，移變之值約為兩紋間距離之  $\pm .12$  倍。

明顯度正確之考核，有時實非必須。例如作偶線之研究，其兩成分距離，可用下式

$$\frac{\partial \lambda}{\lambda} = \frac{\lambda}{P}$$

求得， $P$  係兩連續極小之距離。

而兩成分之比，又可自

$$r = -\frac{V_1 - V_2}{V_1 + V_2}$$

算出。 $V_1$  係兩極大之均數， $V_2$  為在兩極大間之極小值。斯時對於  $V_1$  與  $V_2$ ，應有精確之了解。

按通常情況，條紋之用爲校核根據者，常感必須；條紋之明顯度，定義如下：

$$V = \frac{I_1 - I_2}{I_1 + I_2}$$

$V$  之值量，須可精確決定者，爲能達是目的計，在兩交叉位置之尼柯爾稜鏡(Crossed Nicols)間，應置一凹形石英晶體，使生干涉圓紋；圓紋強度爲

$$I = 1 - \sin^2 2\alpha \sin^2 \pi \theta$$

故

$$V = \frac{1 - \cos^2 2\alpha}{1 + \cos^2 2\alpha},$$

$\alpha$  係石英晶體所應轉之角度，俾圓紋之明顯度，與干涉儀上所現者，完全相同（吾人肉眼，應有相當訓練，使棄去校核條紋時，仍可略知明顯度之概值）。

下舉數例，乃實際上所獲之結果。

(1) 氢 ( $\lambda = 6563$ )——明顯度曲線，可表以下式

$$V = 2 - \frac{D^2}{\Delta^2} \sqrt{\frac{1 + r^2 + r \cos 2\pi D/P}{1 + r^2 + 2r}}$$

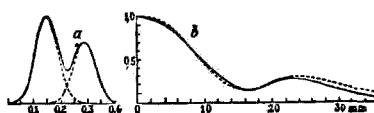


圖 25.

譜線顯係偶線(圖 25)，成分之『半闊度』(half width)爲  $\theta_1 = \frac{22}{\Delta} \lambda^2$ ，

成分間之距離為  $\partial_2 = \frac{\lambda^2}{P}$ ，其比為  $r$ 。當氳在一汞耗壓力下，經感應圈之放電而於真空管內發光時，下記諸值，可以直接受求得。

$$\partial_1 = 0.14 \text{ 益斯通 (A. U.)}$$

$$\partial_2 = 0.05 \text{ 益斯通 (A. U.)}$$

$$r = 0.70$$

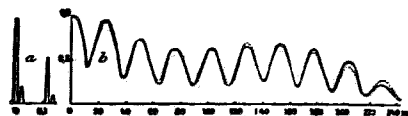


圖 26.

(2) 鈇(thallium) ( $\lambda = 5350$ )——譜線偶成，相距十分之一益斯通，比為 0.50，明顯度曲線如圖 26。由圖可知，每一成分，又係雙線合成，其距僅約 0.01 益斯通(是可為一種倒轉之表示，未必能作偶線之確證)。

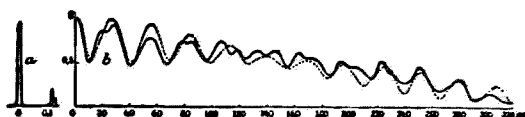


圖 27.

(3) 禾——圖 27 代表  $\lambda = 5790$  之明顯度曲線， $\lambda = 5770$  與  $\lambda = 5461$  者，分示如圖 28 及圖 29。各明顯度曲線之左旁，附有小圖，表明光譜上各光源之相當光能的分佈。此種結果，繼經稽核，已有改易(因於位相曲線，不甚明瞭)，惟所示各線之強度與成分之距離，仍極正確。

(參閱蓋耳 Gale 與李蒙 Lemon 論文，見 *Astrophysics*, 31, 78, 1910)

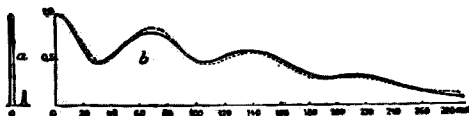


圖 28.

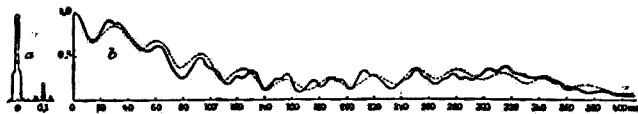


圖 29.

下舉數例，係說明溫度氣壓與譜線闊度之影響。

在低氣壓或常氣壓時，譜線變闊之主因，不外兩種。一受振動電子在視線方向運動之影響；一受碰撞而限制自由行程之影響。如密度稀薄，後者可以不計（如在氬之實驗中，壓力減至一耗或二耗時，後之影響，即可不計）。

已故之銳聰博士，曾推得下式，用表明顯之度。

$$\text{明顯度}(V) = e^{-\pi \left( \frac{\pi D v}{\lambda c} \right)^2}$$

式中  $D$  為程差， $\lambda$  為平均波長， $v$  為平均平方速度之平方根， $c$  為光速，如以  $\Delta$  表示在明顯度為半值時程差之值，則

$$\Delta/\lambda \doteq 0.15 \frac{c}{v}$$

取  $v = 2000$  赫/秒，(如氳)  $\lambda = 22500 \text{ \AA}$ 。

表 1

物 名	原子重	$\lambda$	$\Delta$	$N = \lambda / \lambda$	$N$ (計算值)
H <sub>r</sub> .....	1	6563	19.0	30,000	22,500
H <sub>b</sub> .....	1	4861	8.5	18,000	22,500
O .....	16	6160	34.0	55,000	80,000
Na <sub>r</sub> .....	23	6161	66.0	107,000	108,000
Na <sub>y</sub> .....	23	5893	80.0	133,000	108,000
Na <sub>gy</sub> .....	23	5676	62.0	109,000	108,000
Na' <sub>g</sub> .....	23	5153	44.0	85,000	108,000
Na'' <sub>g</sub> .....	23	4979	55.0	110,000	108,000
Zn <sub>r</sub> .....	65.7	6362	66.0	104,000	182,000
Zn <sub>b</sub> .....	65.7	4810	47.0	98,000	182,000
Cd <sub>r</sub> .....	112.4	6438	138.0	215,000	238,000
Cd <sub>g</sub> .....	112.4	5085	120.0	236,000	238,000
Cd <sub>b</sub> .....	112.4	4800	64.0	134,000	238,000
Hg' <sub>y</sub> .....	200.6	5790	230.0	400,000	317,000
Hg'' <sub>y</sub> .....	200.6	5770	154.0	270,000	317,000
Hg <sub>g</sub> .....	200.6	5461	230.0	420,000	317,000
Hg <sub>b</sub> .....	200.6	4358	100.0	230,000	317,000
Tl .....	204	5350	220.0	400,000	322,000

復次，考核各物時，如溫度之差（此點頗多疑問，實難確定。）置之不理，則速度  $v$  必與原子重之平方根成反比；故程差之相當於  $V = \frac{1}{2}$  者，內含波數，應為  $22500\sqrt{m}$ 。此一問題，困難既多，活

動性又大，計算與觀察之結果，得如表 1 所示之符合不悖，詢屬難得。

變易壓力自 0 無至 100 無，考以同法，推得下式（各種物體之密度與蒸發度，懸殊雖甚，但應用此式，均可得精確之結果）。

$$\vartheta = c \sqrt{\frac{\theta}{m}} (a + bp)$$

式中  $\vartheta$  為譜線之闊度， $\theta$  為絕對溫度， $m$  為原子重， $p$  為壓力， $a$ ， $b$ ， $c$ ，均係常數。

用明顯度曲線為根據，作光譜線之分析，事屬間接，法非精當，但變象之生，倘屬隱微，分光之儀，難窺全豹者，則上法雖陋，猶稱獨步，故光譜細微構造之分解，溫度壓力之影響，與夫磁場之效應，莫不依仰該法，以求解決，惟當是法試行之初，所用儀器，析力頗弱，應付諸艱，殊感棘手耳。

嗣因種種關係，光波分析法，已不見用，他項新法，（內有數種，後章述之）取而代之。惟上述問題之探討，舊法雖不適宜，但舊法之用途，仍屬廣大，且終不失為一種精良之方法，而堪資採用者也。

## 第五章

### 標準光波量度

若光源幾近均勻，當干涉儀鏡面移變時，計數干涉條紋遷徙之數目，光波波長，即可量得，此種方法，已見前章，至其量度之可能的準確，則視所用光源之均勻程度而定。波長之值，得表以干涉條紋仍屬清明時之程差，前章亦述及之，所得程差之長，約有 500000 光波之譜。是種計量，精確之度，可望到達數百萬分之一。

光源之輻射，應係『簡純』(simple)，至少亦須能分成簡單譜線，此乃首要之條件，不容忽視者；然歷考光源，性多龐雜，能符斯旨者，實屬罕見，數百種輻射中，僅鎢汽之紅輻射，差強人意，勉能應選，其明顯度曲線，表以下式，尙屬精當，

$$V = e^{-D^2/\Delta^2},$$

式內  $D$  表程差， $\Delta$  表明顯度為  $1/e$  時之程差。線形如圖 24。常數  $\Delta$  之值，隨鎢汽之溫度與壓力而變。如兩者值量均小，則  $\Delta$  值最大。從圖知  $\Delta=160$  精，並知當  $D=220$  精時，干涉條紋，仍未朦朧，尙可量度。但此距離，已含有 350000 光波或 700000 條紋之多矣。量度上光學的錯誤，多依條紋之明顯度為轉移；條紋闊度十分之一，常能加以考核，而鮮訛誤，是即表明計量之精密度，可達千萬分之一。

數十萬條紋，一一記數之，不僅煩笨，結果且難盡信。自動記數法，頗多建議，各種嘗試，亦曾進行；第因一二條紋，遺漏未記，勢所難免，而此微量，影響全局，至深且鉅；於是比較間接而手續繁難但結果精確之方法，遂出而代之。

將所擬量度之距離（100 精），分為若干小部，每部含有條紋，數量極少。就 100 精而言，先作 50 精之標準長，次作 25 精者，依是類推，直俟  $100 \div 2^8 = 0.390625$  精者作就，則造成此標準長之兩平行平面相隔之距離內，僅含有 600 紅光波，或 1200 條紋。此區區之數，欲謀計算精確，易如反掌。是種標準長（見圖 30a 與 30b），係由兩平行平面玻璃片 A，A 作成（圖 30b）。A，A 前面塗銀，後與 abc 三銅針相觸（圖 30a），三針加以銼磨，直至兩面之平行，達到所須要之程度而後已①。裝置如圖 31 之干涉儀，可以用以考核此種平行之是否正

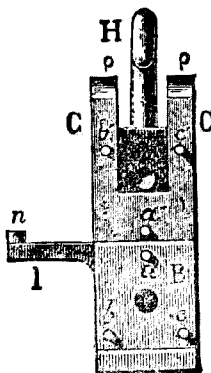


圖 30.a

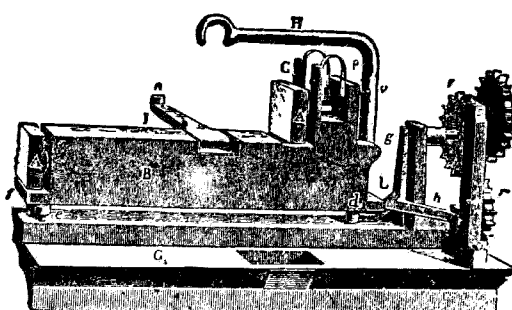


圖 30.b

① 完全平行之條件，可以做到，但有十分之一微米(micron)之誤，並無妨礙。

確，如  $m, m'$  為此標準長之前鏡與後鏡， $d$  姑名為「參較平面」(reference plane)；用單色光，調變  $d$ ，使生圓形干涉紋。若  $m$  與  $m'$  上圓紋直徑，不因觀測者之眼在垂直視線方向之移動，而有變易，則兩平面可稱平行。

在最小標準長度(以  $I$  記之)內，記數條紋之方法，述之於次：命此標準長為  $mm'$  (圖31)， $n$  為一輔助鏡，調變之，使在紅鑑光中，發生圓紋。令前平面  $m$  與參較平面  $d$  之影像密合，並與之成一小水平角，於是在白光中，立顯干涉直帶，中部之帶，係無色差，甚易辨識。移動參較平面，同時計數在  $n$  上之圓紋。俟  $d$  像與後平面  $m'$  相合，此種移動，即行停止，是時在白光內，直形條紋，現於  $m'$ ；調變中部無色差之條紋，使其所居位置，與前在  $m$  上者，完全相同。

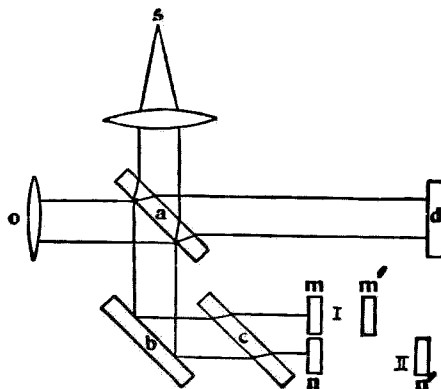


圖 31.

當  $d$  移動時，所計圖紋之數，應係整數。若有多餘分數，必須加以精密之決定。法先調變  $d$ ，命在鑑光內，圓紋現於  $m$  與  $m'$ 。如  $m$  與

$m'$ 面上圓紋，同一位相，多餘分數，應即為零；若不為零，令平行平面之補償玻璃片  $c$ ，轉一極小而可量度之角，俾兩面圓紋，位相無差，根據已知之校準，此多餘分數之相當相差，得以決定。在紅綠藍<sup>①</sup>三種鐳輻射內，計數之結果如下：

表 2.

紅 1212.37

綠 1534.79

藍 1626.18

$I$  內所含之波數與多餘分數，既經確定，第二步工作，即將  $I$  與  $II$  作一比較，法如下：

標準長  $mm'$  與  $nn'$  並列，兩前平面，應在一平面內，調變兩標準長之位置，使互平行，則稍具傾斜之  $d$ ，經適當調變後，得顯直紋於兩者之上，中部條紋，在每面上，咸居相等地位（譬如中央）。移動  $d$ ，使與  $m'$  合， $m'$  面上即有直紋之產生。變  $I$ ，俟  $m$  面復現條紋時遂止（結果， $m'$  與  $n'$  幾在一平面上）。再動  $d$ ，俾  $m'$  與  $n'$  面上之條紋，同時現示。其條數差，當不及一，可以分數計之。如此分數為  $\epsilon$ ，則  $II = 2I + \epsilon$ 。在本例， $2 \times 1212.37 = 2424.74$ 。所得分數並不正確，須用鐳光，作同前之觀測，以校正之。其正確之值，為 0.93。用同法作  $II$  與  $III$ ， $III$  與  $IV$  等之比較，直達標準長度  $IX$ <sup>②</sup> 為止。兩標準長度

① 綠藍兩輻射，不如紅者之簡純，但可用為結果之考較。

② 第一分數與其校正值之差，常不越一條紋之十分之一，但有時差誤，大至 0.2，其倍值，幾等於  $\frac{1}{2}$ ，是可斷定所量得之整數之倍數，已係正確之值，分數之添補，實屬多事，同時作綠藍兩輻射之計量，於較正上，幫助極大，如整數非係正確，則自數種結果比較之下，立見各值之不一致。

比較時，各個溫度若何，毋須測計，目爲相同，並無影響。但在計量準標長度  $IX$  時，則不能如是粗率，即一度之百分之一，亦須以溫度計精確計量之，而溫度計本身之差誤若干，亦應探索，俾資校正。

表 3.

次 數	紅	綠	藍
I.....	310678.48	393307.92	416735.86
II.....	310678.65	393308.10	416736.07
III.....	310678.68	393308.09	416736.02

表3所示之結果，係用三種獨立方法，計核兩倍標準  $IX$  長度內所含之光波數目。三次量度，時地人均不相同，而所得結果，頗能吻合，其差不過波長數百分之幾，法之精良，於茲可見。

標準  $IX$  與標準糸之比較，係最後手續。法先製一輔助糸( $X$ )，上有兩金剛石刻痕，兩痕距離，極近一糸。 $IX$  上附一指臂，垂直於  $IX$  之本體；臂有記痕，與  $X$  上者極類似，令該記痕，同糸上之任一痕相合，愈密愈妙。然後利用干涉儀條紋，分十個相等步驟，將  $IX$  向前推動，結果之差誤，應以十乘（代替在比較小標準時之乘數2）。疊次分別決定之訛誤，累積之，已有半光波之譜（所有量度之均差，當較小於是）；他如考核糸桿兩端是否與  $IX$  疊合時之測微器量度之差，及輔助糸與標準糸①相較之訛誤，均應加入。

①此係標準糸之仿製者，真正之標準糸，非可手觸，每十年，始得一觀。

最終結果，示如表 4。

表 4.

在標準尺①內，三種主要鈉輻射光波之數目如下：

紅	1553163.5
綠	1966249.7
藍	2083372.1

上得結果，業經考核，準確之度，殆為二百萬分之一②。

利用鈉之黃色光波，作基本之標準長度，昔年已有建議。法需量度兩鈉輻射之一之繞射角度，此種角度，係由光柵所生者。光柵內之間隔  $\sigma$ ，可由光柵尾線與標準尺之比較，得其值量。關係式為

$$\lambda = (\sigma/m) \sin \theta$$

$\theta$  係繞射角， $m$  係光譜級數， $\lambda$  為波長。

此種量度，欲求充分準確，頗多困難，困難之肇肇大者，條述如下：第一，鈉線較寬而多變。第二，測角較量距為難，而前者之結果亦不能如後者之可靠。第三，上公式所依賴之假定，為  $\sigma$  等於常數，但此非恆能確證無誤。第四，光柵尾線間之距離與標準尺之比較，不克十分精確（雖多方求其精確，顧結果之差，已知約為十萬分之三）。

① 尺在空氣中，該時溫度為  $15^\circ C$ ，氣壓為  $760\text{ mm}$ 。

②（三種輻射之相關準確度更大，差誤僅約二千萬分之一）范勃銳(Fabry)與配羅(Pérot)利用彼等著名之『距離片』(distance piece)作同一之研究，所得結果，與上之答數，完全相等。

遠在此種建議產生以前，絕對長度標準，頗感需要；兩種計劃，曾經提出，冀克慰此渴望。其一，以在巴黎擺動一次，取時一秒之擺長為標準。製一開透(Kater)氏之擺，擺上具兩刀口，中含重質；調變重質及刀口之位置，使支點在任何一刀口，擺動之時距同為一秒，則相當單擺之長，與兩刀口間之距離，完全相等者，即為吾人所求之長。但後經發現，此種量度訛誤，較吾人所企望者，為量固大矣。

第二種企圖，係以地球圓周四千萬分之一之長為標準糺。此本係標準糺法定長度。第就數種子午線上弧度計量之結果而言（兩點間緯度已知，則由量得之弧度，可求圓周），此種量度，太失精確，難資應用，故今日真正法定標準長度，實以鉑鈮合金棒上（此種合金，具有極大硬度與持久性），任意兩刻線間之距離為準據者。

雖然，縱使用盡匠心，保此任意之標準，安全無恙，但歷時遠久，尚謂百萬分之一之差誤，亦未嘗有，孰能信之！惟如情形適合，鎢氣輻射光波之長，確係常數，並可隨時重行實驗，而所有差誤，亦恆在二百萬分之一之下也①。

---

① 若確用光波（鎢氣之光波或他種輻射之光波而更為均勻者），為法定標準長度，則準確度仍可增進，即至千萬分之一亦未為不能。

但如目的在以光波量度今日已有之標準，其長度乃由粗獷而無規則之兩線間距離所定者，則精確度，雖臻此最高之境，且亦無此種企圖之價值。

此處尙須繫述者，即現所應用之「粉」標準，已由標準度量局(Bureau of Standard)確定其應含之光波數目矣。

# 第六章

## 繞 射

不透明之屏帷，上穿小孔；一束光貫斯孔而前行時，其進向，不僅限於小孔邊緣投影之內，且侵入幾何影蔭之域，此種現象，名曰『繞射』(diffraction)。斯乃干涉現象之特種情況，其要點可藉海芹斯學說與干涉理論而解釋之。是以光程中任何點波面之效應，即諸基本小波(wavelets)效應之總和，而此小波中心，係連續分佈於波面之上者。此效應通常必藉積分求之。但此積分，恆不克解，僅能用漸近法(process of approximation)，尋其概值耳。

實用上最重要之問題，如尋求透鏡或鏡面焦點處繞射之像形，則反覺簡單。未論像形之前，應推繹一式，用表基本小波之效應。就最簡方式，求該公式，法如下述①：假設在焦點處振幅之效應，與單位波面  $ds$  之面積成正比，距離  $\rho$  成反比，而與傾斜無關。並令原始波面處之擾動為

$$V = \cos kat$$

式內  $k = 2\pi/\lambda$ ，則在一定點(距  $ds$  為  $\rho$ )之擾動，將為

$$dW = \frac{ds}{\rho} \cos k(at - \rho),$$

全波面之總效應為

---

① 見銳士 *Scientific Papers, Vol. III.*

$$\int \int \frac{ds}{\rho} \cos k(at - \rho),$$

此積分包括小孔之全部。

爲對此結果，加以考核計，先設想一無限擴張之平面波，令  
 $ds = 2\pi r dr = 2\pi \rho d\rho$ ，於是

$$W = 2\pi \int_{\rho=f}^{\rho=\infty} \cos k(at - \rho) d\rho,$$

或即以

$$W = \lambda \sin k(at - f)$$

代替

$$W = \cos k(at - f).$$

欲得正確結果，基本小波所播之擾動應書爲

$$dW = \frac{-ds}{\lambda \rho} \sin k(at - \rho) \quad (1)$$

如以  $x, y, z$  為  $ds$  之座標， $\xi, \eta, \zeta$  為繞射像型上點之座標，則於焦平面上，將二級微量舍去後，或在以  $f$  為球徑之焦球面上，將四級微量棄去後，遂有

$$\rho = f - \frac{x\xi + y\eta}{f} \quad (2)$$

以  $\frac{dx dy}{f}$  代  $ds/\rho$ ，令  $k\xi/f = u$ ,  $k\eta/f = v$ ，並以波到焦點爲計時之

始，乃有

$$dW = \frac{-1}{\lambda f} \sin(kat + ux + vy) dx dy,$$

如  $ka = n$

$$W = \frac{1}{\lambda f} \int \int \cos(ux + vy) \cdot \sin nt dx dy \\ + \frac{1}{\lambda f} \int \int \sin(ux + vy) \cdot \cos nt dx dy \quad (3)$$

惟入射波之全波面上，振幅與位相，應屬常數，上述公式，始能適用。設令振幅為  $\Phi$ ，位相為  $\psi$ ，而兩者咸係  $x, y$  之函數，則起始振動，得以下式表之，

$$V = \Phi \cos(nt + \psi)。$$

焦點處之相當振動顯為

$$W = -\frac{1}{\lambda f} \int \int \Phi \sin(nt + ux + vy + \psi) dx dy. \quad (4)$$

茲令

$$\left. \begin{aligned} C &= \frac{1}{\lambda f} \int \int \Phi \cos(ux + vy + \psi) dy dx \\ S &= \frac{1}{\lambda f} \int \int \Phi \sin(ux + vy + \psi) dx dy \end{aligned} \right\} \quad (5)$$

則在焦平面上之振動應為①

$$W = S \cos nt - C \sin nt, \quad (6)$$

而繞射像型之強度係

$$I = C^2 + S^2.$$

為說明計，命  $x = \pm a$  時， $V = \cos nt$ ； $x$  為他值時， $V$  為零，

$$D_z(V) = 2 \cos nt \cos ua$$

① 如製一球面鏡，與焦球面適合，則在原來波面處，得波源之像。此像亦可認為係焦球面處擾動之結果。故如以  $D(V)$  表  $W$  自  $V$  產生之演算，則  $W = D(V)$ ，但就此影像而論， $V$  又等於  $D(W)$  於是  $V = D[D(V)]$ ，此與傅氏(Fouries)之公式完全相當，惟此處係指兩度空間而言(參閱 *Philosophical Magazine*, April, 1905)。

$$\begin{aligned} D_u D_x(V) &= \int 2 \cos nt \cos ua \cos ux du \\ &= \left[ \frac{\sin(a+x)u}{a+x} + \frac{\sin(a-x)u}{a-x} \right] \cos nt. \end{aligned}$$

如積分之限爲自  $-\infty$  至  $\infty$ ，括弧內之值，除  $x=\pm a$  外，餘均爲零，當  $x=\pm a$  時，

$$DD(V) = \cos nt = V.$$

茲擬求一繞射屏帷，其所生之繞射像，與一定形同。令屏帷處之振動，居士  $a$  兩值間爲

$$W = \sin nt,$$

在其他各值均爲零，則屏帷處振動之形狀，應爲

$$V = \int_{-a}^{+a} [\cos ux dx] \cos nt \cdot dx,$$

因  $V_0 = 1$

$$\therefore V = \frac{\sin ua}{ua} \cos nt.$$

由式得知，振幅之值，有正有負；此種情況，並非僅賴屏帷之不透明性，所克實現。

如圖32所示，不透明屏蔽前，置一如圖 32B 所表之玻璃片，用作引起相差之具。片內連續矩形，咸蝕以氫氟酸，俾引生半光波之位相差。

圖 33 A 係表發生繞射像之屏帷，繞射像之形，繪如圖 32 A 其真容如圖 33 B。32A 與 32B 組合後所生之現象，相當於圖 33 C 之

照相；用此組合，爲繞射屏帷，則得圖33D之繞射像。

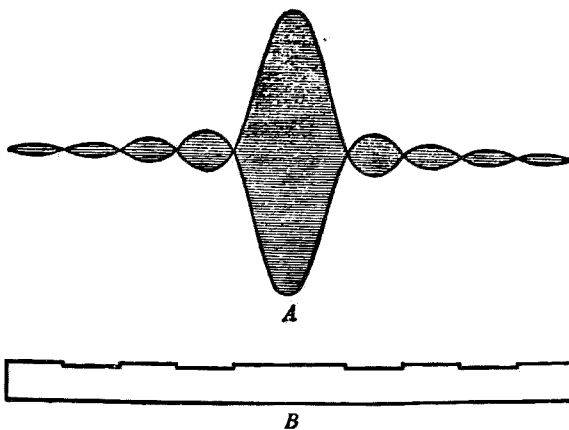


圖 32.

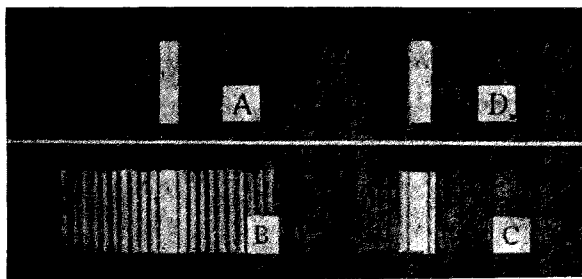


圖 33.——A 為產生繞射像 B 之矩形孔。圖 32A 與圖 32B 循縱向運動時得 C。將圖 32A 與 32B 之組合，用爲繞射屏帷，在焦點處得 D，是與本圖 A 同。

繞射形像與繞射屏帷之關係式，與以明顯度表示非均勻光源之光譜上光能分配之公式，同一形狀。

苟光柵之返光，其振幅以  $x$  為函數，函數之形式又與明顯度曲線之以  $D$  表示者相類，則此光柵在均勻光內所產之光譜，與非均勻光源

所生之真正光譜，初無二狀。

故如明顯度爲  $\frac{\sin ka}{ka}$ ，則真正光譜之強度  $I_1$  在  $\pm a$  之間爲常數，在其他值量時爲零。如光柵所生之光振幅  $\phi(x)$  亦爲  $\frac{\sin ka}{ka}$ （如圖32所示，用一適當之位相板片 phase plate，此層可以做到），則  $I$  在  $\pm \theta$  之間亦爲常數，而於他值亦爲零。完全類似，殊感缺乏，蓋真實光譜上各元素 (element) 間，實無位相之關連也。

設  $\Phi$  及  $\psi$  為常數 ( $\Phi=1$ ,  $\psi=0$ )，

$$\lambda f C = \int \int \cos(ux+vy) dx dy$$

並

$$\lambda f S = \int \int \sin(ux+vy) dx dy.$$

倘徑口係偶對稱 (even symmetrical)，

$$\left. \begin{aligned} \lambda f C &= \int \int \cos ux \cos vy dx dy \\ \lambda f S &= 0 \end{aligned} \right\} \quad (7)$$

### 矩形徑口

令  $x_1=a$ ,  $y_1=b$ , 得

$$I = \frac{C^2}{\lambda^2 f^2} = \left[ \frac{ab}{\lambda f} \times \frac{\sin \frac{1}{2} au}{\frac{1}{2} au} \times \frac{\sin \frac{1}{2} bv}{\frac{1}{2} bv} \right]^2.$$

恢復  $u$  與  $v$  之原值，並以弧代正弦 (因係小角)，命  $a_0 = {}^\lambda/a$ ,  $\beta_0 = {}^\lambda/b$ ,

$$I = \left( \frac{ab}{\lambda f} \times \frac{\sin \pi \frac{a}{a_0}}{\pi \frac{a}{a_0}} \times \frac{\sin \pi \frac{\beta}{\beta_0}}{\pi \frac{\beta}{\beta_0}} \right)^2 \quad (8)$$

當  $a=ma_0=m\lambda/a$  與  $\beta=n\beta_0=n\lambda/b$  時，強度  $I$  為零。 $\pi\frac{a}{a_0}$   
 $=\tan \pi\frac{a}{a_0}$  及  $\pi\frac{\beta}{\beta_0}=\tan \pi\frac{\beta}{\beta_0}$  時， $I$  值最大，故有

$$a_1=1.43\lambda/a, I_1=1$$

$$a_2=2.46\lambda/a, I_2=\left(\frac{2}{3\pi}\right)^2$$

等等      等等

$m$  值甚大時，

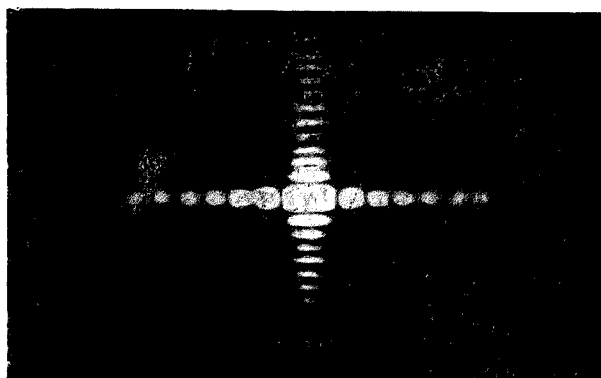


圖 34.—矩形徑口所生繞射像型之照相

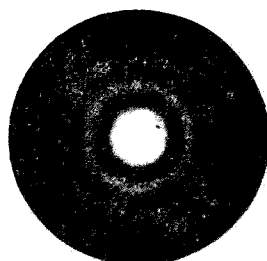


圖 38.—圓形徑口所生繞射像型之照相

$$a_m = (m + \frac{1}{2})\pi\lambda/a \quad I_m = \left[ \frac{2}{(2m+1)\pi} \right]^2.$$

不用  $a_m$ ，而令  $\beta_n$  為相當各值時，結果亦同。

### 分率解

一單獨光點，射出波面，與透鏡相值，乃成繞射像型。像型中心，即點形光源之幾何的影像。苟點形光源，係如天上雙星，為數有二，而兩者繞射像型之分距角，與  $a_0 = \lambda/a$  相較，仍不失為巨值，則光源之為偶而非獨，甚易探悉。銳聰爵士曾贈此值以專名，曰『分解之極限』❶ (limit of resolution)。

欲求顯微鏡之分解極限，法先令對物鏡之角度徑口，在物體處為  $2a$ ，在影像處為  $2\beta$ 。再令  $op$  (圖 35) 為可分解之兩點或兩線間距離，

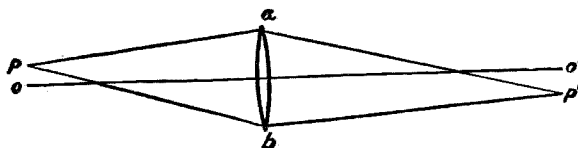


圖 35.

依銳聰規律，影像

$$o'p' = \frac{\lambda}{2 \sin \beta}.$$

但

$$\frac{p'o'}{po} = \frac{\sin \alpha}{\sin \beta}$$

❶ 如常用之望遠鏡，徑口係圓形，則此極限，值為  $1.22 \lambda/a$ 。

故

$$op = \epsilon = \frac{\lambda}{2 \sin \alpha}$$

此係對物鏡之置於空氣中者，如為油漬對物鏡，而油之折射指數為

$\mu$ ，則

$$\epsilon = \frac{\lambda}{2 \mu \sin \alpha}$$

### 圓形徑口

因此情形，完全對稱，故取任何半徑，平行於  $u$ ，俱無關係。茲令  $v=0$ ，在極限  $\pm \sqrt{R^2 - x^2}$  內積  $y$ ，

$$C = 2 R^2 \int_{-1}^1 \sqrt{1-w^2} \cos nw dw,$$

式中  $n = \frac{2\pi Ra}{\lambda} = \pi \frac{a}{a_0}$ 。  $I = \frac{C^2}{\lambda^2 f^2}$  積分  $C$  之值，可自哀銳(Airy)表察得。 $I$  之最大及最小值，示如表 5。

表 5

	$I$	$a/a_0$		$a/a$	$I$
第一最大值	1.000	0	第一最小值	1.22	0
第二最大值	0.01745	1.73			
第三最大值	0.004	2.67	第二最小值	2.23	0

圖36為  $I$  之圖形，圖38為繞射像型之攝形。圖37為用長方形徑口所得之  $I$ 。第一次最小(圖36)，在  $1.22 \%$  處發現，故圓徑口分解極限較同闊之矩形徑口者為大。

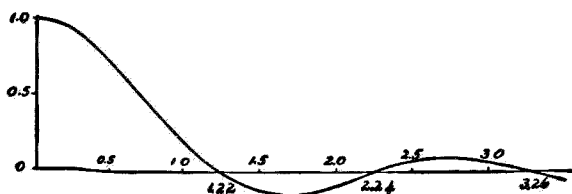


圖 36.

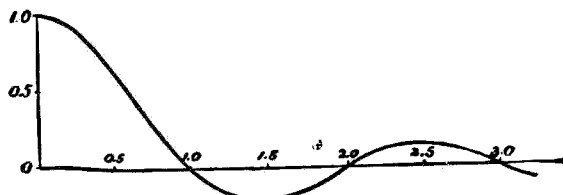


圖 37.

### 兩同矩形徑口

利用舊有結果，兩矩形徑口積分之勞，可以獨免。蓋兩徑口，形狀酷似，其相當點集合之強度顯爲

$$I = 4A^2 \cos^2 \frac{\pi}{\lambda} d \cdot \sin \alpha$$

式內  $d$  表兩徑口中點距離。與  $A$  以(8)式所示之值，可得總強度。

當相同而等距之徑口，數目爲任何值  $n$  時， $C = \sum \cos ux$ ， $S = \sum \sin ux$ ，式內  $x = n\sigma + B$ ， $\sigma$  乃徑口間公共之距離。變爲指數式，取乘積  $(c+is)(c-is)$ ，乘以  $A^2$ ，則單徑口所生繞射像型之強度爲

$$J = A^2 \frac{\sin^2 nw}{\sin^2 w}$$

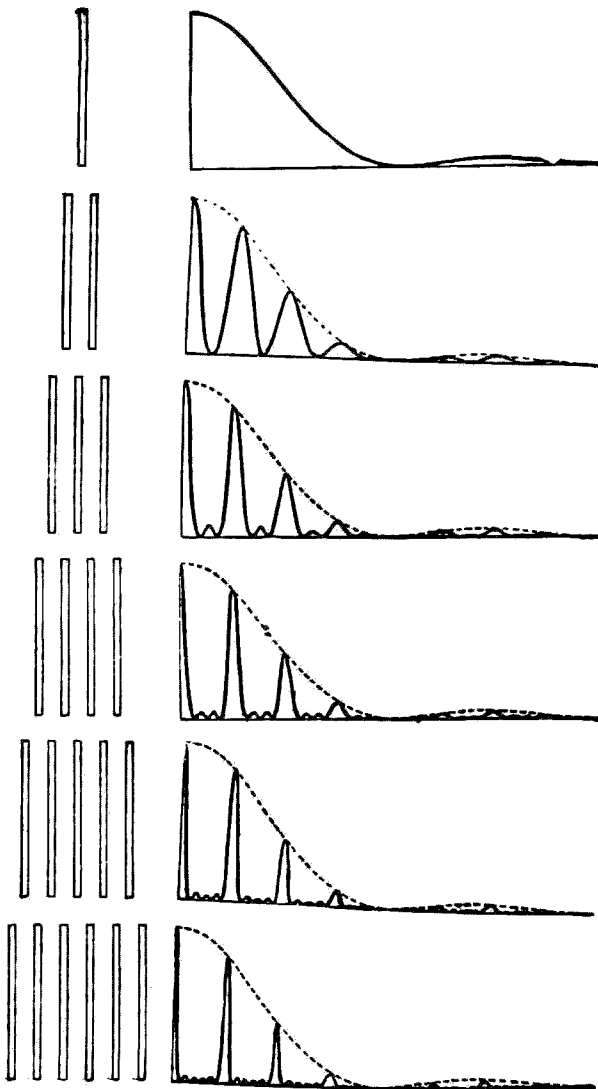


图 39.

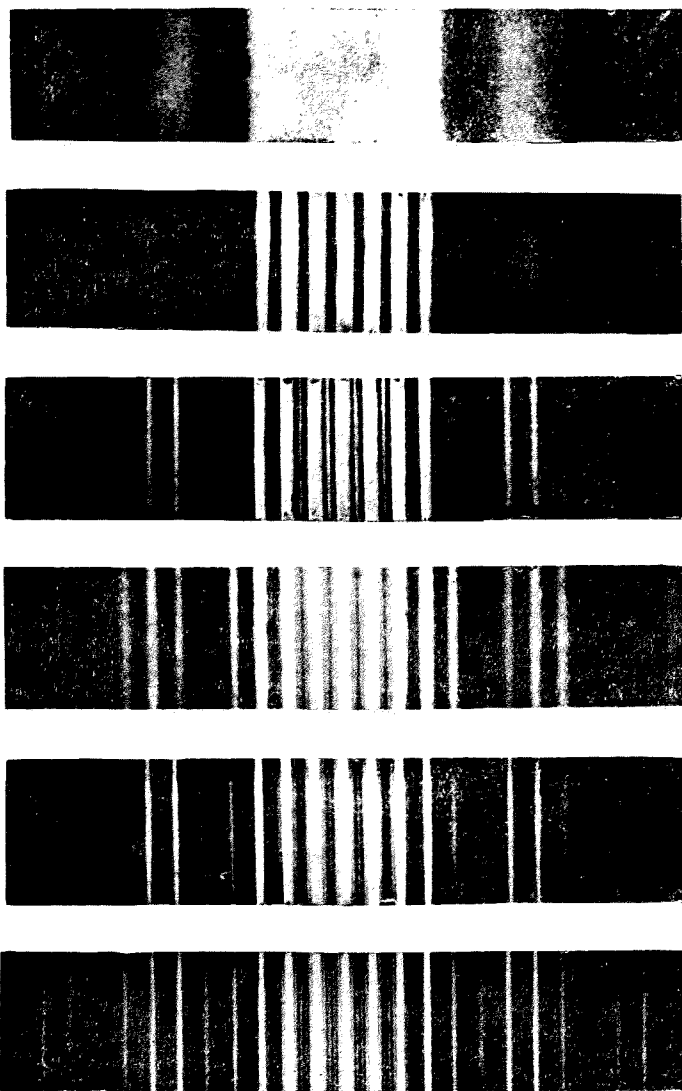


圖 40.

式中  $w = \frac{\pi}{\lambda} \sigma \sin \theta$ 。 $n$  等於 1, 2, 3, 4, 5, 6 各值時，繞射像型之圖形，繪如圖39，圖40為個別之照相。

可加討論之類似情形，為數無涯，其大部分，曾經佛潤荷費(Fraunhofer)，捨味得(Schwerdt)，哀銳(Airy)，諸氏闡以理論，證以實驗；此種結果，昔之物理學家頗喜研討，視為波動說之明證，但時至今日，吾人見解，業多變易，前賢言之諱諱者，茲已失人重視矣。惟有數種實驗，證明確切，深饒興趣，多舉數例，尚不為贅。

一組點狀徑口，隨意分佈，其普通式應為

$$\lambda^2 f^2 I = R^2 = C^2 + S^2$$

式內  $C = \Sigma_r \cos(ux + vy + w)$ ， $S = \Sigma_r \sin(ux + vy + w)$ ， $r$  與  $w$  為  $x, y$  之函數。如位相與強度，俱係常數，

$$C = \Sigma \cos(ux + vy)$$

$$S = \Sigma \sin(ux + vy)$$

若諸徑口，形狀相同，排列有條，結果之  $I$ ，應以  $A^2$  乘之， $A^2$  者單徑口繞射像型之強度也。

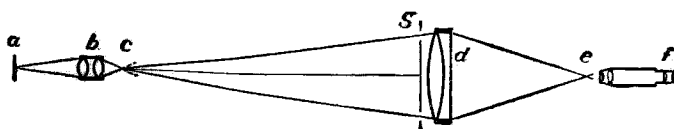


圖 41.

實際觀測時，儀器之簡單裝置，述之如次，光自鎢絲燈或弧光燈發出，集中於針眼  $a$  (圖41)，經顯微鏡之接物鏡  $b$ ，造  $a$  像於  $c$ ，復

行前進，度焦距十六吋之望遠鏡之接物鏡  $d$ ，成  $c$  像於  $e$ ，用一低率顯微鏡，在  $f$  處可窺  $c$  像。繞射屏帷，即置於  $d$  前  $s$  處。

附屬圖形①，爲用各種不同屏帷  $s$  所生之繞射像  $D$ ，各圖下方均載有強度之解析式。

如有同樣徑口  $n$  個，分佈無則，而爲數甚夥，則所得像型，與用單徑口者無異，惟亮度已增加  $n$  倍矣。

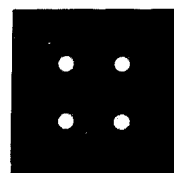
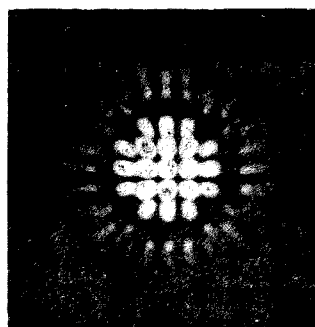


圖 42.  $I = (\cos ua \cos vb)^2 A_1^2$

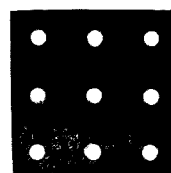
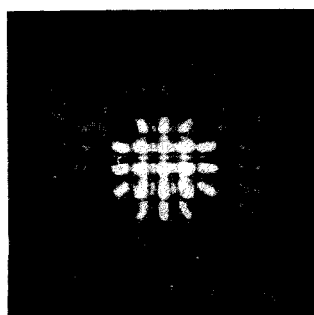


圖 43.  $I = (1 + 2 \cos ua)^2 (1 + 2 \cos vb)^2 A_1^2$

① 指圖42，圖43，圖44，圖45，等而言。

## 貝比勒梯理論(Babinet's Theorem)

令  $I_1$  為任一繞射像型強度， $I_2$  為另一繞射像型強度，產生  $I_1$  與產生  $I_2$  之屏帷，面上透明與不透明部分之位置，適互相反。

$$I_1 = C_1^2 + S_1^2$$

$$I_2 = C_2^2 + S_2^2.$$

如將屏帷撤去，繞射像型之強度，在近中心處，幾為零。是以

$$I_0 = (C_1 + C_2)^2 + (S_1 + S_2)^2 = 0$$

$$\therefore \quad C_1 = -C_2, \quad S_1 = -S_2$$

$$I_1 = I_2$$

兩種屏帷所生之繞射像型，除極近中心一部外，各點之強度，完全相同。茲於玻璃片上，布以石松之粉，粉粒球狀，半徑幾等，用作屏帷，所得繞射像型，與用不透明之版，面鑿與粉粒同位同徑之孔者，幾無差異，僅在中部，微有不同。如圓粒之半徑為  $d$ ，則第一暗環之角度半徑必為  $a = 1.22 \lambda/d$ ，因  $\lambda$  可量，單色光之波長  $\lambda$  又屬已知，故  $d$  可求得。

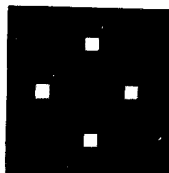
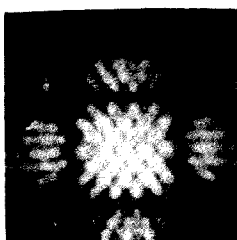


圖 44.  $I = (\cos ua + \cos vc)^2 A^2$

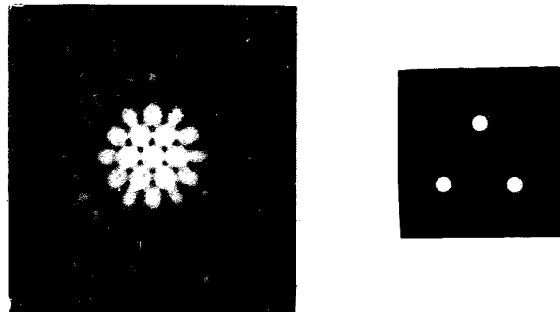


圖 45.  $I = (1 + 4 \cos^2 ua + 4 \cos ua \cos V_3 va) I_1^2$

(當浮雲蔽日之際，日冕 (corona) 常現於太空，斯種異象，亦不難以水點之繞射作用解釋之。惟其產生，多因冰粒，非由水滴，而事實上顏色之順序，亦與繞射所生者，完全相逆)。

### 光學儀器劣點之影響

應用公式(5)時，曾假設球形波表面之強度與位相，皆係均勻，但按之實際，強度非係常數，時有  $\varphi(x) = e^{-cx}$  者，普通所用之稜鏡分光器，蓋是類焉。此時  $c = \int e^{-cx} \cos ux dx$ ,  $S = \int e^{-cx} \sin ux dx$ 。積分之限，如自 0 迄  $\infty$ ，則

$$\lambda^2 f^2 I = C^2 + S^2 = \frac{c^2}{c^2 + u^2},$$

此一結果，堪資說明之用。設如穿過三稜鏡底光線之強度，為經其頂端者 0.018 倍， $ca = 4$ ，

則 
$$\frac{I}{I_0} = \frac{1}{1 + \left(\frac{1}{2} \cdot \frac{\pi}{\lambda} a \sin \theta\right)^2}.$$

當  $\sin \theta = \lambda/a$  (分解極限)， $I/I_0 = 2/7$  (並不為零)，是以分解率業經減少。

波形恆非球狀，顯係最堪注意之劣點，其與位相有變，影響相當，而此位相之變值，須以  $x, y$  函數  $\psi$  表之。繞射像型，通常以(5)式求之，該式雖將振幅因數略而不記，但除上述情形外，尚無不合。

波表面上振動，設以下式表之，

$$V = \cos(nt - \psi)$$

其繞射像型強度將為

$$\lambda^2 f^2 I = C^2 + S^2.$$

式內

$$C = \iint \cos(ux + vy - \psi) dx dy,$$

$$S = \iint \sin(ux + vy - \psi) dx dy.$$

如今  $\epsilon$  表波狀與球形之差，則  $\psi = f(x, y) = 2\pi\epsilon/\lambda$ 。

下述簡例兩則，無須探尋積分之值，已可覘各種消息。(1)如  $\epsilon = ax$ ，結果與將波面方向改以  $a$  之值量者相當，故波面除有  $a$  之移動外，繞射像型，終必屹然不變。(2)命  $\epsilon = \beta x^2$ ，取波面之近似狀為  $y = 2x/2R$ ，則  $\delta y = \epsilon = \frac{x^2}{2} \delta \frac{1}{R}$ ，並  $\delta \frac{1}{R} = 2\beta$ 。故焦點即有  $8R (= 2\beta R^2)$  之變動，繞射像型亦無所改易。

### 銳蟲之極限

光學表面，就其製造方法而言，大都係旋轉表面。是以表  $y$  之

式，僅有  $x$  之偶次方；設如指數高於四者，省略不計，則

$$y = ax^2 + bx^4$$

球形波表面，由圓旋轉而生，圓之相當方程式應為

$$y_0 = R - \sqrt{R^2 - x^2}$$

高於四次方者，省略不計，

$$y = \frac{x^2}{2R} - \frac{x^4}{8R^3}.$$

現如  $a=1/2R$ ，則差數

$$y - y_0 = \epsilon = \left( b + \frac{1}{8R^3} \right) x^4.$$

其相當之位相差為  $\psi = h x^4$ 。

與  $h$  以各值，繞射像型中心之相當  $I$  值如表 6：

表 6

$h$	$I$
0	1.00
$\pi/4$	.95
$\pi/2$	.80
$\pi$	.39

當  $h=\pi/2$  時，所失光度，僅百分之二十，依銳聶說法，在普通情狀下，此區區者，尙可容許。但如  $h = \frac{\pi}{2} = \frac{2\pi\epsilon}{\lambda}$ ，則應有之差誤，已達  $\epsilon = \lambda/4$ 。

此種差誤，苟乏規律，更無所謂周期特性，則在透鏡鏡面與稜鏡

等之應用上，仍克容許，不過確已臻於極境矣（是類表面，如用於干涉儀，所容許之差誤極限，實嫌太大）。

$\lambda/4$  之極限，適用於波面。如波面生於反射，則當垂直射入時，反射面之相當極限，應為  $\lambda/8$ ，折射面之相當極限，應為  $\frac{\lambda}{4(\mu-1)}$ 。故如僅就此點而言，折射鏡實較反射鏡為優（如就折射鏡之色差及其重價方向設想，則優劣之評定，非如是矣）。

令入射角為  $i$ ，可證

$$\epsilon = \frac{-\lambda}{4(\cos i - \mu \cos r)}$$

如係一折射面（如上述者），而入射角為零，則  $\epsilon = \frac{\lambda}{4(\mu-1)}$ ，如為一反射面，僅須令  $\mu = -1$ ，即得

$$\epsilon = \frac{\lambda}{8 \cos i}.$$

## 第七章

### 光學面之考核

#### 平 面

擬加考究之表面上，置一校核平面（test plane），校核平面之坦平程度，至少應達到吾人所需要之準確。茲以古伯黑味蒂燈光照射之，入射方向，幾近垂直，干涉條紋，遂行暴露。如自校核平面與考究表面兩者間之任何相對方位觀測之，條紋形狀，均成直線，則兩者之坦平程度相等。相當於每一條紋百分二訛誤之差，利用此法，可以試出，是精確程度，已臻一光波之百分之幾（如情形適當，精確之度，尚可增進十數倍。精確度愈高，對於實用，裨益愈大。不過是種考核，費時頗久，一二小時，勢所必須，蓋實驗時應待溫度之完全劃一也）。

校核平面之製造，同時工作者，表面之數有三。試驗之方法如下：*A*與*B*兩表面互相砥礪，務達吻合之度，易言之，兩者所生干涉條紋，自任何方位窺測，宜成直線。斯時兩面之曲率，必適相等而正相反。復次，令*A*與*C*合，及*C*與*B*合。輪替之法，賡續進行，直至三者互相吻合之情形，完全一律，則三表面均堪稱爲平面矣。圖46即昭示利用上法，使窗用玻璃，漸趨坦平之情況。



圖 46.

### 平面平行片

若表面確係平行平面，則以古伯黑味蒂燈光照之，或以他種光源之均勻輻射照之，圓形干涉帶，立即產生；吾人肉眼，得以窺見，用低率望遠鏡觀測，更覺清晰。

倘因表面有平行於自身之移動，圓帶半徑乃生改易，則表面之平行，定係未臻完善，故應作區部之磨琢，使此圓徑之顯著變化，完全泯滅。

### 角度考核

最近改良之光速量度法中，須備一八角旋轉鏡，八角之角度，應極準確，含有差誤，不得超越百萬分之一。利用考核角，如光速一章內所敍述者，即克達是目的。

### 球面

光自針孔  $S$ (圖47) 射出，照於所擬試驗之表面，針孔影像，成於  $e$  處，該地有刀口屏蔽，影像遂為掩阻。眼居於  $e$ ，將見表面全部，盡成黑暗。苟表面之任何部，非屬球狀，則該部即生亮度，以顯其差。

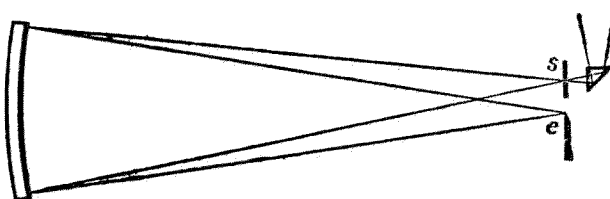


圖 47.

試驗望遠鏡之接物鏡時，接物鏡後方，應置一平面鏡，如圖48所示。此種裝置，又可供探求光媒未盡均勻之處所（如 striae 等），惟此媒介質必先製成一平行平面之片狀物，置於圖 48 之  $P$  處，然後可按前法試之。

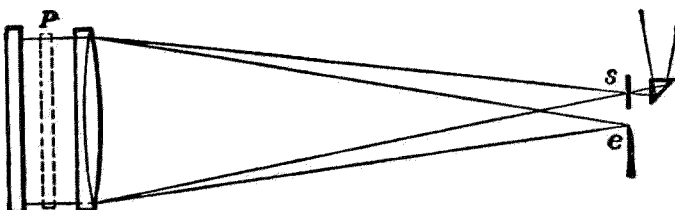


圖 48

天文返光鏡，鏡面應成拋物線面，考核之方，係將前法，加以改變，如圖 49 所示。光出自針孔  $S$ ，照於拋物線面  $P$ ；反射至平面鏡  $R$  後，乃循原路返  $P$ ，而造像於刀口  $e$ 。但用此裝置，光常不能復聚一點，補救之法，係將  $R$ (圖49)作成一平行平面片，前面薄塗以銀，

安放之地位；如圖50所示，於是前述缺點，可以消除。

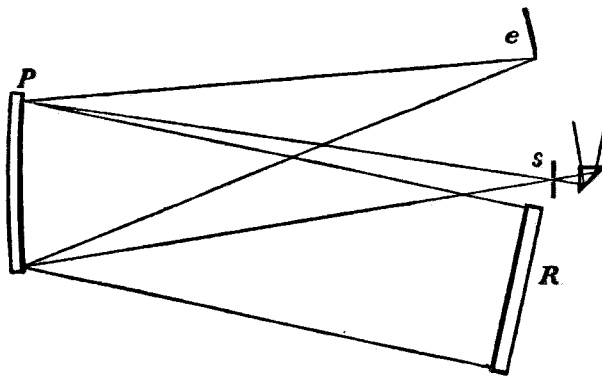


圖 49.

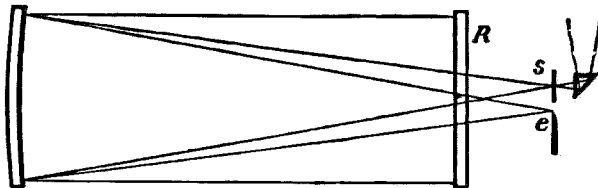


圖 50.

### 干涉現象考核法

光自漏因斯蒂發光具（Nernst glower）射出，經顯微鏡之對物鏡① O，聚斂於狹縫 S（圖51），又經全反射稜鏡，遂射至所擬考核之球面。狹縫影像，成於稜鏡之前，用6耗物鏡之顯微鏡可窺見之。球面之前，置一組屏蔽，上具 P, Q 兩孔，P 對球面中心，Q 與球面中

① 此顯微鏡之對物鏡，應經細密考察，必須毫無缺點，始可應用。

心之距離，得能任意。

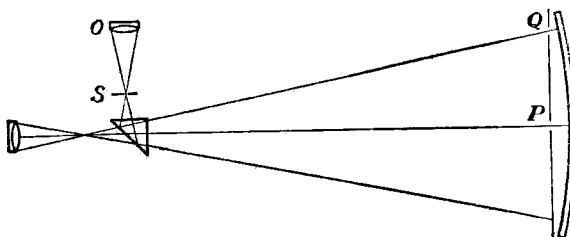


圖 51.

斯時干涉之帶，可於顯微鏡中窺測之。如  $Q$ 部球面毫無缺點，則正中干涉帶與狹縫中心，完全相當。倘有缺點，兩者之間，定有距離，長約一帶闊度之幾分之幾；惟  $Q$ 處實差，僅及其半。

同法可施於透鏡之考核，所異者，透鏡後方須置一平面鏡耳。茲法加以改變，亦可用以試驗稜鏡與光柵，惟應注意者，此時光源，必近單色。圖52所示之干涉儀法，或更簡單如圖53所表者，俱可應用。兩者所得結果，皆見同心之干涉圓紋，苟光柵確屬完善，觀測者之眼，於表面上，任向何方移動，圓之直徑，總無變易。

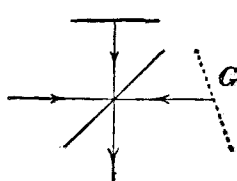


圖 52.

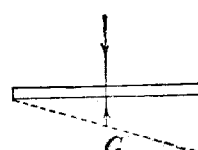


圖 53.

### 光學量度準確之極限

細小光源之影像，如由針孔狹縫玻璃片或金屬版上之刻線（明線顯於黑暗背景，或其相反者）等所造成者，其所據之位置，恆藉調變測微器內髮絲，使與像合，乃得正確之量度。以髮絲平分影像，係謀疊合之最簡法，反之，以影像均分兩平行髮絲間距離，亦屬法之常用者。在任一法中，令  $\beta$  為影像所張之角度（在第二法內， $\beta$  係表兩髮絲距離所張之角）， $\partial\beta$  為安置髮絲之均差，則由實驗得知

$$\partial\beta = b + c\beta, \quad (1)$$

$b, c$  為常數，值隨人變，縱使人同，亦因境異（依著者本身言， $b=5''$  有時亦得小至  $2''$ ，而  $c$  則等於 0.0025）。

由是以觀，觀測結果，殊非精確，數值愈小，愈難置信；而歷次安放髮絲時，繞射形像之特相，應保持不變，尤屬難能。通常影像，恆不對稱，則結果之非真，更屬難免。猶有進者，吾人精力有限，廢績工作，歷久不休，定感疲乏，故安放髮絲時之審慎與注意，時有變易，此種複雜原因所生之差，較諸平均訛誤，又不知幾倍蓰矣。

公式(1)可用於望遠鏡，亦可用於顯微鏡，在任一情形內，令  $F$  表影像與物鏡之距， $f$  及  $f_1$  表物鏡及目鏡之焦距，於是可作下方之討論。

### 望遠鏡

命在對物鏡處窺得影像之視直徑為  $a$ ，安置髮絲之均差為  $\partial a$ ，

則

$$\left. \begin{aligned} \partial a &= \frac{f_1}{F} (b + c\beta) , \\ \text{或} \quad \partial a &= \frac{f_1}{F} b + ca \end{aligned} \right\} \quad (2)$$

(如光源係點狀，則  $a = 2a_0 = 2.44 \lambda/a$ ， $a$  為對物鏡之直徑)。

由上式得知，欲精確之度，趨至高之量，放大率 ( $M = \frac{F}{f_1}$ ) 應具大於  $\frac{b}{2ca_0}$  之值 (如  $M = \frac{3b}{2ca_0}$ )。茲就威爾遜山天文臺之百吋遠鏡言， $a_0 = 0''.05$ ，則  $M = 60,000$ <sup>①</sup>。放大之率，高至如此，殊不合用，何以言之？蓋苟如是，影像明度，將趨黯淡，而遠鏡視界，亦復有限，故遠鏡之指向，難尋一正當之依歸。放大率如 30,000' 者，尙屬尋常，令  $M$  等於是值，並設天象清晰度<sup>②</sup> 甚佳 (perfect seeing)，則

$$\partial a = 0''.002.$$

(可能之差誤，約此值四分之一，即  $0''.0005$ )

量度之差誤，雖不克免，但有兩種致差之因，務宜蠲除。第一，對光不確，引起視差；普通實驗，此差至微，但冀量度之精確，得臻至高之境，即斯微量，亦難忽視。第二，大氣擾動，影像不寧；此固屬大氣擾動所生之一種騷亂現象，然不得認為天象之朦朧。第一種情形之影響，將使清晰影像，有相對之微動；第二種者，經時間或空間或兩者兼有之累積，終生擾變。惟物體本身之振動或實際之遷移，亦

① 此係根據  $b = 5''$ ， $c = 0.0025$  算得之結果。

② 為使繞射環得以顯著，對物鏡之直徑應縮減為  $d$ ，故上用之  $a$ ，須以此值代之。利用此種光闌量度「天象清晰度」(Seeing)詳情見 Carnegie 學院 1922 年年報 (245 頁)。

係發生此種影響之原由。

下述之例，對物透鏡，係由焦距百吋口徑六吋之雙物鏡構成，鏡乃黑味蒂(G. W. Hewitt)所製造而董甫生(Elihu Thompson)所薦進者。鎢燈之光，照於狹縫，用為光源；深綠膠片，置光程中，使光過濾。光源距偶對物鏡，英寸一百，光源影像，成於物鏡後方，與鏡相距，亦係百吋。用放大率五十，一百，二百，三百各不同值之目鏡，作數度之窺測，所得安放髮絲之各均差之結果，與下式所示之值

$$\partial a = \frac{10''}{M} + .005a_0$$

符合程度，約 $0''.01$ 之譜。式中 $M$ 為放大率， $a_0 = 1.22\lambda/a$ 。

### 顯微鏡

如於公式(2)內，代 $a$ 以 $\epsilon/f(\epsilon = \epsilon_0 + \epsilon_2, \epsilon_0 = \text{分解極限之兩倍})$ ，或即 $\epsilon_0 = \frac{\lambda}{\sin\phi/2}$ ； $\epsilon_2 = \text{物體之直徑}$ ； $f = \text{對物鏡邊緣與物體之距離}$ ，則

$$\partial\epsilon = \frac{ff_1}{F}b + c\epsilon \quad (3)$$

或  $\partial\epsilon = \frac{f_1}{m}b + c\epsilon, \text{此中 } m = \frac{\mu \sin\phi/2}{\sin\psi/2},$

$\phi$  為從物體處所見之角徑口， $\psi$  為自影像處所見者。

此種安置髮絲之均差式，亦可用以決定諸常數之值量。用不同目鏡與物鏡，作顯微鏡種種量度，乃知  $b = 6''$ ， $c = .003$ 。此與利用望遠鏡所獲之結果，幾能不謀而合。茲擇各量度中之一例言之。 $a = 8$

耗， $f=6.5$  耗， $f_1=16$  耗， $F=200$  耗，於是  $\epsilon=(\epsilon_0)=\frac{\lambda}{\sin\phi/2}=1.0$ ，

算得之  $\partial\epsilon=0^{\mu}.019$

而觀測所得者爲  $\partial\epsilon=0^{\mu}.020$ 。

### 視 管

無須透鏡複雜之裝置，上述常數，得借視管測獲之。管長一呎，近眼之端，附以圓形光闌，直徑一耗，他端具有瞭視標識一對，形如圖54所示。管置縱軸上，遠處明亮圓形徑口，令爲標識所均分，視管之轉角，可用鏡面與望遠鏡求之。經數度計量，得  $b=2''.8$ 。利用肉眼，作此觀測，或有之差，約近弧度之一秒。

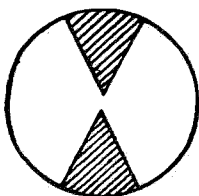


圖 54.

### 干 幫 儀

通常使用之干涉儀，所得干涉帶之闊度爲  $w=\lambda/\phi$ ， $\phi$  係兩干涉光線之互相傾斜度。兩組量度（一爲平分暗紋者，一爲平分亮紋者），結果如下：

暗紋者：

亮紋者：

$$C = \frac{\partial w}{w} = .011$$

$$C = .0057$$

在強光中，生理之影響（過度露光之攝影，亦生此影響），恆使視闊度縮減（測暗紋時，暗紋之闊度減小，測亮紋時，亮紋之闊度亦減

小)，於是量得之  $C$  值，殊與前異，

$$C = .0035。$$

如利用類似范勃銳配羅 (Fabry Perot) 儀器中之兩組半塗銀粉片，令經重複之反射，則結果之準確度，猶可增進。用此裝置，共試三次：第一次，試以化學銀沉澱，透過之光，僅百分之一。第二次，試以灰散之金粉，透光之度，仍與上同。第三次，用灰散之銀粉，透過之光，約百分之十。三次實驗，所獲  $C$  之均值爲

$$C = .0025。$$

中部條紋，角度位置之均差爲

$$\partial\beta = b + c\beta,$$

式內  $\beta = rw/f_1$  (一次反射， $r=1$ ；但在強光中觀測，或攝影時，過度露光， $r$  之值，恆小於一；倘係多次反射，如在上述儀器中者， $r$  之值，概約 .05 之譜)。條紋闊度  $w$  為  $\lambda/\phi$ ， $\phi$  係兩干涉光線之傾斜度，故

$$\beta = \frac{r\lambda}{\phi f_1}。$$

如距離之均差爲  $\delta\epsilon$ ，則

$$\delta\epsilon = \phi f_1 \cdot \partial\beta = \phi f_1 b + cr\lambda。$$

但  $\phi$  可小至吾人所欲，是以

$$\delta\epsilon = .0025r\lambda。$$

苟反射僅一次，而  $\lambda = 0^{\mu}.6$ ，則

$$\delta\epsilon = 0^{\mu}.0015，$$

多次反射時( $r = .05$ )， $\partial\epsilon = 0^{\mu}.000075$ 。

如所用儀器，確可多次反射(反射之次數，設為二十)，則實際量度所獲之 $C$ 值，約有.015之十分之幾，設 $c$ 值為.015之十分之五，則相當之均差為 $\frac{0.015}{40}\lambda$ ，

或  $\partial\epsilon = 0^{\mu}.0002$ 。

倘面極光澤， $C$ 之值，可小至.003，其相當之均差

$$\partial\epsilon = 0^{\mu}.00004$$

此則僅有一耗之二十五百萬分之一矣。

多次反射，尙可用為兩干涉光束程差之放大，故最小移變，乃可量度。此種原則之應用，示如圖55。該圖表明彈簧重力計中之一組鏡面。圖內重線，係指鏡面之塗銀部分，如塗銀面之佈置治當，俾光於

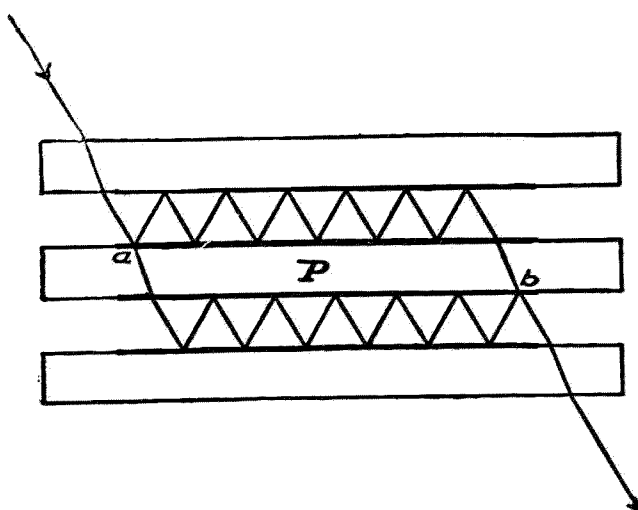


圖 55.

---

*a* 點適可分馳，則兩部光線，在上下層空間，各經多次之反射，至 *b* 又行復合。*P* 片係駕於石英彈簧橫桿之上者，*P* 稍下移，上層光程增加，而下層者減短，結果，干涉條紋，必有移變。反射之次數，尙可增加 20 倍，則量度之精確，亦隨以進。

# 第八章

## 繞射光柵

等距同形之徑口  $n$  個，其繞射像之強度式爲

$$I = A \frac{\sin^2 n\omega}{\sin^2 \omega},$$

式內  $\omega = \pi n \sigma / \lambda \sin \theta$ ， $\sigma$  為兩徑口間之距離， $A$  為單徑口所生繞射像之強度。如  $n$  具值甚大，除

$$\sin \theta = m\lambda / \sigma$$

外，強度恆近於零。如徑口均成矩形，長而且狹，則屏惟有專名，曰『繞射光柵』(diffraction grating)。

入射光之繞射方向  $\theta$ ，唯波長是依。光經繞射，內含原色，分道揚鑣，各居一位，形如光譜。入射波面，設與繞射屏或光柵之平面互相契合。令平面波面之入射角爲  $i$ ，公式遂成下形

$$\sin \theta + \sin i = m\lambda / \sigma \quad (1)$$

入射之波，應導源於一點；但如光源爲極細狹縫且與徑口長度平行，則結果相同，僅強度有別。實際之情形，狹縫係居進光遠鏡 (collimating telescope) 之焦點，光自該鏡出，成平行光束，經繞射，仍屬平行，過觀測或攝影之物鏡，光始斂於焦點，如光源係單色，狹縫之像，成於是焉。結果之光譜，乃此狹縫影像排列而成者。

角度  $\theta$  之變遷，相當於波長已知之變遷者，名曰色散。色散之值，以  $D = \frac{d\theta}{d\lambda}$  表之。設  $i$  為常數，求(1)式之微分，得

$$\frac{d\theta}{d\lambda} = \frac{m}{\sigma \cos \theta}$$

如令  $l$  為光柵之長， $a$  為投入遠鏡光束之闊度，並將光柵空隔  $\sigma$ ，代以每裡內徑口數目  $n_1$  之例數，則

$$\frac{d\theta}{d\lambda} = (mn_1)l/a \circ \quad (2)$$

比率  $\delta\lambda/\lambda$  之例數，可為分解率之定義，或即

$$R = \frac{\lambda}{\delta\lambda} \circ \quad (3)$$

比率中之  $\delta\lambda$  乃可分解之最小波長差。觀測遠鏡(係直線徑口，長度為  $a$  者)之分解極限為  $i\theta = \lambda/a$ ，由(2)式可知

$$R = (mn_1)l, \quad (3a)$$

又如徑口總數為  $n (= n_1 l)$ ，則

$$R = mn, \quad (3b)$$

從(2)式與(3a)式得  $R = (mn_1)l = a \frac{d\theta}{d\lambda} = aD,$  (3c)

復自(1)式求出  $m$  之值，代入(3b)，遂有

$$R = \frac{l}{\lambda} (\sin i + \sin \theta) \circ \quad (3d)$$

若入射與繞射均近水平 (grazing)，分解之率，可獲最大之值，但苟如是，強度又必微弱，所謂二美不可兼得也。按之實況，最大分解率，可取下值：

$$\overline{R} = 1.75 l/\lambda, \quad (3e)$$

此與光柵空隔，絕無關聯。當光柵長度  $l=200$  纓，波長  $\lambda=.0005$  纓時，

$$\overline{R} = 700,000.$$

以此光柵，分解光譜上之偶線，雖兩線之距，僅及鈉偶線者七百分之一，亦克奏效。

### 色散與稜鏡之分解率

波面始終為平面者，其極端部分之光程差，可表以下式①

$$\int \partial \mu ds - \int \partial \mu ds_1 = a \partial \theta$$

如折射指數  $\mu$ ，在兩程途中，均為常數，例如光之經過三稜鏡者，則

$$\partial \theta = \partial \mu (s - s_1)/a,$$

若以  $l$  表稜鏡之底長，

$$\frac{\partial \theta}{\partial \mu} = \frac{l}{a} = \frac{d\theta}{n\lambda} \cdot \frac{d\lambda}{d\mu}$$

故色散之值

$$D = \frac{d\theta}{d\lambda} = \frac{l}{a} \cdot \frac{d\mu}{d\lambda}. \quad (4)$$

---

① 見銳義：Scientific Papers。

分解達到極限之條件爲  $\partial\theta = \lambda/a$ ，用上關係，即有

$$R = \frac{\lambda}{d\lambda} = l \frac{d\mu}{d\lambda}。 \quad (5)$$

分光之棱鏡，設由濃密火石玻璃做成。茲擬求所需稜鏡之數目，俾使用後，結果之分解率，與用長度等於單個稜鏡底之光柵所得者，完全相同。令(3e)式中之  $R$  與(5)式內者相等，並將(5)式中之  $l$  代以  $N \cdot L$ ，則有  $N\lambda \frac{d\mu}{d\lambda} = 1.75$ ，因濃密火石玻璃之  $\lambda \frac{d\mu}{d\lambda} = 0.11$ ，故  $N = 16$ 。

### 光柵光譜之亮度

因彼光柵，僅受不透明性之支配，故強度之式，當係

$$I = \frac{\sin^2(\pi \sin \theta a/\lambda)}{(\pi \sin \theta a/\lambda)^2}，$$

但知  $\sin \theta = m\lambda/\sigma$ ，於是

$$I = \frac{\sin^2 \pi m a/\sigma}{(\pi m a/\sigma)^2}$$

如光柵內不透明部分與反射部分，闊度相等，則  $a = \sigma/2$ ，而

$$I = \frac{\sin^2 \frac{1}{2} m \pi}{(\frac{1}{2} m \pi)^2}。$$

中部影像之強度，若取值爲一，其餘各級之強度，將爲 0.4, 0.0, 0.044, 0.0, 0.016 等值，可見級次愈高，強度之低減愈速。

光柵與稜鏡，各具功績，若欲加以比較，上述情況，務宜注意。

實驗之觀測，行於低級者，光柵之結果至良。茲令級次爲一( $m=1$ )，則分解率  $R$  之值爲  $n$ ， $n$  者刻線之總數，值爲( $n=$ ) $\frac{1.75l}{\lambda}$ ，故光柵之空隔  $\sigma$  應爲 $\frac{\lambda}{1.75}$ 。光柵刻線，如是細密，製造殊艱①！

但光柵之受『不透明性』支配者，亦得受『位相落後』之作用，且在數種情況內，後者尚屬主要。惟用後種光柵時，求獲之結果，與上所得者，可澈底不同。

### 位相光柵

普通情形——如在繞射屏帷處之振動爲  $V=\phi \sin nt + \psi \cos nt$ ，則在焦點處之結果擾動將爲

$$W = \int \phi \sin(nt - ux) dx + \int \psi \cos(nt - ux) dx$$

或

$$\begin{aligned} W = & \sin nt \left[ \int \phi \cos ux dx + \int \psi \sin ux dx \right] \\ & - \cos nt \left[ \int \phi \sin ux dx - \int \psi \cos ux dx \right]. \end{aligned}$$

故繞射像型之強度爲

$$\begin{aligned} I = & \left[ \int \phi \cos ux dx + \int \psi \sin ux dx \right]^2 \\ & + \left[ \int \phi \sin ux dx - \int \psi \cos ux dx \right]^2 \end{aligned}$$

如繞射屏帷係一光柵，周期  $\sigma = 2\pi/k$ ，則  $\phi$  與  $\psi$  可以符恢(Fourier)

---

① 最良之 25 級長之光柵，其一吋內能畫 2000 根線。

級數，表之如下：

$$\phi = \sum a_m \sin mx$$

$$\psi = \sum b_m \cos mx.$$

$m$  級光譜之強度，值見下式：

$$\begin{aligned} \sqrt{I_m} = & a_m \int \cos(mk+u)x dx + a_m \int \cos(mk-u)x dx \\ & + b_m \int \cos(mk+u)x dx + b_m \int \cos(mk-u)x dx. \end{aligned}$$

各積分常為零，除非

$$u=mk, \quad \text{則 } I_m = (a_m - b_m)^2$$

$$\text{或 } u=-mk \quad \text{則 } I_m = (a_m + b_m)^2$$

$$\text{在前者, } \sin \theta = m\lambda/\sigma;$$

$$\text{在後者, } \sin \theta = -m\lambda/\sigma.$$

苟捨  $m$  級外，所有光譜強度，通同為零，則

$$\tan \omega = \tan mkx$$

$$\omega = mkx + 2n\pi = \frac{2\pi}{\lambda} 2y \cos^2 \theta/2,$$

式內之  $y$ ，係表面受刻線器械之壓縮所生之低落。但因  $\sin \theta = m\lambda/\sigma$ ，

上式可變為

$$\sin \theta (x + \frac{n}{m}\sigma) = 2y \cos^2 \theta/2, \quad (\because \sigma = \frac{2\pi}{k})$$

$$\text{或 } \frac{1}{2} \frac{2 \sin \theta/2 \cos \theta/2}{\cos^2 \theta/2} \left( x + \frac{n\sigma}{m} \right) = y$$

$$y = \left( x + \frac{n}{m}\sigma \right) \tan \theta/2,$$

其圖形示如圖56（欲使垂直射入之光，反射角度爲 $\theta$ ，則反射面，與

光柵平面應有 $\theta/2$ 角度之傾斜，故上之結果，乃可預知者）。

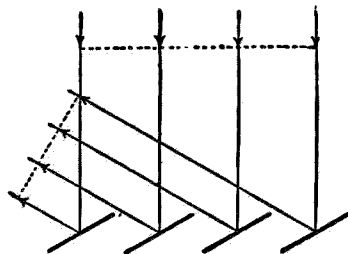


圖 56.

具有此種特性之光柵，雖屢加嘗試，希能實現，但終屬事倍功半，結果不佳。彼生有特種形狀及適當傾斜之金剛石片，亦曾被搜舉，以應此需。雖其刻線所生之光

譜，恆有一級，異常明亮。但因切邊之磨滅，乃使體之較巨者，時不多覩。「階形繞射柵」(echelon)，確能掃除諸弊，而應吾人之求，後章將詳述其究竟。

### 繞射光柵差誤之影響

刻線之可能差誤，得自銳聰極限尋求之。如表以 $\epsilon$ ，

則 
$$\epsilon = \frac{\lambda}{4(\sin i + \sin \theta)} = \frac{\sigma}{4m} \circ$$

差誤有三，區分類別，頗為便易。刻線時三種可能差誤之約略計核，表之如次：

無規則者(irregular)	$1.00\lambda$
有系統者(systematic)	$.20\lambda$
屬周期者(periodic)	$.05\lambda$

此種計核，當以有系統差誤之特性爲憑藉，惟於結果光譜之特性，苟

加深究，則計核之值，必可較確。

在繞射表面處，光振幅之最普通式係

$$\Phi = f(x) \cos(kx - \beta),$$

$k = \frac{2\pi}{\sigma}$ ， $f(x)$  與  $\beta$  均屬  $x$  之函數。以此式代入繞射像型之普通公式，則

$$C = \int f(x) \cos(kx - \beta) \cos(ux - \psi) dx,$$

或  $C = \int f(x) \cos[(k-u)x - (\beta - \psi)] dx,$

並知  $S = \int f(x) \sin[(k-u)x - (\beta - \psi)] dx,$

(光譜之相當於  $(k+u)$  者，業經刪除)。

如令

$$f(x) \text{ 代 } \Phi$$

$$(\beta - \psi) \text{ 代 } \psi$$

$$(u-k) \text{ 代 } u$$

$$v = 0$$

則上之公式，與繞射章之公式(5)同。

但  $u - k = \frac{2\pi}{\lambda} \sin \theta - \frac{2\pi}{\sigma} = \frac{2\pi}{\lambda} (\sin \theta - \sin \theta_0)$

$$= \frac{2\pi}{\lambda} \cos \theta \partial \theta,$$

此式所與之  $(u - k)$  值，應可代替下式之  $u$ ，

$$C = \int f(x) \cos ux dx$$

$$S = \int f(x) \sin ux dx.$$

茲舉上式應用之實例：設光柵之  $\phi = e^{-cx} \cos kx$ 。

$$C = \int_0^l e^{-cx} \cos ux dx,$$

$$S = \int_0^l e^{-cx} \sin ux dx,$$

由是得知，繞射影像強度之近似值為

$$\frac{c^2}{(c^2 + u^2)^2}$$

其中

$$ul = \frac{2\pi}{\lambda} l \cos \theta \partial\theta;$$

因  $l \cos \theta = a =$  射入觀測遠鏡光束之闊度，使  $a_0 = \lambda/a$ 。並令  $a$  等於  $\delta\theta$

等於與  $\theta$  ( $= \frac{m\lambda}{\sigma}$ ) 之角度距離，則

$$ul = 2\pi a/a_0.$$

圖57係  $c = \frac{4}{l}$  (點線) 與  $c = 0$  (實線) 時 I 之圖形，可見前者之分辨率約為後者之四分之三。

刻線機上，推進部份之集壓力，與其突然之離脫，恆使光柵之空隔無差而位相驟變，茲述此種訛誤，作第二例。是種變動，雖令結果光柵，空隔等距，但與長度為各種不變空隔之均長的光柵相較，猶多遜色。

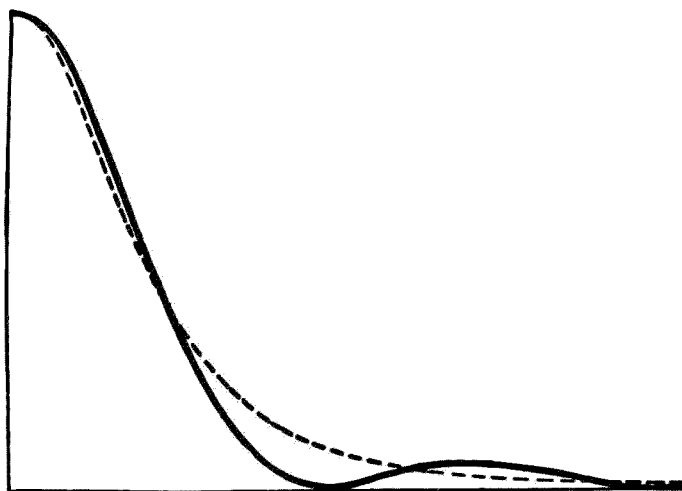


圖 57.

設想有一光柵，其中部的相差爲  $2\beta$ ，換言之，即前半之  $\Phi = \cos(kx - \beta)$ ，後半之  $\Phi = \cos(kx + \beta)$ 。於是  $uC = \sin \beta - \sin(\beta - u)$   $uS = 0$ 。此與平面表面所生之  $I$  值相等，同爲  $I = C^2$ 。惟此平面之一半必較他半，微有低落，值爲  $\epsilon = \frac{\lambda}{2\pi} \beta$ 。繞射像之強度示如圖58，內有  $\beta = 0, \pi/4, \pi/2, \pi$  等類。

第三例：設想光柵空隔，按照下式，均勻增大，

$$\sigma = \sigma_0 + cx$$

則  $\beta$  之近似值係

$$\beta = 2\pi c x^2 / \sigma^2$$

其結果，與平面之波而具有位相之差誤者相當，如以焦距，表此差誤

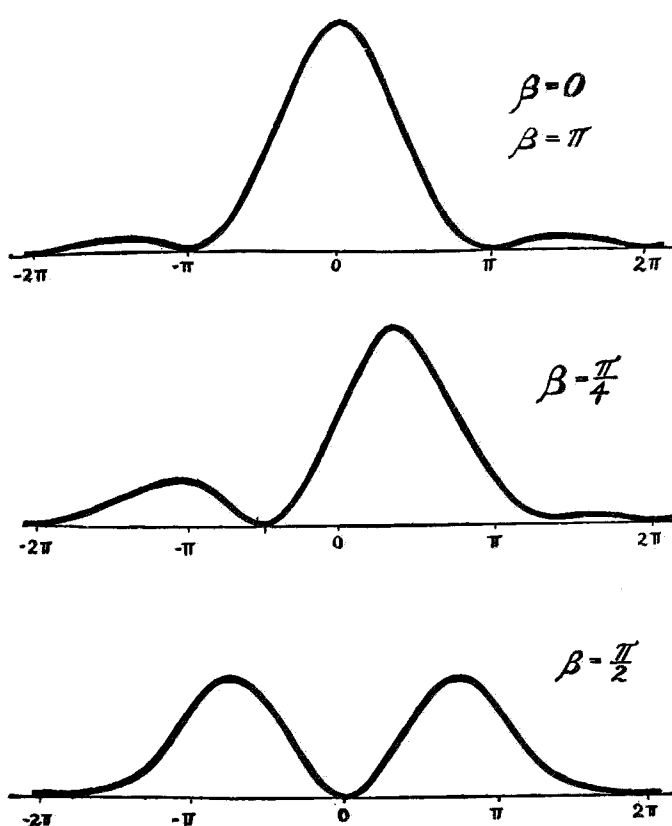


圖 58.

之值，則得  $\delta f = 2c\lambda f^2/\sigma^2$ 。

繞射光柵之任何刻線差誤，恆可利用適當之位相變遷，以匡正之。平行平面片，蝕以氫氟之酸者，置諸光程中，遂能勝任。

幻像(Ghost)

刻線方法之結果(用螺旋者)，常生周期差誤❶，此之周期，即係螺旋步節之周期。

令  $\phi(x) = \cos mx \sum a_n \cos nqx + \sin mx \sum b_n \sin nqx$

式內  $k = \frac{2\pi}{\sigma}$

$$q = \frac{2\pi}{s}$$

總和內第  $n$  項為

$$\phi_n(x) = \cos mx + a_n \cos nqx \cos mx + b_n \sin nqx \sin mx,$$

此值代入下式

$$C = \int_{-l/2}^{l/2} \Phi(x) \cos ux dx \quad (S=0),$$

則第  $n$  級幻像之強度，有下列各種不同之值：

在  $\pm u = mk$  或  $\sin \theta = m\lambda/\sigma$  時， $I=1$ ；

在  $\pm u = mk + nq$  或  $\sin \theta = m\lambda/\sigma + n\lambda/s$  時， $I=(a_n+b_n)^2$ ；

在  $\pm u = mk - nq$  或  $\sin \theta = m\lambda/\sigma - n\lambda/s$  時， $I=(a_n-b_n)^2$ 。

兩幻像間之距離  $\delta\theta$ ，值為  $\frac{\lambda}{S \cos \theta}$

茲求第  $n$  級幻像之強度與光柵主線強度之關係，而此光柵之第  $n$  個元素(element)係  $\phi(x) = \cos 2\pi \left( \frac{mx}{\sigma} - \frac{m\epsilon_n}{\sigma} \sin nqx \right)$  者。式內  $\frac{\epsilon_n}{\sigma}$  為量甚微，是以

❶ 齒輪及連絡輪軸之皮帶等，所生之傳遞周期變化，亦能引起同樣影響。

$$a_0 = 1 \quad b_0 = 0$$

$$a_n = 0 \quad b_n = 2\pi m \frac{\epsilon_n}{\sigma}$$

因此

$$\frac{I_n}{I_0} = \left( 2\pi m \frac{\epsilon_n}{\sigma} \right)^2 \circ$$

# 第九章

## 繞射柵之刻線

光柵最大之分解率，前章求得爲

$$R = 2l/\lambda,$$

是即刻線表面長度內，所含光波數目之兩倍。從茲可見此理論上之極限，既不關於刻線之疎密，更非係乎線數之多寡❶，僅須各線間距離之一律，克臻非常精確境界，理論之值，即能達到。刻線方法，屢經籌劃，疊加嘗試，始信準度甚高而奏效最著者，莫若螺旋。惟是螺旋，齒距務宜均等，周差尤須微細，求之於短小者——例如適足刻劃兩吋長之光柵者，——問題尚易解決，責之於稍長者，困難斯乃紛至。羅蘭(Rowland)氏耗時兩載，始獲解決，事之繁複，於茲可見。惟此種光柵所與之分解率❷，猶嫌不高，問題之待決於較大分解率者，爲數頗夥。

請言其要者：(1)偶線或線羣之解析——此種線組，排列紛密，苟不藉第四章所述諸法，加以分析，殊難得其梗概；(2)光譜線內強度之分配；(3)溫度與壓力所生之闊變與移變；(4)電場與磁場之影

❶ 惟刻線荷少，所用光譜之相當級次必高（因不然者， $mn$  之值不能大也）結果，強度低減，觀測不易，故事實上，寧不避煩難，而使刻線細密，例如每吋內刻線之數，可自 500 至 1000。

❷ 羅蘭氏之原始光柵，約有刻線 100,000 條，其分解率爲 150,000。現以羅氏刻線器刻畫  $6\frac{1}{2}$  吋之光柵，可得較高之分解率，約 400,000。

響；(5)光源行動所生之線移；(6)異位日氣內，局部擾動之分判，如黑耳(Hale)用分光太陽攝影儀所作之工作；(7)除上述者外，譜線分佈之精確量度，與夫各種解釋分佈的創說之考核，亦屬待決問題之一。

欲求繞射柵分解率之增進，俾上述問題之討探，得有憑依，於是刻線機之具有20餘吋長之螺旋，並能完成14吋長之光柵者，乃從事創製。此項螺旋之鏤刻，應委諸特精之鏕床，使初步差誤，為量不大，嗣後再經細剛玉之長期磨琢，務令其未盡消除之差誤，在刻線時，能自消失。

量差校誤，法用干涉，所循途徑，敢稱新奇。法之內容，果何如者，述之如次：干涉儀之一鏡A(圖59)，固置於光柵之載具，相距定長處，有標準 $BC$ , $BC$ 成於兩鏡，附於輔佐載具之內。當B面調變適宜，干涉條紋乃現。茲將光柵之載具，依標準之長移動（如係考核周差，則標準之長約十分之一粍即足；如係考定行動之差，長度須達10粍以上，始克奏效），干涉條紋，遂又現於C面，此種手續，賡續進

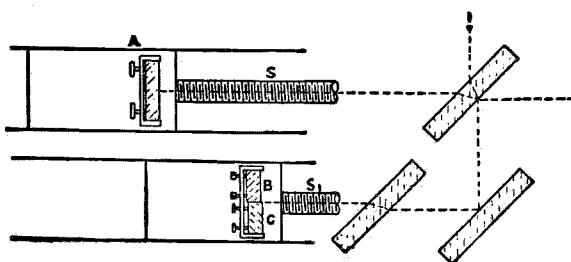


圖 59.

行，而每次中心條紋（無色差）與一定標識疊合之差，均須量計①。相當校正，亦應加於螺旋齒輪，法用自動之簡單機件，以刪齒輪之舛誤，此一機件，可用於刻線之螺旋（爲周差計）亦可施於推動光柵載具之陰螺旋。如是進行，餘差盡蠲，而光柵理想之效能，乃得實現。

下述各點，雖云小節，而事之成功，彼實與有力焉。（一）光柵載具進行之引導與控制刻線鑽石行動之方法，務宜十分真確無誤②。（二）光柵載具如浮於汞面，則行動時之磨擦，得以低減，其低減之值，約重量（指光柵與載具合重而言）所生摩擦力之十分之一。（三）螺旋之橫向行動，應加制止，制止之方法，係將螺旋之球狀頂端，抵觸於金鋼石作成之光學平面上，並調變此平面，使與螺旋軸垂直，橫動遂爾消滅。

光柵是否完善，可以倪蒂羅（Littrow）氏之裝置（如圖60）考核之。八吋消色透鏡  $L$  之焦點處，置狹縫  $S$ ，光自源出（光源恆係古伯黑味蒂燈），經  $S$  過  $L$ ，平行至光柵  $G$ 。經柵繞射，稍有縱移，再循舊道，造  $S$  之像於狹縫之下，像可攝取，亦可用目鏡  $E$  觀測之。

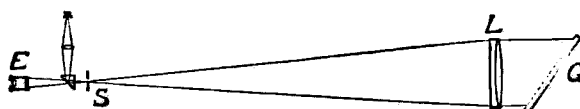


圖 60.

① 此種差數，甚易求得，值約小於條紋闊度二十分之一或即一吋之百萬分之一。

② 此種訛誤，可令自動平行機負責修正，餘差之相當於與直線之偏差者，不得超過一秒弧度。

圖61(見103頁)所示，係綠汞線( $\lambda=5461$ )之光譜，產自10吋之光柵而居第六級者。按此複印照片，清晰線條之間，約一分度又三分之一(一分度等於0.01盎斯通)，故分解率為400,000，原始負片，應有之值為600,000，而理論之值係660,000。

利用均勻光源，刻畫完善光柵，事屬可能，且係最初嘗試方法之一種。現時所需之巨大光柵，用此方法製造，縱多困難，而法屬可行，仍無疑義。製造之手續，可變為自動的進行，而無依賴於器械。

均勻光源射出之光波，尚有較為簡單且更直接之應用。此在理論，尤為可能，而在試驗，亦稱實用。設點形光源，係產自均勻輻射，光源位置，係居於平行透鏡之焦點；並設結果之平面光波，垂直投於真平面上，則經此平面之反射後，酷似林甫冕(Lippman)片板所生之駐波，乃可告成。照相底片，置於傾斜地位，令駐波射入，平行之帶，遂爾顯著。此則構成一種光柵，其分解率僅以光源之均勻程度為依賴矣。

# 第十章

## 階形柵

刻一光柵，能將全部或大部之繞射光，納於單個光譜之內，此種企圖，僅有部分之成功，並屬僥倖而奏效。且夫刻線之金剛石，僅鏤一柵，鋒芒已失，再以刻劃，所得光柵，自與前殊矣①，

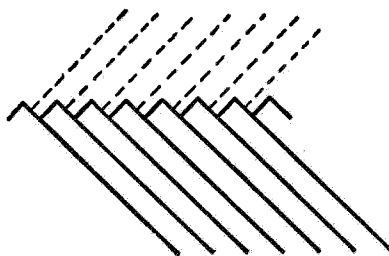


圖 62.

吾人所欲獲之結果，或可得之於下法：以厚度相等而確爲平行平面之玻璃片，層層相疊，配置如圖62。光循玻璃片平面之垂直方向射入，如圖之虛線所示。苟此列各光束間之程差，適合某種光波波長之整數，則具此波長之光，當即依法線方向反射（並繞射）而出。結果光譜，在特種角度下，其落後爲  $m\lambda=2t$  者，得見前述波長光線之存在。

① 粗陋之光柵，如 R. W. Wood 之“echelle”，其柵之空隔，約有數百分之一耗，則重複之結果，尙屬滿意。

反射階形柵之實現，確有困難，蓋各片間之空隙，難望相等①。但穿過之光，並不受此影響，在此種情況下，落後之值為  $m\lambda = (\mu - 1)t$ 。（ $m$  為一整數， $\mu$  為折射指數， $t$  為片之厚度）。

圖63代表階形柵中之兩片，厚度  $bc$  為  $t$ ，支出部分  $ab$  為  $s$ ，循  $\theta$  方向落後之值，將為  $m\lambda = \mu bc - ad$ 。

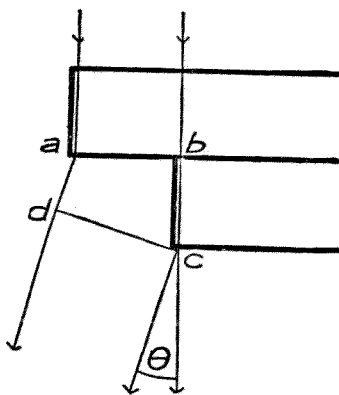


圖 36.

$$m\lambda = \mu t - t \cos \theta + s \sin \theta,$$

苟角度甚小，

$$m\lambda = (\mu - 1)t + s\theta. \quad (1)$$

求以  $\lambda$  為自變數之微分，( $m$ =常數)，則色散

$$\frac{d\theta}{d\lambda} = \frac{1}{s} \left( m - t \frac{d\mu}{d\lambda} \right),$$

---

① 用光學接觸法(optical contact)可得充分之準確。

因  $m = (\mu - 1)/\lambda$ ，並令  $b = (\mu - 1) - \lambda \frac{d\mu}{d\lambda}$ ，

$$\frac{d\theta}{d\lambda} = \frac{bt}{s\lambda} \circ \quad (2)$$

如  $\lambda$  為常數， $\frac{\Delta\theta}{\Delta m} = \frac{\lambda}{s}$ ，

又如  $\Delta m = 1$ ，則光譜上連續各級間之角度為

$$\Delta\theta = \frac{\lambda}{s} \circ \quad (3)$$

倘令  $n$  = 片數，分解之極限顯為

$$\partial\theta = \frac{\lambda}{a} = \frac{\lambda}{ns} \quad (4)$$

代入(2)式，乃有

$$\frac{\partial\lambda}{\lambda} = \frac{\lambda}{bnt} \circ \quad (4a)$$

比較(3)，(4)兩式，可知分解之極限，為兩連續級間相距角度之  $n$  分之一。

如令  $\Delta\lambda$  表兩連續級波長之差；譜線波長與已知線波長之差，係吾人所欲求者，命為  $d\lambda$ ，則

$$d\lambda = \frac{\Delta\lambda}{\Delta\theta} d\theta \circ$$

計數已知之日光譜線或鐵線之級次，係數  $\frac{\Delta\lambda}{\Delta\theta}$  之值，可用實驗方法求

得之。

強度之式爲

$$I = \frac{\sin^2 \pi s \theta / \lambda}{(\pi s \theta / \lambda)^2},$$

圖64示其形像。 $I=0$ ，得  $\theta_0 = \lambda/s$ ，是亦爲譜線間角度之距離。

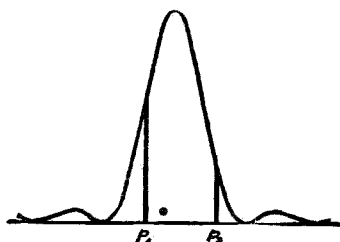


圖 64.

光譜之上，譜數有二， $p_1$ 與 $p_2$ 是。惟在  $\theta=0$  而  $p_1$  消失時，則僅見其一❶。

譜線闊度之相當值，小於  $\Delta\theta = \lambda/s$  者，階形分光儀，始可應用。不然，各連續譜線，咸有疊觸之弊。苟係攝取繁複光譜，如汞之

線譜，或氮之帶譜，此種儀器，尤感不便。惟於階形柵之前，蔽以光柵，或再置一階形柵，則前弊斯泯。此種裝置，見圖65，用此裝置，攝取日光與鐵弧光之光譜，圖形分見66與67兩圖。圖68係綠色汞線之光譜。

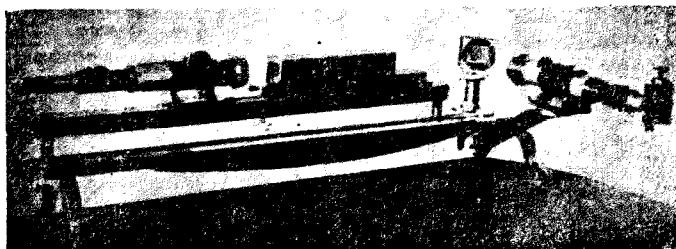


圖 65.

❶ 在  $\theta=\lambda/s$  以外之暗淡譜線，當不計及。



圖 66.

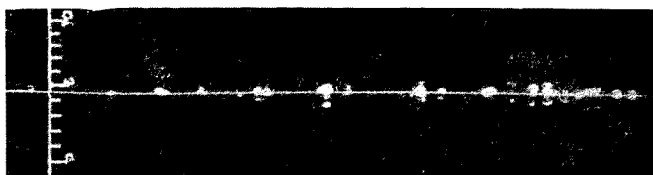


圖 67.

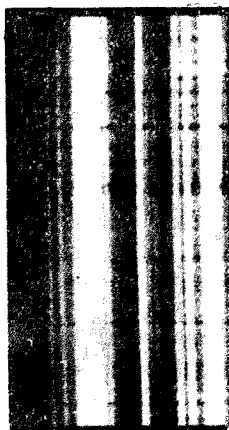


圖 68.

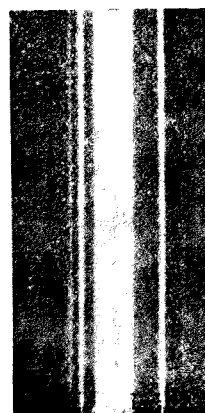


圖 69.

應用階形柵之原理，他兩儀器，業經構成，一名范勃銳與配羅儀器，一名劉梅基耳克（Lummer-Gehrcke）版片。前者內含兩塗銀玻璃片，塗銀之面，互為平行，且係面面相覩。銀粉薄層，性半透明，單色光線，透過之者或自其反射者，均現同心之圓。劉梅基耳克版

片，係用兩精確之平行平面片，使生重疊之反射。

上述三種儀器，皆具位相落後常數 $\delta$ 。如反射（或透過）因數為  
，則結果振動為

$$R = \cos nt + r \cos nt \cos \delta + r^2 \cos nt \cos 2\delta + \dots$$

$$+ r \sin nt \sin \delta + r^2 \sin nt \sin 2\delta + \dots$$

令 $C$ 為 $\cos nt$ 之係數， $S$ 為 $\sin nt$ 者，

$$C + iS = \frac{r^n e^{in\delta} - 1}{re^{i\delta} - 1}$$

$$C - iS = \frac{r^n e^{-in\delta} - 1}{re^{-i\delta} - 1}$$

如當 $\delta=0$ ， $I_0=1$ ，結果之強度應為

$$I = \frac{1 + \frac{4r^n \sin^2 n\delta/2}{(1-r^n)^2}}{1 + \frac{4r \sin^2 \delta/2}{(1-r)^2}} \circ$$

相當於任何 $I$ 值之角度 $\theta$ ，均可以 $\theta$ 表 $\delta$ ，代入上式，而求 $\theta$ 之值。

如言階形柵，

$$\frac{\delta}{2} = \frac{\pi d}{2} = m\pi + \frac{\pi s\theta}{\lambda} ,$$

式內 $m$ 為一整數，

$$\sin \frac{\delta}{2} = \sin \frac{\pi s\theta}{\lambda}$$

令 $\theta_1$ 為光譜上兩連續級次之角距，則 $\theta_1 = \frac{\lambda}{s}$ ，而

$$\sin \frac{\delta}{2} = \sin \frac{\pi \theta}{\theta_1}$$

階形柵之強度公式，遂成下形：

$$I_\epsilon = \frac{1 + \frac{4r^n}{(1+r^n)^2} \sin^2 n\pi \frac{\theta}{\theta_1}}{1 + \frac{4r}{(1-r)^2} \sin^2 \pi \frac{\theta}{\theta_1}}$$

式中  $r$  為振幅透過之因數。

在范勃銳配羅儀器內，落後  $d = 2t \cos \theta = 2t - t\theta^2$  故

$$\frac{\delta}{2} = \frac{\pi t}{\lambda} (2 - \theta^2) ,$$

如  $\frac{2t}{\lambda} = m$  (整數)，

$$\sin \frac{\delta}{2} = \sin \frac{\pi t}{\lambda} \theta^2 ,$$

並設  $\theta_1$  為相當於程差  $\lambda$  之角度， $\theta_1^2 = \frac{\lambda}{t}$ ，於是

$$I_1 = \frac{1 + \frac{4r^{2n}}{(1-r^{2n})^2} \sin^2 2n\pi \frac{\theta^2}{\theta_1^2}}{1 + \frac{4r^2}{(1-r^2)^2} \sin^2 2\pi \frac{\theta^2}{\theta_1^2}}$$

式中  $r$  為振幅反射之因數。

階形柵含有十四階級者， $r = .99$ ，所得分解極限  $\frac{\delta\theta}{\theta_1} = \frac{1}{15}$ ，此

與計算之結果①，若合符節。

至於配羅與范勃銳儀器， $r^2 = .9$ ，則得

$$\frac{\delta}{\theta_1} = \frac{1}{10}^\circ.$$

- ① 透光階形柵之各面，均係光學的接觸，將各面塗以薄銀，則一反射階形柵，遂告成功。此種柵形柵， $r=1$ ，故分解極限式，減為  $\frac{\delta\theta}{\theta_1} = \frac{1}{n}$ 。  
 極限以  $\lambda$  表示者，係  $\frac{\delta\lambda}{\lambda} = \frac{\lambda}{2l}$ ，此與用同長光柵，而以近水平之投射，所得極端之值量，完全相等。

# 第十一章

## 干涉現象在天文學上之應用

前述繞射公式，僅得用於單點光源。如係多點之體❶，焦點處之總效應，必為個別強度之總和，

$$I = \sum_n (C^2 + S^2),$$

如  $u_n, v_n$  為第  $n$  點坐標，則上式內之

$$C = \frac{1}{\lambda^2 f^2} \int \int \Phi \cos[(u - u_n)x + (v - v_n)y + \psi] dx dy$$

$$S = \frac{1}{\lambda^2 f^2} \int \int \Phi \sin[(u - u_n)x + (v - v_n)y + \psi] dx dy.$$

點之極近  $v=0$  者， $\Phi$  與  $\psi$  個係常數，捨棄常數因子。

$$C = \int \cos(u - u_n)x dx$$

$$S = \int \sin(u - u_n)x dx.$$

在特種情況，徑口係兩相等矩形者，

$$I = \sum A^2 \cos^2 \frac{\pi}{\lambda} s(\alpha - \alpha_n)$$

$$A = \frac{\sin \frac{\pi}{\lambda} s(\alpha - \alpha_n)}{\frac{\pi}{\lambda} s(\alpha - \alpha_n)}$$

---

❶ 光源之各點：當係亮點，且相互間，亦乏固定之位相關係。

式內之  $a$ ，係兩徑口之間， $S$  為其中心距離。如  $a$  與  $S$  相較，值量甚小，則  $A$  近於一。

苟言連續之羣，前之總和，遂成積分。代  $a_n$  以  $a$ ， $a$  以  $\beta$ ，並令條狀之體，闊度為  $da$  者，強度為  $\phi(a)da$ ，

則  $I = \int \phi(a) \cos^2 \frac{\pi}{\lambda} s(\beta - a) da$ ，

又如  $2 \frac{\pi}{\lambda} s \beta = \theta$ ， $C = \int \phi(a) \cos ka da$

$S = \int \phi(a) \sin ka da$ ， $P = \int \phi(a) da$ ， $k = 2\pi s/\lambda$ ，

於是  $I = P + C \cos \theta + S \sin \theta$ ，

此式與第四章之(A)式相同，故干涉條紋之明顯度  $V$  可由下式得之

$$P^2 V^2 = C^2 + S^2$$

### 雙星

因在雙星，伴星與主星亮度之比為  $1:r$ ，

$$\therefore V^2 = \frac{1+r^2+2r \cos ka}{1+r^2+2r}$$

當  $ka = n\pi$  ( $n=1, 3, 5, \dots$ )

或即  $a = \frac{n\pi}{k} = \frac{n\pi\lambda}{2\pi s} = \frac{n\lambda}{2s}$  時， $V^2$  之值最小。

式內角度  $a$ ，即令小於觀測遠鏡全徑口分解極限之半，其值若干，終可精密確定。

再者，從最大與最小明顯度之比較，兩星亮度之比率 $r$ ，可從下式求得

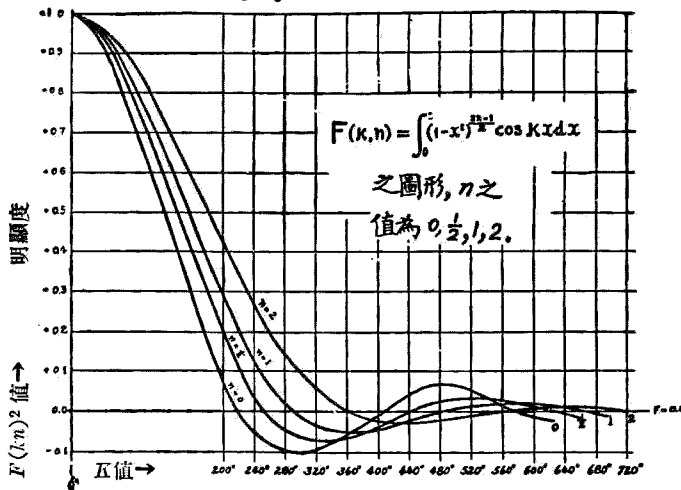
$$r = \frac{V_{\text{最大}} - V_{\text{最小}}}{V_{\text{最大}} + V_{\text{最小}}}.$$

### 星面

亮度均勻之面①，

- ① 如照度可以自中心之距離之函數表示如  $I(R^2 - r^2)^n$ ，則條紋之明顯度為

$$\frac{\int_0^R (R^2 - x^2)^{\frac{2n+1}{2}} \cos kx dx}{\int_0^R (R^2 - x^2)^{\frac{2n+1}{2}} dx}$$



鏡面間相對之分離  
圖 69。

$n = 0, \frac{1}{2}, 1, 2$  諸值時，圖形曾經摩爾登 (F. R. Moulton) 教授算出，繪製如圖 69。苟將條紋第一次與第二次消滅處之距離  $b_1 b_2$  加以觀測，得其精確之長度則恆星光變曲線上  $n$  之近似值，可以求得，即

$$n = \frac{5.5b_1 - 3b_2}{b_2 - b_1}$$

$$V = \int_0^1 \sqrt{1 - \omega^2} \cos^n \omega d\omega$$

內中

$$n = \pi a \frac{s}{\lambda}$$

$a$  係角度直徑。此種物體，當  $a = 1.22 \lambda/s$  時，條紋即行消失。

利用干涉方法，量度發光星面，事屬可行，業經證實。蓋黑密爾登山(Mount Hamilton)十二吋望遠鏡，曾依此法，考度木衛直徑，其結果之精確，竟為常法所不及。直徑之值，大如木衛者(有一秒之譜)，固無論已，最近且最大之恆星，角直徑僅及一秒之百分之幾者，得毋受大氣與機械之擾動，致阻干涉現象之實現，頗屬疑問。

規模宏大之遠鏡，可否造就，俾物鏡前兩徑口所生干涉條紋之消失，得能觀測，誠屬難知；此種遠鏡，在實際上，製造固難，但干涉儀器(利用兩平面鏡，代替兩徑口)，確可應用，以達此目的。蓋該儀器，除受大氣與機械之擾動外，對於有效基線，毫無限制。

大氣擾動，影響何如？約克(Yerk)四十吋折光鏡與威爾遜山(Mount Wilson)之六十吋及百吋反光鏡，皆曾從事試驗，期明究竟；據云，縱令天象不清，結果亦佳，則在此種距離，或更遠者，大氣擾動，殊不足畏，彰然明矣①。

---

① 如此望外之結果，可解釋如下：天象不清時，影像之昏亂，係射入光波各波元累積之效應。因溫度有差，大氣各部，情況不同，射來各波元，互無不變之位相關連，於是影像發生『沸騰』("boiling" of the image)，是與隔鐵熱之面而觀物體，同一現象。

但以物鏡直徑兩端之二波元而論，因其位相差同，故僅生(直形)干涉條紋之移動(此非一種混亂)，如移動不過速，為人目力所能追隨(通常情形確如是)，於是條紋之明顯度，與大氣情況極佳時所得者，同一美好。

較小光闌，上具兩口，置近遠鏡之焦點者，能將射入之光，限為兩束，此較使用蔽覆物鏡之屏帷，收效宏速。以六十吋與百吋遠鏡作觀測時，此小光闌，曾經利用；量度雙星，上述裝置，復經採用，惟須另加附器，使條紋消滅時，可變之徑口距離，得以計量。

威爾遜山天文臺臺員安得笙(Anderson)博士，力贊旋轉光闌固定徑口距離之方法。根據斯法，Capella 雙星之兩伴星角度距離，業經量得。分光鏡中，該星譜線，因杜氏之移位(Doppler displacement)，於是 Capella 之為雙星之消息，始行流露人間，雖推算結果，謂伴星距離，約等  $0''.05$ ，當天朗氣清時，定可窺見，而遠鏡之直接觀測，則從未着手。Capella 伴星軌道，用干涉方法決定者，其精確之異常，直令計算與觀測所得之位置，即萬分之一秒之微量，亦克吻合。

### 經過60吋與100吋遠鏡之

嘗試，深知在上述距離內，大氣擾動，不足為患，干涉儀之具有動鏡(圖70)而底長20呎以便試驗者，乃決定製造。干涉儀之鐵樑(圖71與圖72)，係以建築用之鋼條造成，條之剛性，愈大愈妙，重量應趨可能

之最小值(通常不能低於800磅。附加重量，達800磅之巨，除笨重之100吋遠鏡外，任何儀器，皆難勝此重任；因此，100吋遠鏡遂用

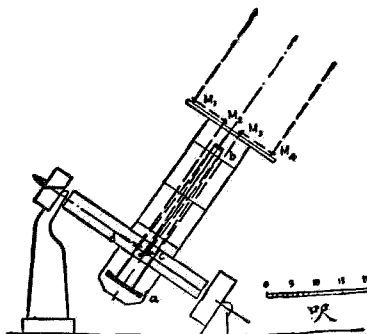


圖 70.

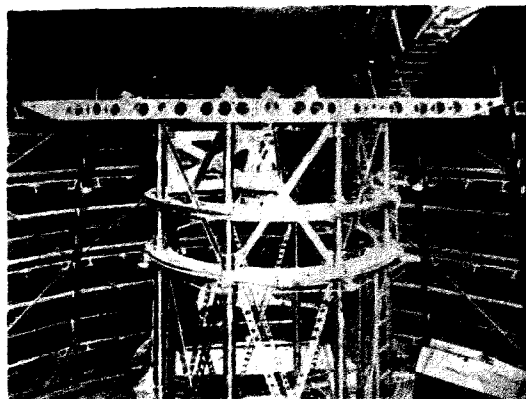


圖 71.

爲支此干涉儀器之具，光學能力之強大，尙非其致用之主因，是爲吾人所應注意者）。如圖70所示，星光射至活動外鏡  $M_1 M_4$  後，經其反射，至固定內鏡  $M_2 M_3$ ，前行達凹反射鏡  $a$ ，遇凸鏡  $b$ ，回抵傾斜平面鏡  $c$ ，離  $c$ ，光合於  $d$ ，置低率目鏡於此，干涉條紋即得窺見。轉動插入之平行平面玻璃片，則兩干涉光束之謀疊合，至易奏效；藉雙玻璃勞之助，調變兩程途，使達相等地位，亦不感棘手。用此結構，即令距離達極端之值爲20呎時，干涉條紋，猶保清晰。是即表明，縱有如此鉅大之分離，大氣之變化或振動與形變之干擾，對於觀測，咸無妨礙。

第一人致力於實際觀測，而獲有星體直徑之結果者，係威爾遜天文臺<sup>員</sup>匹斯 (F. G. Pease) 先生。天空星體，首蒙斯器之顧盼者，乃獵戶座內大紅星參宿四 (Betelgeuse)。當干涉儀之外鏡，距至10呎，干涉條紋，即行滅跡；惟窺他星——大將座  $\beta$  ( $\beta$  Persei) 與獵

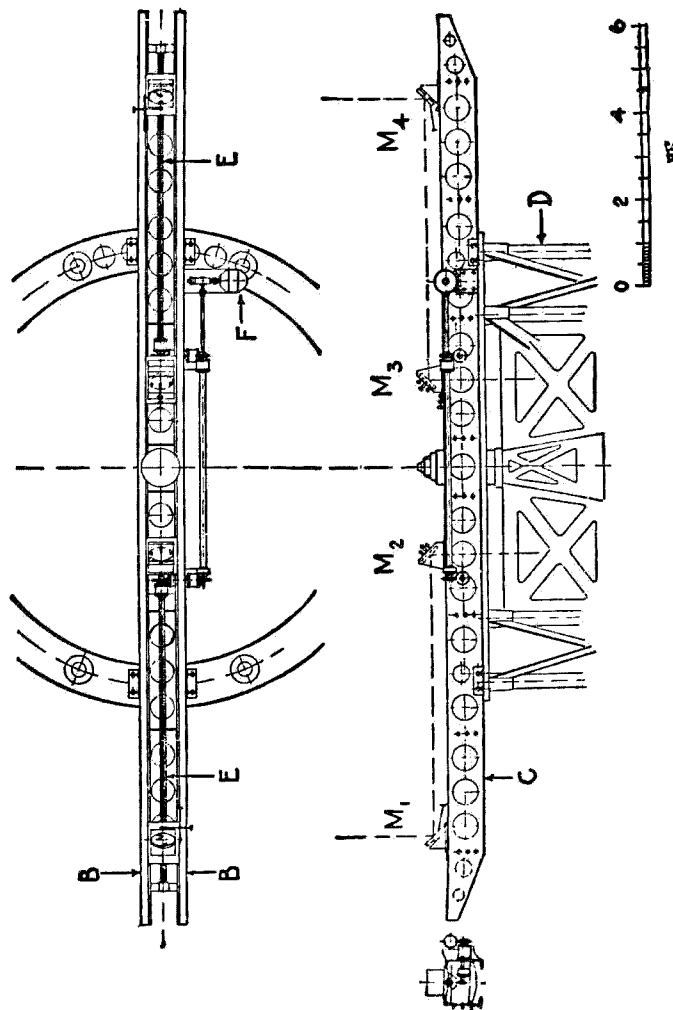


圖 72.

戶座  $\gamma$  ( $\gamma$  Orionis)，——鏡達上述距離，條紋仍現，足資觀測。

設光出自參宿四者，有效波長為  $5.75 \times 10^{-5}$  楊， $S = 121$  吋 (306.5 楊)，星之角度直徑  $a = 1.22 \lambda/s$  即  $0''.047$ 。用視差  $0''.018$ ，得直線直徑之長為  $240 \times 10^6$  哩 (約火星軌道之直徑)。

星面照度均勻之假設，乃上種計算之根據，惟是假設，不近事實，人盡知之，類似太陽之愈趨邊緣愈陳黑暗者，直徑估計之結果，應增百分之十七。他種星體，間有較大者——Arcturus，海怪座 O (Mira)，天蝎座  $\alpha$  (Antares)——亦繼參宿之後，經同法之考探，而得其直徑之值矣。

較大之干涉儀，底長50呎者，現正建設，50呎之長底，可使儀器能力之增高，約達二又二分之一倍。

## 第十二章

### 光之速度

光行速度，係自然界基本常數之最重要者。富柯與費佐兩氏量度之結果，謂光在空氣內速度，較在水中者為大；因此，波動學說，遂受擁戴，而微粒假設，斯遭擯棄。再者，靜電單位與電磁單位之比率，按諸實驗，顯近光速，此一結果，又予光之電磁擾動說，一有力之佐證。不僅如是，相對論者，對於光行速度，尤為重視，蓋光之速度，在任何情況下，總屬常數，乃相對論基本假設之一。

光速量度之首次嘗試者係伽利雷 (Galileo)。彼令兩觀測者，各居一地，距約數杆，人手一燈，燈具動帷；帷之啟閉，燈之明暗係之。甲揭帷放光，乙覩之，立啓帷，報以燈光。如甲揭帷與見乙復訊之間，確歷時晷（視覺與執行間之遲延，乃不可免者，應行計入），則以時間除距離，即得光之傳播速度。

以如是簡陋方法，自不足以測度此種非常微渺之時間，然斯法之原理，毫無瑕疵，確值重視；略加改良之後，遂成世人共仰之費佐氏方法。第一點之改革，係將乙觀測者易以鏡面。光之蔽露，不以一簡單屏帷司之，而以迅捷轉輪上距離相等之一組洞孔代替，此係第二點之改善。

汝梅 (Römer) 觀察第一木衛屢次之蝕，推得光行速度，時在

1675年；光速之實行決定，此屬創舉。兩蝕相間之期，本可計算，惟汝梅氏察覺：計算之值與觀測所得者，恆有年差。地木相距最遠較最近時，蝕期之遲延，達十六分二十六秒之巨①。汝梅論此遲延原因，謂係光穿地球軌道，應取時間之故。設徑長 300,000,000 杆，則需時一千秒，故光之速度，爲每秒 300,000 杆。

決定光速之又一法，創自布拉得來(Bradley)。1728年布氏嘗有如下之宣示：恆星在天之向，與其平均位置，必有周年視偏傾。此種現象，氏曾給以專名，曰『光行差』(aberration)。恆星位向，垂直於地球之軌道運動者，其方位，將循地動方向，發生偏斜，角度爲 $20''.445$ 。謂此移變，乃由有限光速造成，亦係布氏之推論。

將望遠鏡，正指恆星，當星光經過物鏡，到達焦點時，因地球之軌道運動，遠鏡已有移變；遠鏡既移，星像遂不復居叉絲之上，而退立其後。欲星像再與叉絲疊合，遠鏡勢必向前傾斜，成角  $\alpha$ ，其正切，爲地球行動速度與光速之比，即

$$\tan \alpha = \frac{v}{V} ,$$

因  $v = \pi D/T$  ( $D$  係地球軌道之直徑， $T$  為一年內之秒數)，故

$$\tan \alpha = \frac{\pi D}{VT} .$$

根據此式，光之速度，當可求得；但此法與汝梅法同，其精確度，視量得之日地距離 ( $\frac{1}{2}D$ ) 而定，概約百分之一②。

① 汝梅之原數爲 $22$ 分，此值顯覺太大。

② 利用行將敘述之方法，求得之光速，其精確度，達十萬分之一，故此法已被淘汰。惟此公式，尚可用以求日地之距離。

1849年費佐發表用實驗方法量得光速之結果，此殆前無古人者。兩天文遠鏡之物鏡  $L_1$  與  $L_2$ （圖73），分置二處，兩面遙遙相對。光源經平行平面片  $N$  之反射，於第一透鏡之焦點處，成光強體小之像  $a$ ， $a$  像之光，經第一透境，平行射出，度  $L_2$ ，斂於焦點，因遇平面鏡面  $M$ ，光乃循原道射回，造像與原像  $a$  相疊合，是可以目鏡  $E$  瞰之。齒距精確之齒輪  $W$ ，依均速旋轉， $a$  處之光，遂受其干阻。如光回至  $a$ ，適為齒蔽， $a$  像乃掩；苟調節  $W$  之速度，使光再返至  $a$  時，正值齒輪之空隙，則光可復現，如是繼續試驗，得見  $a$  像之忽明忽晦。

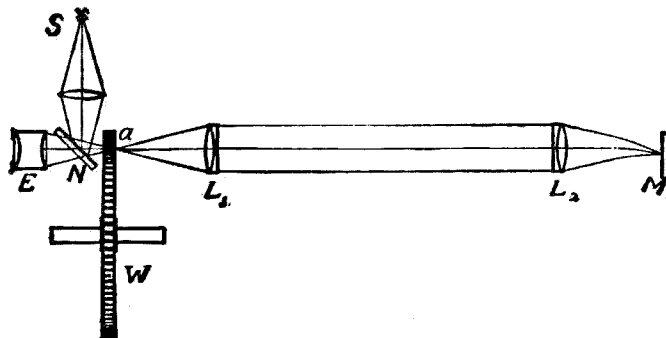


圖 73.

令  $n$  為齒數， $N$  為每秒輪轉之次數， $K$  為光行兩倍距離  $D$  時輪齒轉過之數目，

$$V = \frac{2NnD}{K}.$$

因記識最小強度較最大者為易，故如  $p$  係光之掩蔽級次，

$$K = \frac{2p-1}{2}.$$

令  $\delta K$  為記核  $K$  時所含之差(實即考核強度曲線之上升枝與下降枝上強度相等之差誤)，乃有

$$\frac{\partial V}{V} = \frac{\partial K}{K}.$$

可見  $K$  之值，應使大於吾人所能辦到之地步，以減低差誤。費佐實驗中， $K$  值為 5 至 7，結果之正確度，理應達到三百分之一，但其答數，較公認者，實已增大百分之五。

1872 年柯留 (Cornu) 之實驗，較為準確，所用  $K$  值，自 3 變至 21，柯氏結果，為 300,400，內含或差，約百分之一十分之一；李斯丁 (Listine) 對此實驗，有所討論，並曾說明，如將速度變大，上值可以減削，渠所認為正確值之極限，係 299,950，但白羅丁 (Perrotin) 以同樣儀器，得值 299,900。

費佐實驗，尚未宣告結束，哀饒哥 (Arago) 已另有建議。彼謂惠斯頓 (Wheatstone) 量度電流傳播速度之旋轉鏡，此處實可利用。哀饒哥對光速問題，感有重大興味者，因苟量度光速之法精善，光在空氣與水中之相關速度，即可決定，而波動微粒兩說之是非，亦得以明。氏並指出，彼所倡法，實有計量絕對速度之可能。

氏之計劃，乃比較兩種光之偏傾；一係電花射出之光，直接經旋轉鏡面之反射者，一為行經一段空氣(或水)後，再受反射者。兩反射像現示之方向(在  $360^\circ$  內任何一方)，至無一定，此係本實驗最感困難之點。惟 1862 年富柯氏精巧之實驗出，上述困難，立獲解決。蓋鏡面無論如何旋轉，返回之光，射向不變，是富氏實驗中巧妙之點，亦即

解決上述困難之方也（但因遲延所生之偏移，係吾人所欲量度者，當不在內）。

儀器佈置之實況，述之如下：

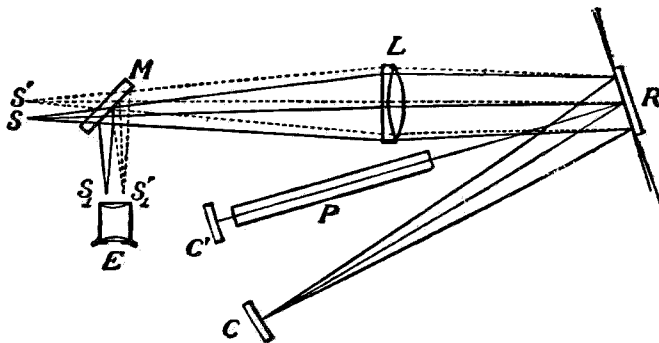


圖 74.

光自光源  $S$  射出（圖74），落於物鏡  $L$ ，前進抵轉鏡  $R$ ，反射至凹鏡  $C$ （其中心在  $R$ ），光源之實像，遂成於斯；旋又依循舊道，回歸原處，造成真像，與光源合；轉鏡縱有小動，此情永無更易。但部分之光，業經平行平面鏡  $M$  之反射，造像於  $\alpha$ ，測微鏡之目鏡  $E$ ，倘設於斯，光源之像，即可窺見。

茲設轉鏡迴旋甚速，則反回之像，將不復居原位，而向轉鏡所轉之方向，發生偏移；偏移之值，為光線兩度過鏡期間，鏡轉之角之兩倍。如令此角為  $\alpha$ ，鏡間距離為  $D$ ，轉鏡每秒轉動之次數為  $N$ ，則

$$\alpha = 2\pi N \frac{2D}{V}$$

或

$$V = \frac{4\pi ND}{a}.$$

在原理上，兩法無別。此處之  $a$  相當於齒輪法之齒數  $K$ ，即  $a = 2\pi K/n$ ，故前得之公式  $V = \frac{2NnD}{K}$ ，與轉鏡法所得之  $V = \frac{4\pi ND}{a}$ ，實無亂異。惟後法確優於前法，長處所在，與直接讀電流計之針指數不如用返光法者，絕相類似。

但從他方面着想，齒輪法之另一重要優點，絕難掩沒。蓋用該法，反回像之強度，約及不用齒輪者之半，而在轉鏡，此一分數，減爲  $\frac{n\beta}{rD}$ （如鏡有  $n$  小面），式內  $\beta$  為凹鏡之徑口， $f$  為鏡之焦距， $r$  係轉鏡與狹縫之距離， $D$  乃兩地之距離。

富柯實驗， $D$  之最大值，僅爲二十呎（由凹鏡五次反射得來），如鏡轉之速度，係每秒五轉，則  $a$  之倍值，爲吾人所尋求者，不過  $160''$ 。此法精確之極限約爲一秒，是富柯實驗，在此情況下，精確之度，難望到達一百六十分之一。富柯之結果爲 298,000，得值過小，其所差者，殆已達一百六十分之一矣①。

欲使  $2a$  之值甚巨，俾量度可精，則所用距離，應令增大。下之計劃，能符斯望，蓋疊次試驗（1878年）， $D$  之距離，皆達七百呎之巨，而七百呎者，尚非其限，再事增加，仍屬可能。

新裝置中，成像之透鏡，係居兩鏡面之間，並爲謀回像強度最大

---

①  $D$  之距離，斷斷以 20 呎爲限者，除去徒謀便利之原因外（因實驗室之範圍故），自轉鏡直接反射而生之光條與回像相比時之相關的強度，實亦限制  $D$  值而不令其過大也。在富柯實驗中，光條係疊加回像之上，回像之強度，與距離之立方成反比，而光條者則始終不變。

計，透鏡與轉鏡距離，應適等於透鏡之焦距，是以長焦距之透鏡，勢所必須。又因量得之半徑  $r$ ，係由  $r = \frac{f^2}{D}$  而得（藉  $\delta = r \tan \alpha$  之關係，可由  $r$  推知  $\alpha$ ， $\delta$  者乃量得之影像移變），故  $r$  與  $f^2$  成比例， $f$  係透鏡之焦距。在實驗時，焦距 25 粹直徑 20 條且無色差之透鏡，乃常用者。用此透鏡後，縱令轉鏡遠離主要之焦點，回光強度，當仍十足充足。

有如是巨大之移變，富柯裝置內之傾斜平行平面片，可以撤消，而直接實像，得以目觀。旋轉速度，苟係每秒 250 至 300，則得 100 至 150 粪之移變，此種距離之量度，差誤當小於萬分之一。

量計  $D$  長，並無困難。用鋼帶尺度之，即獲結果。惟尺之伸長與膨脹係數，必經精確決定，而尺之長，亦必與標準糾副樣，在標準狀態下，作一比較。考核之或差，約 1 : 200,000 之譜。

量計旋轉速度，法頗有趣。觀測電動音叉與轉鏡之光學的『拍』(beat)，同時使偏移之像與目鏡叉絲，始終疊合；司是職者，爲手制之射氣機，機可動轉輪，輪則附於轉鏡。音叉振動數加每秒『拍』數，乃得每秒旋轉數，惟此數值，係以音叉率表之者，倘歷時非至促，此數不可依信。故在量度之前後，所用之音叉，須與標準音叉，其溫度係數已確定者，互相比較，而標準音叉，復須與自由鐘擺作直接之比較，法如下：

鐘擺與電池及感應機之原線圈串連一系，原線圈電路中置有鉑製刃口間阻，刃口附於鐘擺，鐘擺經過一粒汞珠。感應機副圈送出之閃光，行經真空之管，遂燭音叉之緣且照窺微鏡之叉絲。如擺動一次，

又振數目，適爲整數（256），則叉緣視若靜止；振數微增，叉緣即生移變，移變係有循環性者，設率數每秒爲  $n$ ，於是音叉之率，每秒遂爲  $N \pm n$ ，此所謂秒，係自由鐘擺所示者，自由鐘擺復應與天文鐘相較❶，手續始稱完竣，結果之準確度爲 1 : 200,000。

根據上法，決定光速，情況相同而時地互異之兩番實驗，曾經舉行，兩次結果之均值爲 299,895。

1882年劉控貝（Newcomb）改易富柯裝置，用測光速。最大改良，即旋轉鑄質稜鏡之見用。稜鏡橫截面係正方形，鏡長爲闊之倍，平面鏡上各部之光，經其收發，直接反射之影響遂絕。不僅如是，此方法中，尚有計量偏斜之妙策，而鏡轉速度，亦克詳載記時圖上，以資考核。該圖係附於一組齒輪，齒輪又與輪鏡連屬。劉控貝之結果爲 299,860.

富柯裝置之初旨，本在解決光行水內與馳騁空中相互速度之間題。因此，裝水之管，兩端配有平行平面玻璃片者，勢必加入。倘光在兩質中，速度相等，行見雙雙回像，疊合無間，布置適當之光闌，兩像又形分判，如速度有別，則兩像循旋轉之方向，生相對之移變。按之實驗，光經水者，移變較大，是知光行水中，速度較遜。此一結果，殆爲波動說所承許而爲微粒說所否認。

富柯實驗，除於性情方面，得有結果外，他無所及，設能作進一步之探討，不獨推得光速在水較在空氣爲慢，且證兩種速度之比，確爲液體之折射指數，則尤快人心。用水實驗後，所得結果，與折射指

❶ 此種天文鐘，個別之「秒」，雖或有小變動，而其平均拍節，可絕對不更。

數，相差極微。但易水爲二硫化炭，得比爲 1.75，並非折射指數 1.64，差訛太甚，不得推諉於實驗應有之誤。

銳聶爵士對此差誤，持有解說，述之如次：在齒輪法中，干擾之傳播，形成獨立波羣。銳聶宣稱，波羣速度，與單獨之波異，時忽同者，特所經媒質，無色散之性耳。波羣之最簡形，可從兩簡單諧振波組着想，此兩波組，頻率稍差，波長微異。茲令

$$y = \cos(nt - mx) + \cos(n_1 t - m_1 x),$$

內中  $n = \frac{2\pi}{T}$ ，並  $m = 2\pi/\lambda$ ， $T$  係周期， $\lambda$  為波長。再命  
 $n - n_1 = \partial n$ ，及  $m - m_1 = \partial m$ ，於是

$$y = 2 \cos \frac{1}{2}(\partial nt - \partial mx) \cos(nt - mx).$$

此則代表一組波羣，狀如圖75所示。

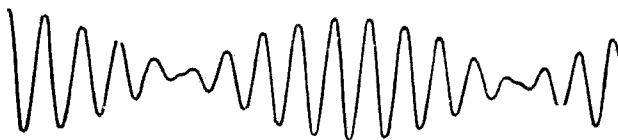


圖 75.

諸波速度，係一比率( $V = n/m$ )，但羣之速度（例如：最大或最小點傳播之速度）將爲

$$V' = \partial n / \partial m,$$

又因  $n = mV$ ，

$$V' = \frac{\partial(mV)}{\partial m} = V + m \frac{\partial V}{\partial m} = V \left(1 + \frac{m}{V} \frac{\partial V}{\partial m}\right),$$

更因  $m = 2\pi/\lambda$ ，

$$V' = V \left( 1 - \frac{\lambda}{V} \frac{\partial V}{\partial \lambda} \right)。$$

此種推論，不獨在上述之特殊波羣形狀時，始為真實，即據符恢氏定理，應用於任何波羣，亦屬正確。

上述公式，謂可直接用於轉鏡法之量度，殊非十分明瞭。銳聶曾謂光因感受杜氏效應，光束自轉鏡反射者，一邊之波長變短，他邊增長；又因在色散媒質內，傳播速度，唯波長是賴，故單獨波而，發生旋轉。

如  $\omega$  為鏡面旋轉之角速度， $\omega_1$  為色散的旋轉之角速度，

則 
$$\omega_1 = \frac{dV}{dy} = \frac{dV}{d\lambda} \cdot \frac{d\lambda}{dy} ,$$

$y$  係對旋轉軸之距離。但

$$\frac{d\lambda}{dy} = 2\omega \frac{\lambda}{V} \quad \therefore \quad \omega_1 = 2\omega \frac{\lambda}{V} \frac{dV}{d\lambda} .$$

實際觀測所得之偏移，為

$$T(2\omega + \omega_1) ,$$

$T$  係光行  $2D$  一段長所需之時間；將  $\omega_1$  代入，並將  $T$  變為  $\frac{2D}{V}$ ，則

上式成為 
$$\frac{4D}{V} \omega \left( 1 + \frac{\lambda}{V} \frac{dV}{d\lambda} \right) ,$$

故量得之速度係

$$V' = V \div \left( 1 + \frac{\lambda}{V} \cdot \frac{dV}{d\lambda} \right),$$

茲僅計及小量之第二級，

$$V' = V = \text{羣速①}.$$

採用能見光譜上平均之波長，二硫化炭之  $\left( 1 + \frac{\lambda}{V} \cdot \frac{d\mu}{d\lambda} \right)$ ，值等於

$$0.93。 \text{ 則 } \frac{V_0}{V} = \frac{V_0}{V} \cdot \frac{1}{0.93} = \frac{1.64}{0.93} = 1.76$$

此與實驗所得者，完全相符。

### 光速之最新計量法

光行速度，以轉鏡法測定者， $V$  之式內 ( $V = 4\pi ND/2$ )，應量之值有三：曰  $N$ ，鏡轉之速也；曰  $D$ ，兩站之距離也；曰  $\alpha$ ，鏡之角度移變也。前已曉示， $N$ ， $D$  兩值，準確之度，約達十萬分之一。但量度  $\alpha$  之方術，難期臻此佳境。斯乃量度中困難之點。惟將旋轉鏡形，改成三稜狀，且令兩站距離，異常遼遠，俾反回光線，在三稜鏡次下面之反射，角度相同，則此種困難，即可泯滅。是蓋劉控貝氏建議之方策②也。

下文所述，爲一種嘗試之節要，以期實現前之計劃者。兩站地點，係採威爾遜山，與恩托利阿山 (Mount San Antonio)，山址

① 吉貝司 (J. W. Gibbs) 曾稱量得之速度，謂爲確係波筆者，非僅爲一種近似也 (見 *Nature*, 1886.)。

② 見航海通書局出版之『光速之計量』。

近帕塞登拉(Pasadena)；兩山相距，約三十五杆。因此，鏡轉速度，應達每秒1060轉，而光之跋涉程途往返兩次時，鏡之角度移變，應及 $90^\circ$ ；如速度減半， $45^\circ$ 之角已足，故旋轉之鏡，可作八角形❶。各角應等，精確程度，至少須達到我人所希望者。

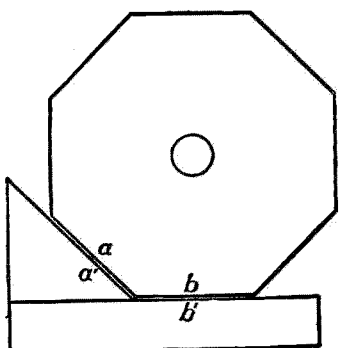


圖 76.

謀角精確，方法如下：面極光滑

角近準確之八角體，置於考核角  $a' b'$  之上(圖76)。 $a' b'$  係由  $45^\circ$  此之三稜鏡與真平面黏結而成。在單色光中觀測干涉條紋，以謀  $bb'$  兩面之平行。 $aa'$  兩面，常非平行，其間角度，可以干涉帶之距離與傾斜量度之。同法施於八角，琢之磨之，務俟八角所生干涉帶之距離與傾斜，皆完全相同，始告竣事；斯時八角，幾相等矣。遵依此法，製成之八角體，含有均差，約百萬分之一，是僅有二十分之一秒之十分之一耳❷。

從旋轉鏡面發生之直接反射光與散射光，對於實驗，咸有妨礙。轉鏡稍偏，反光斯泯，前已述及；致希散射光之消除，反回光應與射出者，不同一面，乃最要之端。

再者，欲求射入光與遠立鏡，互相垂直，亘久不變，實非易事；

❶ 利用八面鏡，結果之強度，較用旋轉平行平面鏡盤所得者，當加強四倍。

❷ 鏡急轉時，當生畸變，如造鏡之物（在現例為玻璃），質極均勻，此種畸變，僅產極小曲度，使鏡之焦點，稍有變易。

爲省卻此種麻煩計，反於原站之光，固仍可依費佐實驗中之佈置，毋加改易，但最宜注意者，厥爲聚斂光束，必須準射於小平面（最好爲凹形）鏡之上，而此小鏡係置於較遠之進光鏡之焦點處者，

猶有進者，射光與收光之進光鏡，全用塗銀鏡面，較用透鏡，撙節殊多。

圖77所示儀器之佈置，確能適合上項各種之需求。

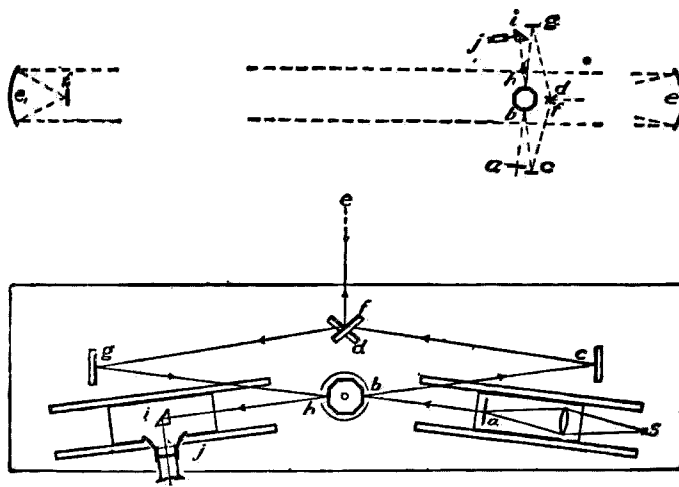


圖 77.

（光路爲  $a, b, c, d, e, f, g, h, i, j,$  ）

以威爾遜山爲起站，相距 22 哩之恩托利阿山爲終站，實驗三次。電動音叉之振率爲 132.25，如轉鏡速度爲每秒 529 轉，則轉鏡之駐像有四。每次觀測時，音叉應與自由鐘擺比核，擺率之正值，又係與海陸測量局內業經校正之「因乏」(invar) 摆較考而得者。

1924年八次之量度，得

$$V_a = 299,735.$$

他一組觀測，係以電動音叉直接與因乏擺比較者①，此實驗舉行於 1925 年夏季，得

$$V_a = 299,690.$$

易電動音叉以自由音叉，振率 528，用『三極管電路』，保其振動，是可令叉之振率較屬穩定，所得結果爲

$$V_a = 299,704.$$

以 1, 2, 4 三值，分乘上三結果而平均之，得光在空氣中之速度爲

$$V_a = 299,704.$$

加以 67 杆之校正，將光速變爲在真空中者，得  $V = 299,771$ 。

上之結果，仍非定值， $D$  之估定，實可左右之。此兩站距離之量計，亦係由海陸測量局所舉辦，深望前項工作，重復舉行，以求更進一步之精確。

又如轉鏡增大，則像可較定，光可較強，而轉速亦得更穩；是結果之進一步的準確，尚非無望，惟姑待異日之努力耳。

### 最後量度

佈置仍舊而轉鏡不同之實驗，1926 年曾經舉行。

首用之鏡，仍屬小八角形，質料係玻璃，與前者無別，是年所

---

① 所謂直接比較之法，係令光經狹縫，射於附在擺上之鏡面。狹縫之像，係由最好之消色透鏡造成，像居音叉一側之平面內，用尋常目鏡，可窺探之。

獲之  $V$  值為 299,813。此值乘二，上次結果乘一，平均之，得值 299,799。

他種轉鏡為吾人所採用者，係八角銅質鏡，12角玻璃鏡，十二邊銅質鏡與十六邊玻璃鏡等。

所得結果，統記之如

表 7

每秒旋轉次數	鏡類	觀測數次	真空內之光速
528	玻璃 八 面鏡	576	299,797
528	銅質 八 面鏡	195	299,795
352	玻璃 十二 面鏡	270	299,796
352	銅質 十二 面鏡	218	299,796
264	玻璃 十六 面鏡	504	299,796

均值 299,796±1

量度  $V$  值，各種可信之結果，記如表 8，表內並載有兩站之距離，採用之方法，及各個應乘之平均數量。

表 8

作 者	兩站距離	方 法	均 乘 量	光 速
柯 留	23 杆	齒 輪	1	299,990
白羅丁	12	齒 輪	1	299,900
M <sub>1</sub> 與M <sub>2</sub>	0.6	轉 鏡	1	299,880
劉 振 貝 <sup>①</sup>	0.5	轉 鏡	3	299,810
M <sub>3</sub>	35	轉 鏡	5	299,800

① 劍 振 貝氏所得之值，苟廢去諸多不妥協之觀測，應為 298,860 c

# 第十三章

## 媒質運動對於光行速度之影響

### 一級影響

媒質運動與光速之影響，得邀物理學家之注意者，哀銳氏之一實驗，實啓其端。氏之實驗目的，本在考核波動說對於光行差問題之一種純理的結論。根據波動說。光行差之正切，應等於地球繞日之速度與光行速度之比。設媒質之折射指數為  $\mu$ ，則有關係式

$$\tan \alpha = \mu \frac{v}{V} ,$$

苟觀測遠鏡，內實以水，光行差之值，顯為在空氣中者  $\frac{4}{3}$  倍。此種實驗，哀銳曾實行之，惟所得光行差，值仍如舊。

佛銳列所倡議解辯此種困難之法，乃根據於一種假設。其說謂發光媒質因媒質之運動，攜以俱行。然其行運之值，祇達媒質運動之一部分，其分數為  $\rho = \frac{\mu^2 - 1}{\mu^2}$ 。是稱為佛銳列係數。倘以上述無結果之實驗作基礎，則  $\rho$  之值，可按下法導出：

命  $ac$  (圖78)為平面波，射自星體，而達於觀測遠鏡之物鏡，因地球有循  $v$  向之運動，遂成傾斜之角  $\alpha$ 。光線自物鏡兩側  $a$  與  $c$  射出者，行抵  $o_1$  時，位相相同 (與在他種情況時無別)，故歷時相等，於是

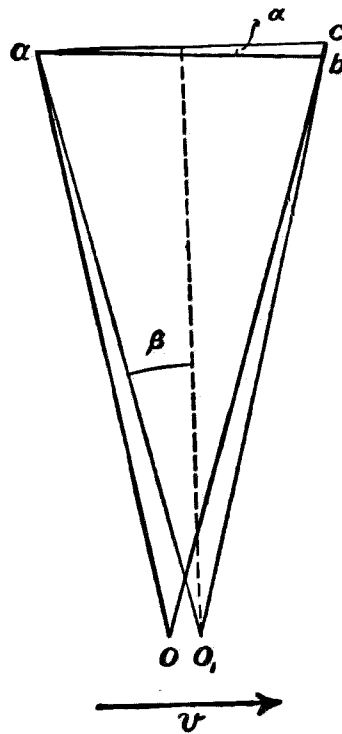


圖 78.

$$\frac{ao_1}{V_1} = \frac{cb}{V} + \frac{bo_1}{V_2}$$

內中

$$V_1 = V/\mu + \rho v \sin \beta$$

$$V_2 = V/\mu - \rho v \sin \beta$$

$\beta$  係遠鏡之半徑口，代  $ao$  以  $(ao, +\infty, \sin \beta)$  及  $bo$  以  $(ao - \infty, \sin \beta)$ ，

並知

$$\frac{oo_1}{ao} = \mu - \frac{v}{V} = \mu a$$

則得

$$2\mu a \sin \beta (1-\rho) = \frac{bc}{\mu \cdot ao}.$$

但  $2ao_1 \sin \beta$  等於物鏡之直徑  $ac$ ，是以

$$\mu a (1-\rho) = \frac{bc}{\mu \cdot ac} = \frac{a}{\mu},$$

即

$$\rho = \frac{\mu^2 - 1}{\mu^2}.$$

根據駐定以太之假說，地球運動之考察，可無待從事天體之觀測而自明。多種實驗，均經嘗試，下所引述者，蓋其一焉。

干涉儀之佈置如圖 79。干涉光束之路程中，置一長度為  $D$  之玻璃三棱鏡。設全部儀器，循  $D$  長運行，兩光束繞行一匝之時間，可以計求如下：當光經玻璃時，儀器業有移動，其前進之距離為  $\delta = \frac{\mu v}{V(D+\delta)}$ ，取適當之近似值，則

$$\delta = \mu \frac{v}{V} D,$$

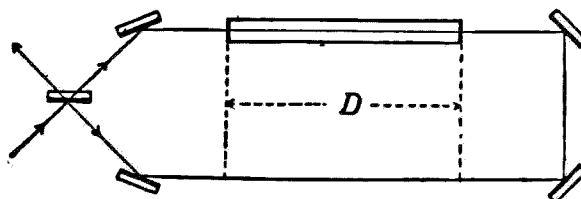


圖 79.

如在相當之空氣途中，儀器之移動必為

$$\delta_0 = \frac{v}{V} D \circ$$

是則

$$t_1 = \frac{D + \delta_0}{\frac{V}{\mu} + \rho v} + \frac{D - \delta_0}{V} ;$$

同理，光行一週，而方向相反者，

$$t_2 = \frac{D - \delta_0}{\frac{V}{\mu} - \rho v} + \frac{D + \delta_0}{V} \circ$$

惟令全部儀器旋繞  $180^\circ$ ，干涉條紋，未見移變，乃知  $t_1 = t_2$ 。

即

$$\frac{\frac{1+\mu}{V} \frac{v}{V}}{\frac{1+\mu\rho}{V} \frac{v}{V}} - \frac{\frac{1+\mu}{V} \frac{v}{V}}{\frac{1-\mu\rho}{V} \frac{v}{V}} = \frac{2 \frac{v}{V}}{\mu}$$

如僅計及微量之第二級，

$$1 - \rho = 1/\mu^2$$

或

$$\rho = \frac{\mu^2 - 1}{\mu^2} \circ$$

是知考核地球對於明亮以太相對運動之企圖，縱無結果，而佛銳  
列係數，實可從茲導出。根據純粹理論，推繹此種比率，需要迫切，  
故特伸述如下：

愛生洛耳 (Eisenlohr) 係第一人研究最力者，其法如次：設一玻

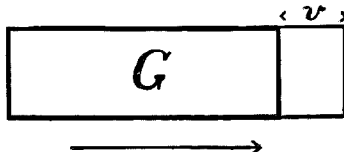


圖 80.

璃三稜鏡  $G$  (圖 80)，斷截面爲一，折射指數爲  $\mu$ ，以速度  $v$  循箭向進行。命稜鏡外以太之密度爲一，內者爲  $1+\Delta$ 。歷單位時間，空間  $v$  內，引進之以太，質爲  $m=v\Delta$ 。

但據攜帶之假設 (entrainment hypothesis)。以太之增引質量，可表以  $m=v\rho(1+\Delta)$ ，故

$$\Delta=(1+\Delta)\rho \circ$$

因  $\mu^2$  等於稜鏡內外以太密度之比率 (設彈性不變)，

故  $\mu^2=\frac{1+\Delta}{1} \circ$

則  $\Delta=\mu^2-1$

代入上式，遂有  $\rho=\frac{\mu^2-1}{\mu^2} \circ$

物質分子作用球外之以太，不受上項運動之影響，言屬假設，而下之推論，乃依此假設立說者。設循運動方向，分子攜帶之以太空氣，直徑爲  $a$ ，並令  $b$  為兩分子間之 (平均) 距離。當光行距離  $a+b$  時，此系統跋涉之長已爲  $a+\beta$ 。如  $\nu$  為分子內之折射指數，

$$a=\nu \frac{v}{V} a$$

$$\beta=\frac{v}{V-v} b \circ$$

於是光在物質內平均速度爲

$$V = \frac{a+b+a+\beta}{\frac{a+\beta}{v}} = v \left( \frac{a+b}{a+\beta} + 1 \right)。$$

若  $\mu$  為靜媒質之折射指數，因媒質內光學途程爲  $va+b$ ，

$$\mu = \frac{va+b}{a+b}$$

故  $va = \mu(a+b) - b$ ，代入前式，即有

$$V = \frac{V}{\mu} + \left( 1 - \frac{1}{\mu^2} \cdot \frac{b}{a+b} \right) v。$$

括弧內之值量，相當於挾帶之係數 ( coefficient of entrainment )，  
 $a/b$  比率愈微，該值愈近佛銳列係數①。



圖 81.

佛銳列係數，雖可自無結果之實驗與純理之考究，推繹而得，第欲欣然接受其結論，仍覺困難。惟自費佐精奇之實驗出，上述結論，旋經證實。費佐實驗中，有兩束光，穿過相反流動之液柱，如圖81所示；因此，干涉條紋，發生移變，移變之量，與理論上所希冀者，大致相符。

① 反之，如  $b=0$  (分子相觸)，則  $\mu=v$ ，而  $\rho'=1$ ，但佛銳列之  $\rho=1-\frac{1}{\mu^2}$ 。

*TT* 管內水流反向之變壓，必生畸變，畸變對於干涉條紋之影響，較水流為巨，是以干涉條紋，如在 *f* 處觀測，後者所產之移變，將為前者所掩。欲杜斯弊，費佐曾在 *f* 處懸一平面鏡，令光返至光源，再行觀測，惟返光之一部，已在 *S* 處，經平行平面玻璃片之阻，旁射而出。

費佐求得移變之量，竟與佛銳列係數相當；於是光波行動，受水行速度部分的而非全體的影響，速度變大，從茲證實矣。

鑒夫此問題之基本的重要，及地球以太相對運動可否考探之急待解決，費佐實驗，理應重行舉辦，期免其工作中之困難與失確，困難與失確之曉著者，臚舉如次：干涉儀之徑口，宜極細狹，故光之強度，異常微弱，觀測維艱，此困難者一；兩干涉光束，應極近似，換言之，水柱寬度，須加限制，不然，干涉光束以大角相值，干涉條紋，即細不可辨，非加特殊之放大，勢難觀測，而特殊放大，又令光之強度，更行低減，此困難者二；利用面積之較小部，俾速度之近於常數，手續煩難此其三；以觀測所得之平均速度，表最大速度之值，結果失真，此其四。有此四難，方法之待改造，迫不容緩。

苟干涉儀器，依圖 82 裝置，之四困難，消失無遺。圖 83 表明水道，此與干涉儀器（駕於磚柱之上），不相連屬，活門之佈置，用以轉變水流方向者，亦詳於圖。接水之箱。貯以已知容積之水，需時若干，精細計求之，再以箱管兩斷面之比率乘之，乃得平均水流速度。欲獲速度之最大值，可以小皮陀第 (Pitot) 管，量水流壓力，事先尚須作一校準表，俾得一致記錄，從茲可見壓力與速度之平方根成正

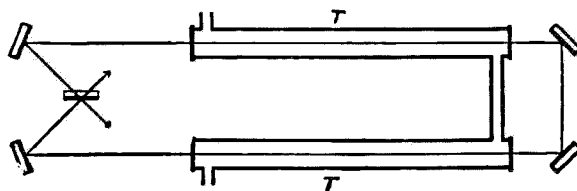


圖 82.

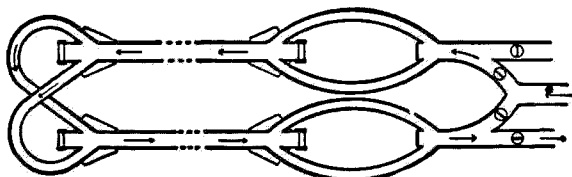


圖 83.

比例。惟沿水管半徑之速度，非復如是，其關係式爲  $v = v_m(1 - x^2)^n$ ，  
 $v$  係在半徑上  $x$  點之速度， $v_m$  為速度之最大值， $n$  之值係 0.165。是以平均速度，可求得如下：

$$\bar{v} = \int_0^1 2\pi vx dx$$

而

$$v_m = 1.165 \bar{v}$$

$L$  之長設爲 3 粄，速度設爲每秒 8 粄，則干涉條紋之移變，約條紋闊度之半。再以 6 粄之  $L$ ，7 粄之速度，作第二組實驗，移變之值約條紋闊度之 0.9 倍

兩方向時間之差爲

$$\partial T = \frac{L}{V/\mu - \rho v} - \frac{L}{V/\mu + \rho v} ,$$

捨微量之第二級，

$$\partial T = \frac{2L\mu^2\rho v}{V^2} .$$

水流反向，上值倍焉，故干涉條紋之移變係

$$\Delta = \frac{V\partial T}{\lambda}$$

$$\text{或 } \Delta = \frac{4L\mu^2\rho v}{\lambda V}$$

$$\text{亦即 } \rho = \frac{\Delta\lambda V}{4J\cdot\mu^2 v} ,$$

最後之結果，

$$\rho = 0.434 \pm .02$$

$$\text{而 } \frac{\mu^2 - 1}{\mu^2} = 0.437 .$$

嗣後羅倫慈(Lorentz) 又依理論據實驗，對此問題加以深究，羅氏結果爲

$$\rho = \frac{\mu^2 - 1}{\mu^2} - \frac{\lambda}{\mu} \cdot \frac{d\mu}{d\lambda} = 0.451$$

此與前者相差，仍在實驗允可訛誤之中。羅氏實驗結果，當屬正確之值。

由此可見，上述明顯之結果，在實驗與理論兩方面，俱得充分之

證實，且觀夫前敍兩種情況，深知地球與以太相對運動之考核，爲不可能。羅倫慈對此結論，尙有較爲普遍而更完滿之證明，其所顧計者，至少包含一級諸項。

### 二級影響

麥克司威爾 (Maxwell) 首先指出：一級影響，雖非實驗所克表彰，而影響之有賴於二級者，測驗之事，則非絕不可能。但此微量，是否可考，渠尙表示疑慮，蓋此值量，約近光行差平方之譜，是即千萬分之一也。

光波長度，眇小異常，以萬萬波相聯，其長僅50糹；但如干涉儀之佈置，係用適當平面之鏡，取重複反射之法，則儀器之佔地毋多，而移變之生於二級影響者，恆能產生，且易量度。

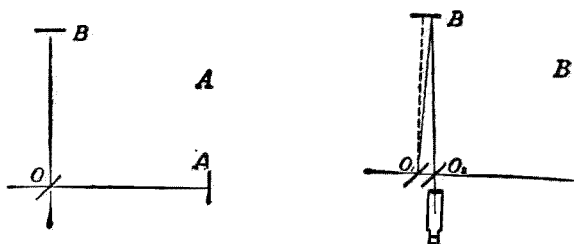


圖 84.

$OA$ 與 $OB$ (圖84 A)爲干涉儀之兩臂， $A$ 及 $B$ 處，各置平面鏡一，光經 $O$ 處之平行平面且塗薄銀之玻璃片後，一部反射，一部透過，遇 $A$ ,  $B$ 各復反回；如 $OA$ 居地球運行之方向，則光自 $A$ 回至 $O$ ，較

自  $B$  回者，取時爲長。光線回至半塗銀片，行經之路程，實爲

$$D + \partial_1 + D - \partial_2,$$

當光未達  $A$  時， $A$  行之距離爲

$$\partial_1 = \frac{v}{V-v} D,$$

光未返  $O$  時， $O$  行之距離爲

$$\partial_2 = \frac{v}{V+v} D.$$

捨棄四級之微量，全距離應爲

$$2D_1 = 2D \left(1 + \frac{v^2}{V^2}\right).$$

除上述者外，其他路程，當亦受此運動之影響；故謀返回之光適與平面相值，光行之實徑，將爲  $O_1BO_2$ （圖 84 B），而

$$O_1O_2 = 2Dv/V,$$

於是

$$O_1BO_2 = 2D \sqrt{1 + \frac{v^2}{V^2}},$$

取同前之近似值，

$$2D_2 = 2D \left(1 + \frac{v^2}{2V^2}\right)$$

兩路相較，乃有程差，表以波長，即得

$$\Delta = \frac{D}{\lambda} \frac{v^2}{V^2}.$$

旋轉  $90^\circ$ ，使兩方向互換，則干涉條紋之移變，爲吾人所希冀者，將

$$\text{屬 } \frac{2D}{\lambda} \frac{v^2}{V^2}$$

欲謀坐因外力（主要者如旋轉發生之畸變）所產之移變，值量減削，干涉儀器應裝於石磚之上，磚面 1.5 平方呎，厚 .25 呎，磚止於圓形木環，環負全器，浮於水面（如圖 85）。石磚四角，各具四鏡，*ddee*（圖 86）。石磚中央，立有平行平面而塗薄銀之玻璃片 *b*。各件排列有序，使光發於阿桿得（Argand）燃燒燈 *a*，度透鏡，達 *b* 片，一部透過，他部反射；進行路線，如圖所示。結果之干涉條紋，得以望鏡 *f* 窺視之。*f* 與 *a* 咸隨石磚而俱轉。

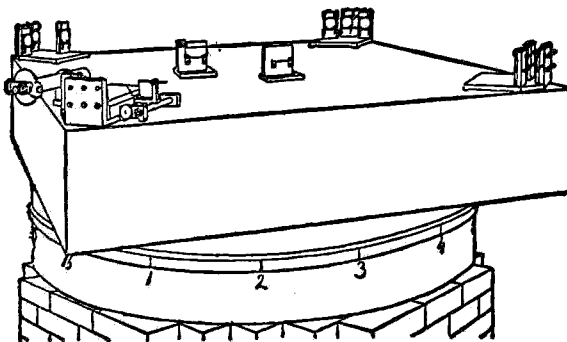


圖 85.

保持均勻與連續之旋轉，每隔一轉之十六分之一時間，觀測中部條紋之位置一次，所得記錄，幸甚一致，其平均值，示如圖 87，圖中虛曲線，係表理論移變值之八分之一者。

吾人茲敢斷言：根據實驗，移變之值，從未超越 0.01 倍條紋之闊者，僅就地球在軌道上運動而言，其當相之移變，已達  $2D/\lambda v^2/V$

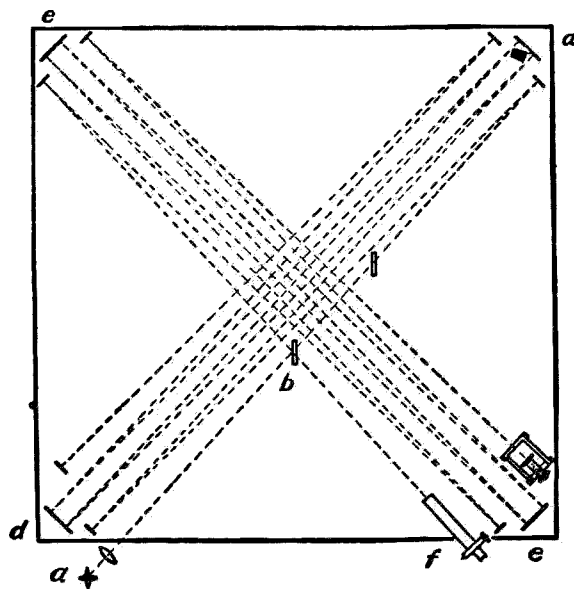


圖 86.

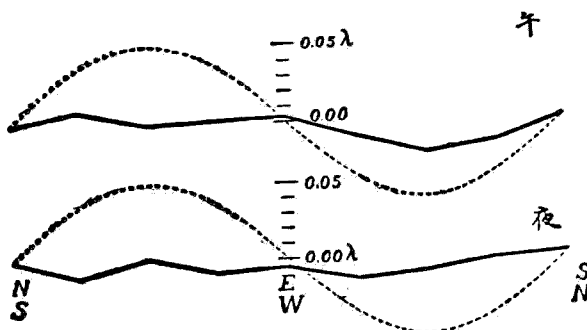


圖 87.

之數。距離  $D$  約 11 粹或即黃光波長之  $2 \times 10^7$  倍，取  $\frac{v}{V}$  之值為  $\frac{1}{10,000}$ ，則移變之值已 0.4 倍於條紋之闊，而實際量得者，尚不逮此值之 20 分之一，甚或小於 40 分之一焉。

上之推論，僅從地球軌道之行動着想，設此行動，與全部儀器之運行，有互相抵消之機，則移變之不克顯著也宜矣，惟莫列與密勒 (Miller) 兩氏亦曾以較大儀器，作兩度觀測，而所得結果，仍係無結果之證實。

由是以觀，身居地面，從事觀測，地球與以太任何相對之運動，必無所見，理實彰然。但一旦身離地面，踞山之巔，重事佈置，再行實驗，則所得者，或異往昔<sup>●</sup>。誠如是也，則謂高出地面 10 哩或 10,000 哩之空間，所稱挾帶之說者，即全形消失，似屬合理。且於平行地球運動之縱面上，裝設干涉儀器，此相對運動之稍稍減削，亦足矚干涉條紋之相當移變矣。

茲設  $v = \sqrt{V_e} \cdot 0.01^h$ ，此與高出地面 1,000 杆處而相對運動低減約地球速度之  $1/10$  倍者相當。如高度  $h$  為 10 粹，低減之度僅  $2 \times 10^{-5}$ ，顧如長度係 100 粹，相當之移變，亦達條紋闊度之半。不過按之實驗，所謂移變者，未之見也。

徒據諸多純粹假設之實驗如上所述者，初不必過加重視而篤信其結果，然費佐與羅垢(Lodge) 兩氏實驗之論斷，頗值伸述。伊等將干涉儀造成之光路，位於速轉之鋼盤，嗣再觀測條紋，竟亦未覩移變，

<sup>●</sup> 密勒(Dayton C. Miller)最近之實驗，似已得有結果，彼謂銀河系統之速度，約理論值三十分之一，即每秒 300 杆。此一結果，與相對論適相反對，大規模之實驗，正待舉行，俾資考核。

是與前說，幸能不謀而合；但此結果，猶可謂未足爲據；蓋運動之盤，質量太微，奚足與龐然大物之地球，相提並論哉？

地球挾帶以太而行之假設，上述實驗，俱不能認爲充分之證明。然則累次實驗，均無結果，又將何以爲之說哉？

## 第十四章

### 相對論

邁克爾遜莫列之實驗，未獲結果，羅倫慈與費慈格銳得（Fitzgerald）兩氏力窮其究而勉爲之說。兩氏之倡議，謂干涉儀之支持器，一經行動，輒有收縮，收縮之量與理論程差，適相抵消，故加觀測，不覩移變。是種假設，似太牽強，且須承認此類收縮，與物質彈性，毫無關連❶，何其詭哉！

羅倫慈收縮之假說，引生一組重要方程式，名『羅倫慈變易式』（Lorentz transformation）；根據物理現象與觀測者運動無關之一方程式，此變易式，可以推得。

今擇電磁擾動傳播之現象而論之。循  $x$  向進行之波，其方程式❷

爲

$$\frac{\partial^2 U}{\partial x^2} = \frac{1}{c^2} - \frac{\partial^2 U}{\partial t^2},$$

$c$  係光行之速。取用新坐標  $x_1, t_1$ ，上式仍屬不變， $x_1, t_1$  係就他種坐標之對舊坐標有均速移動者而言。於是

$$\frac{\partial^2 U}{\partial x^2} - \frac{1}{c^2} \frac{\partial^2 U}{\partial t^2} = \frac{\partial^2 U}{\partial x_1^2} - \frac{1}{c^2} \frac{\partial^2 U}{\partial t_1^2}$$

❶ 此種結果，業經莫列與密勒之考核。彼將石支持器，易以木質，所得結果，與前無殊。

❷ 見勞氏(Laue)之相對論(Das Relativitätsprincip)。

$x_1$ ,  $t_1$  與  $x$ ,  $t$  間存有最簡單之關係如

$$x_1 = k(x - vt)$$

$$t_1 = at - \beta x$$

式中之  $k$ ,  $\beta$ ,  $a$  俱係待定之常數。代入前式，求得

$$k = \frac{1}{\sqrt{1 - \frac{v^2}{c^2}}} = a, \quad \beta = \frac{va}{c^2}.$$

據此，又獲羅倫慈方程式

$$x_1 = \frac{x - vt}{\sqrt{1 - \frac{v^2}{c^2}}}.$$

$$t_1 = \frac{t - \frac{vx}{c^2}}{\sqrt{1 - \frac{v^2}{c^2}}}.$$

上之結果，固可根據羅氏之駐定以太內物質運行必生收縮之主張，推繹而得，實乃愛因斯坦(Einstein) 約束相對論直接之結果耳。愛氏論中假說有二：(1)僅有相對之運動，可以計量(與主張有靜止之媒質，得為各種運動之標的者，完全牴牾)；(2)觀測者縱有均動，光之速度，始終不變。

置狀棒平行於其移動之向，羅倫慈收縮可以棒端坐標之距離表明之。

$$\Delta x = x' - x'' = \frac{x_1' - x_1''}{\sqrt{1 - v^2/c^2}}$$

或

$$\Delta x = k \Delta x_1$$

或

$$\Delta x_1 = \frac{1}{k} \Delta x ;$$

故行動狀棒較靜止者，短縮之比例爲  $\sqrt{1 - v^2/c^2}$  : 1。依據同理，可知行動之球，狀成橢圓之體，而時間之關係，亦必爲

$$\Delta t_1 = \Delta t \sqrt{1 - v^2/c^2} \text{ 。}$$

將此結果，應用於邁克爾遜莫列實驗，乃見光循  $v$  向進行者，回返之需時爲

$$t_1 = \frac{2Dc}{c^2 - v^2} \cdot \sqrt{1 - v^2/c^2}$$

$$= \frac{2D}{\sqrt{c^2 - v^2}} ,$$

而循垂直方向者爲

$$t_2 = \frac{2D}{c} \sqrt{1 + v^2/c^2} ,$$

捨棄第四級微量

$$t_2 = \frac{2D}{\sqrt{c^2 - v^2}} = t_1 ,$$

故據此說，兩種時間，毫無差異，換言之，即干涉條紋，應無移變。

一級影響之終付缺如，得自速度相加之公式而推得之。如  $v_1$  係

在 $(x_1 t_1)$ 系統內之速度， $v$ 爲在 $(x t)$ 中者，遂有

$$x_1 = v_1 t_1, \quad x = \frac{x_1 + v t_1}{\sqrt{1 - v^2/c^2}} = \frac{(v + v_1) t_1}{\sqrt{1 - v^2/c^2}},$$

或

$$x = \frac{v + v_1}{1 + vv_1/c^2} \cdot t$$

故

$$\bar{v} = \frac{v + v_1}{1 + vv_1/c^2}.$$

但是結果，頗有是非莫辨之艱，因實際環境，堪資適用者，殊難實現耳。設如 $v$ 等於光速 $c$ ，則 $\bar{v}$ 亦等於 $c$ ，此一結果，不啻聲言宇宙之間，一切速度無出光右者；是種結論，就所有含根號( $\sqrt{1 - v^2/c^2}$ )之式而言，確屬真實，因苟不如是，則該式毫無意義①。

設在麥佐實驗內，增加之速度係 $v_1$ ，結果之

$$\bar{v} = \frac{c/\mu + v_1}{1 + \frac{v_1}{\mu c}},$$

如將二級微量捨去，

$$\bar{v} = \frac{c}{\mu} + \frac{\mu^2 - 1}{\mu^2} v_1,$$

此即佛銳列之公式。

考察相對運動之企圖中，所有無結果之結果，根據上說，俱獲一

① 根據以太爲一切電磁動作之場所及鑒夫所有物質之電構觀，磁力之場，必隨一切運動而產生，而磁場強度亦必與速度成正比，惟磁場之力，乃與前之運動相反，當速度之值，達於光者，阻力之巨，亦堪驚人。

致之解釋。不僅如是，相對論者又謂物體行動，質量有增，以式表之，為狀如下：

$$m = \frac{m_0}{\sqrt{1 - v^2/c^2}}$$

( $m_0$ 相當於物體靜止時之質量)，高速電子之實驗，竟已證實此說。

廣義相對論，尤具更可驚人之結果。此不獨於均速方面，有所論究，即加速運動，亦加研討，質引力之加速度與他種之加速度，無分判可能，乃此說特依之根據。是說之結果有三，前兩者業經證實，第三者尚無定論。(1)每歷一世紀，水星之近日點，有弧度43秒之剩餘行動；此種異象，向無解釋，僅有相對論，克燭其隱而詳為之說，(2)星光行經引力碩大之體(如太陽者)，路程必生彎曲。相對論所預料之量為 $1''\cdot7$ ，但據牛頓之微粒說，值僅及半。1921年日蝕攝影量度之結果，與愛因斯坦所預計者，值極相近，且知此值與日心距離，成反比例，是又與相對論作進一步之吻合。(3)日光譜線之移變，亦係相對論之預言，而是預言，似已證實。

然則相對理論非僅令已知現象，得充分之解說，且有預推及發明新現象之可能，此足為一種學說之價值，最有力之保證。是以非常相對高速，雖難期實現，致使理論之結果，有是非難辨之困難，然正因其價值之偉，斯說仍得普遍之接收。

以太之存在，與相對論說，顯形矛盾；因苟有駐定之以太，則絕對運動之量度，必屬可能。但如乏媒質，光波之傳播，又將何所依附？根據電磁論，電磁擾動傳達之速度，為媒質特性之比磁率與比電

容乘積方根之倒數，故值不變。光之傳播速度永久不易，固亦係相對論基本之假設（至少亦爲限制相對論之假說），惟如否認媒質之存在，則速度不變之故安在，勢將無辭以答。

消除此類困難，數種企圖，曾經嘗試，已死之微粒說，亦曾復生，並稱粒之進播，係循力線以行者；凡此種種，不獨所解釋者；未若其所引起之困難之衆，且傳播速度固定不變之理，亦未闡明。

深希相對論與媒質存立說，兩勿仇視，而終有調解之望。調解之責，或負諸相對論之本身，而酌改其內容；或增加以太應具之性質，以完成調解之使命。假設以太本性（譬如比電容）因引力場之存在，允有遷變，其一例也。

### 附 錄

地球對以太之運動，一級影響之獲得，爲不可能；此係駐定以太說之結論（見前），亦屬相對論之斷言。下述實驗，如可舉辦，亦將見徒勞無益而終獲『無結果』三字之結論耳

設  $A$  與  $B$  爲費佐之兩齒輪，轉速相等，光束穿  $A$  之齒隙者，亦必經  $B$ ，如全儀循  $AB$  向，隨地球而運動（根據駐定以太說），光束依反向回轉時，在某種轉速下，必爲齒阻，自他方窺之，光立掩蔽。用茲實驗，相對運動，良堪量度。惟據相對論說，是種量度，實不可能，此不啻聲稱兩輪之轉速，絕難等值耳。轉輪之權，如操諸電磁之手，是說之確，應毋庸議，蓋電磁與光波所受之影響，初無幾希之殊，

如兩輪之連結，係以實物，譬用輪軸而具相當之硬度者，則轉速

之密合，容可實現。雖然猶有障礙存焉。輪軸由分子構成，分子間之『互有力』，既定物質之彈性，乃決傳播之速度；而此所謂『力』，或指電言，於是影響所加，復類前況矣①。

觀測木衛之蝕，光循一向進行之速度，亦可量得。地木方向最近日局運行之方向時，求得結果，與逆向者相較，愛因斯坦學說推論之是非，克觀究竟。按愛氏學說，方向雖異，值應無別；而據駐定以太說，兩值必殊，所差者約十分之二秒，此殆光穿地球軌道，在兩種不同方向時，應取之時間之差也。

當光路圈圍之面積爲一平方杆時，干涉條紋之移變，根據駐定以太說與依循廣義相對論，雖獲同一結果，謂移變之值，約一紋之間，然此種實驗，可爲以太挾帶說之考核。

干涉儀造成之光路，圈佔面積，值如上述，稍行減小，亦無不可。實驗之內容，即係觀測條紋之位置，及與較小副光路產生之條紋，作位置之比較。若兩光路造成光源（一小徑口或狹縫）之影像，確相疊合，而希冀之影響又爲零，則兩組干涉條紋，勢必吻合毋間。苟所期之移變，即前兩學說所預計者，位置之差，自 .5 至 1.0 的條紋之間，則加以觀測，定可獲確切之結果。

用三角形之光路，長 1500 呎者，作初步嘗試，干涉條紋，已克目覩，渴望之移變亦可觀測，此於相對論之證明，微有襄助（顧於駐

① 最初試驗，係用音之振動。巨大音叉之振動，可經伸張之鋼琴弦（長約一哩），傳播而出，同音高之第二音叉，受其影響，亦生振動，惟其振幅，僅及前叉者之半。以此方法，作此類問題之討探，雖有興趣，但上述之障礙，仍未消除。

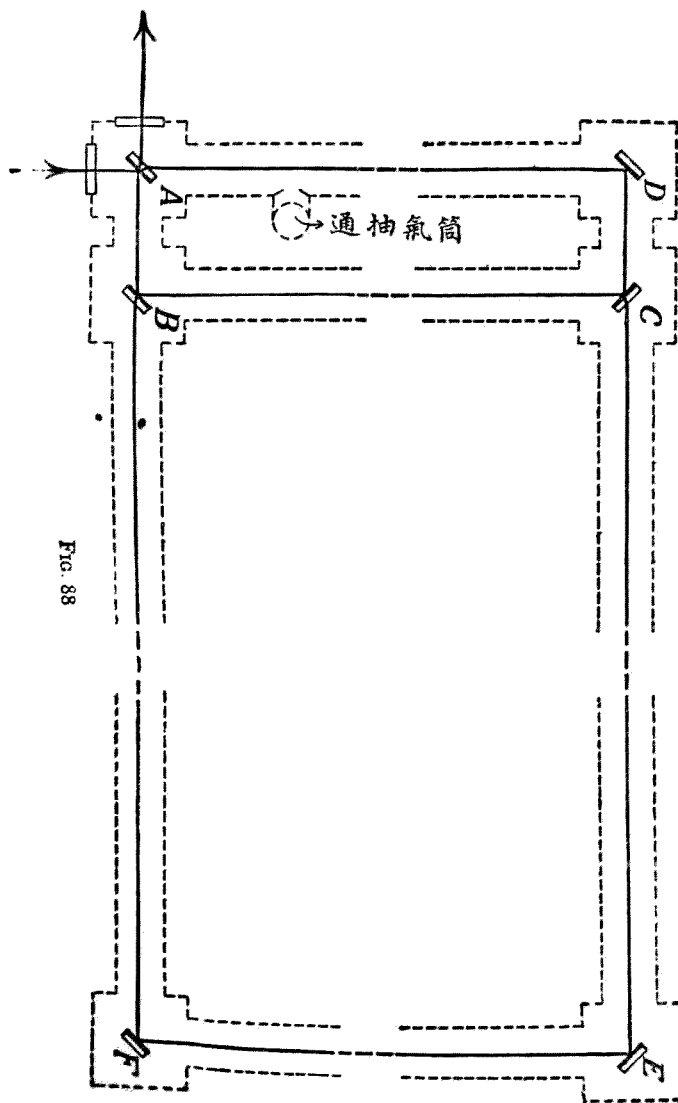


FIG. 88

圖 88。

定以太說，亦未嘗歧視耳）。但苟移變之值，儼然爲零，或即非若是之甚，而值實小於計算之量，則任何假設，除聲言空間以太，依附地球而旋轉者外，與此結果，總難兩立。

威爾遜最初舉行之試驗，干涉光束之路程中，大氣侵擾至巨，精確量計，難告成功。嗣途裝置長約一哩之導管，抽成部分真空，使光通過，圖88所示者，佈置之略況也。惟此實驗，已非於舊地舉行，而係在芝加哥（Chicago）西南十哩克利耳林（Clearing）處籌備，光路表以點線 *ADEFA*，副路 *ADCB*，產生之干涉條紋，專作比較之用，副路所佔面積，小於 *ADEFA*，示如圖 88。

根據駐定以太說與廣義相對論，條紋移變之計算值❶，同爲

$$\Delta = \frac{4A \omega \sin \phi}{\lambda V} ,$$

式內  $\Delta$  為所希冀之移變而以條紋闊度表之者；  $A$  為光路所圈佔之面積；  $\phi$  為緯度；  $\omega$  為地球旋轉之角速度；  $\lambda$  為光之有效波長；  $V$  為光速。

該地之緯度係  $41^{\circ} 40'$ ，管園之面積約  $2000 \times 1100$  方呎，有效波長爲  $0^{\mu}.57$ ，理想移變，應爲 0.236 個條紋。觀測所得者爲 0.230，则在量度精確之極限內，兩值相較，堪稱密合。

有此結果，相對論之證明，又增一個，然對駐定以太說，彼亦一視同仁，而儼爲其有力明證之一也。

❶ 見 L. Sibsterstein 論文，載在 *Journal of the Optical Society* 5, 291, 1921.

## 第十五章

### 蟲鳥之金屬色彩

前數章所載研究之結果，可視為光學上之貢獻，殆無疑義。茲篇之金屬色彩，尚在研討中，本篇所述，不過關於高反射率的薄面學說之各種明證耳。

蜂雀之麗羽，鳩鵠之美翼，孔雀之彩屏，與夫蝶翅之澤，蟲甲之輝①，賞之者固衆，而對此天然豔色，謀所以然之解釋者，為數亦夥。此現象之主要特性，蓋有六端：（1）反射之光，強度極高，在某種色之垂直射入情況下，為狀尤甚。（2）入射角不同，呈色亦異，傾向所之，恆趨於紫（但亦非常常如此）。此兩效應，肉眼克覩，苟佐以器，下四特性，立可察覺。（3）反光光譜上光能之分佈，與認為出自干涉現象者，大相逕庭。如疊層之空間，較半光波之長為大，則由干涉所生之光譜，必呈溝形，或現細明之帶。惟反光光譜之實況，乃係廣闊之帶，蓋覆於可見光譜之半璧（或過之），是與上兩譜狀，無一相當矣。（4）最強光之波長，與入射角變化之定律，大異於由干涉現象所得之結果。（5）反射光波，恆係橢圓的極化，是與金屬及吸收力最大之物體（如阿尼林染料）之特性，竟無二致。（6）有效單層之厚度，不逮光波之長，業有直接之明證。

---

① 植物界呈金屬之光澤者殊罕。

兩種學說，曾經倡議，用釋上述之特性。第一學說之創議者爲銳鼎爵士。彼稱全部效應，統可認爲重複反射之結果；幾近等距之層，而光學性質，間屬相類，如氯酸鉀之結晶體者，重複反射之所自生也。第二學說之見解，謂現象之發生，單層薄面，具有高度之吸收力，如阿凡林染料所顯示者，應負其責。且此高度吸收而厚度極薄之片層，與真正金屬性質，亦多密合。

甲蟲鞘翅之品，反光之率，適如錫箔，而呈之色，無異黃銅。

根據干涉假說，解釋高度反射率，反射之層，爲數必巨；但觀夫彩圖 A，磨去鞘翅一部後，所得之標本，並無多層之明證。

同樣效應，示如 B, C 兩圖，輝綠甲蟲鞘翅之一部，業經移去。觀茲圖樣，非綠色部，雖具層迹，然謂此層層相積，頓生綠色，則毫無根據，蓋層迹雖具，而顏色濃淡之層變，未獲見也。

此三情況，色膜分界，斷如刀割，邊緣闊度，尚在顯微鏡分解極限之下。

設此值爲一微米(micron)之半，薄膜厚度之上限，可以計求。如 a 係鞘翅上橢圓孔之間，R 為曲度之短徑，則薄層之厚度必爲

$$t = h \frac{a}{2R}$$

$h$  乃分解之極限。按之現況， $h=0^{\mu}.5$ ， $a=0.7$  粑， $R=8$  粑，故  $t=0^{\mu}.022$ ；或即薄膜之厚，未逮二十分之一光波之長。

銀斑蠹魚之反射率，約百分之 30 至 50 之譜。蠹魚甲面，成於等距之縱突起(約千分之一耗)，兩突起間之中部，具有極細之橫紋。反

射之發生，在每一突起上單獨舉行，是則利用序列層片，作高度反射率之解釋，似已完全無效矣。

按照序列等距層片之說，求出入射角與色變之定律，與根據觀測所得之最大波長值而算得者，其間差異，示如圖84。

點曲線係代表強度最大之波長  $\lambda$ ，值由下式求得，

$$\lambda = \lambda_0 \sqrt{1 - \frac{\sin^2 i}{\mu^2}}$$

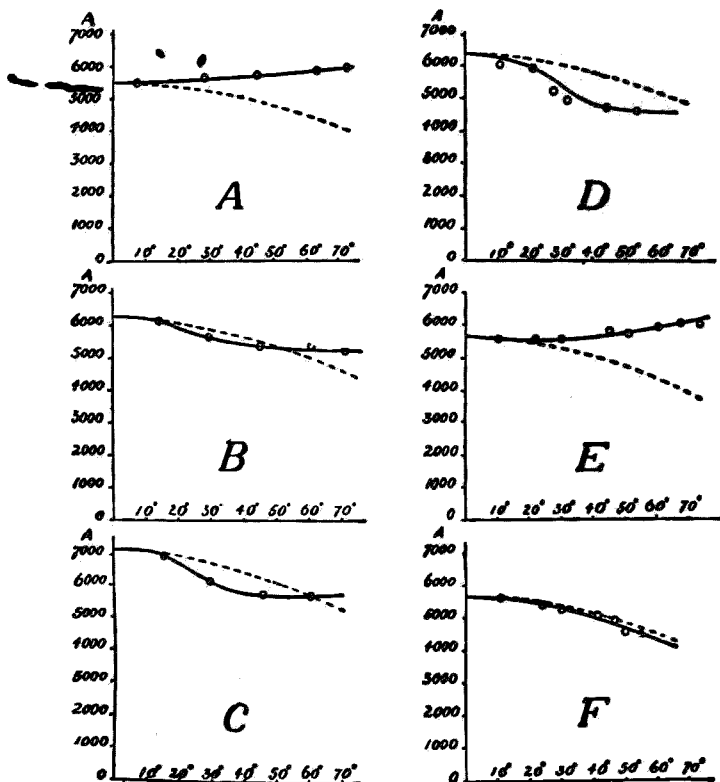


圖 89.

式內  $i$  為入射角， $\mu$  係折射指數（設為 1.5）。實曲線表示觀測之結果。

除去  $F$ ，可見計算值與觀測值，迥然不同。前述之黃銅色甲蟲，如圖 89 A 所示者，最為顯著。入射角小者，色之變遷，趨於光譜之紅端。

圖 89 B 為布銳司林（Brazilian）蜂雀喉部亮橘色羽毛之紀載。

圖 89 C 係甲蟲銅色鱗之代表曲線。

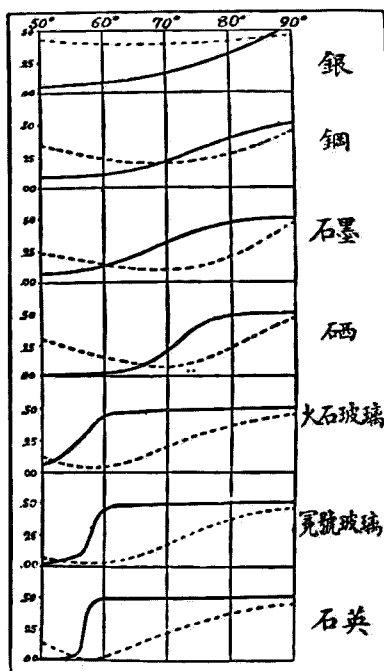


圖 90.

圖 89 D，表明鑽石甲蟲色彩變遷之狀況。圖 89 E，虛實線背馳

最甚，乃屬綠羽之蝶蛺。

圖 89 F，殊於同儕，蓋理論與觀測值，完全相應，圖之所指，爲貓眼石之光。

入射面內極化之成分，與其垂直成分間，應生位相差  $\Delta$ ，乃金屬反射最重要特性之一。 $\Delta$  係入射角之函數，摹繪如圖 90①。

近極化角之曲線部分，異常陡峻，是透明物質獨有之特性；具高度吸收性之物質如金屬者，其曲線之峻險度，大爲減低。

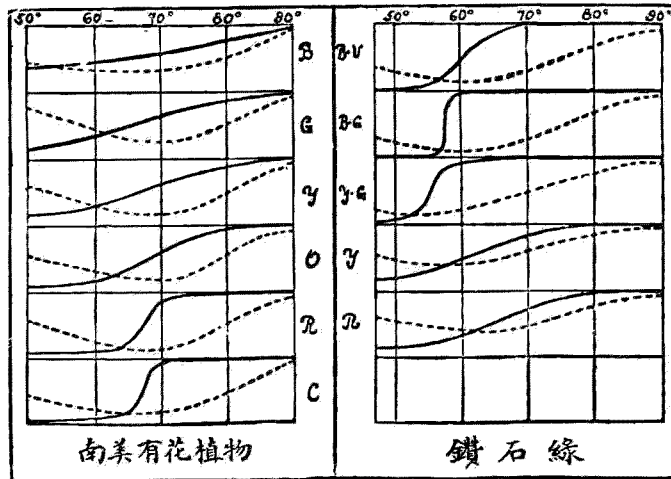


圖 91.

是種結論，甚符理論之根據，蓋按理論，必有

$$\frac{d\Delta}{di} = \frac{\sin I (2 + \tan^2 I)}{K}$$

① 指實線而言。虛線代表反射後兩成分之比。

之結果，式內  $I$  為相當  $\Delta = \frac{\pi}{2}$  時入射之角， $K$  為吸收係數。曲線上此點之峻險度可量物質之透明度；或反言之，吸收當與  $\frac{d\Delta}{di}$  成反比。物質之如阿尼林染料者，對於數種色素，吸收最強，而於他色，幾屬完全透明。因此，吾人深希有一組曲線，表示  $\frac{d\Delta}{di}$  之相當變遷。此種預想，已由南美之有花植物(fuchsine)與鑽石綠之圖(圖91)證實之。前者常呈金屬之反射，惟遇紅光，則明若玻璃，以言鑽石綠，除藍綠光外，咸現濃暗之象。

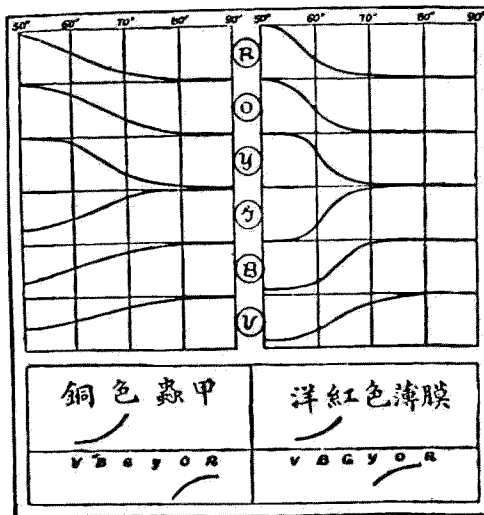


圖 92.

倘反射之膜極薄(約  $\frac{1}{10}$  波長之譜)，曲線之特性，恆系乎反曲點，圖 92 右部表洋紅色者，已明示之。

左部曲線，係觀測銅色蟲甲而得，左右兩圖之類似，異常密合，故兩者金屬色產生之主因，謂係具有大  $K$  值之薄層，了無疑義。惟遇

極易透越之黃綠色光，則情形迥異矣。

總考羽毛蝶翅蟲甲之金屬色澤，其曲線特性，莫不如斯。